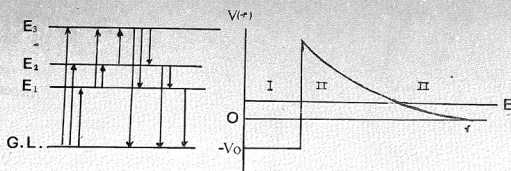


ميكانيكا الكم

الجزء الأول



تأليف

دكتور محمد الرحمن فكرى
أستاذ الفيزياء النووية والطاقة العالية
كلية الهندسة

دكتور محمد عبد الحاميد العبدى
أستاذ الفيزياء النظرية
كلية التربية

بجامعة عين شمس

الطبعة الأولى

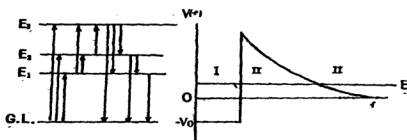
١٩٨٩

حقوق الطبع محفوظة لدى المؤلفين

دار الحكيم للطباعة

ميكانيكا الكم

الجزء الأول



تأليف

أستاذ الفيزياء النظرية والفيزياء العالية
كلية الهندسة

أستاذ الفيزياء النظرية
كلية التربية

جامعة عين شمس

الطبعة الأولى

١٩٨٩

حقوق الطبع محفوظة لدى المؤلفين

دار الحكيم للطباعة

بسم الله الرحمن الرحيم
وهو تكميل

مقدمة

الحمد لله رب العالمين والصلاة والسلام على سيد المرسلين • ونشكره سبحانه وتعالى أن وقفنا لتقديم هذا الكتاب " ميكانيكا الكم - الجزء الأول " وهو الثاني من سلسلة الكتب التي نعاله تعالى أن يساعدنا في انضمامها لتزويد القارئ العربي بكتب عربية علمية على المستوى الجامعي •

ومرة أخرى راعينا أن نقدم هذا الكتاب باللغة العربية مع الإبقاء على المعالجات الرياضية والقوانين الفيزيائية بحروف اللغة الإنجليزية وذلك لمبنيين :
أولهما : أن تساعد القارئ على الاستفادة من المراجع الأجنبية المتاحة •
ثانيهما : أن المؤلفات العلمية الأجنبية على اختلاف اللغة المستخدمة في كتابتها تترجم المعالجات الرياضية بحروف اللغة الإنجليزية •
ونأمل بأن الله تعالى أن يجزي القارئ العربي الفائدة المرجوة من وراء كتابه هذا المؤلف بهذه الصورة •

ويبدأ الكتاب بعرض الأساس الفيزيائي لنظرية ميكانيكا الكم بداية من مفهوم الكم الإشعاعي الذي أدخله العالم بلانك ووفق به لشرح الطيف الكهرومغناطيسي للأشعاع الصادر من الجسم تام المواد وكيف أن دي بولي استخدم وجهة النظر الخاصة بالتماثل بين الطاقة والمادة (كنتيجة من نتائج النظرية التنبؤية الخاصة لأينشتاين) للتعرف على الخصائص الموجية للجسيمات المادية • والصلة بين الحزمة الموجية لتلك البروجات وبين الجسيم المادي نفسه • وتطور ذلك إلى مبدأ اللاتحديد لهايزنبرج •

وفي الباب الثاني يتم توضيح " بطريقة مبسطة يقدر الامكان " كيفية الوصول إلى المعادلة الأساسية لنظرية ميكانيكا الكم وهي معادلة شرودنجر والإشارة إلى ما تتميز

• به تلك المعادلة وامتيز به الدالة الرجعية التي تتطلبها تلك المعادلة

في الباب الثالث نعرض بعض الخصائص العامة للعلامات الخطية في ميكانيكا الكم وتلك العلامات ترجع اهميتها الى انها ما يقابل الكميات الفيزيائية المعروفة كتفسيرات ديناميكية •

ثم في الباب الرابع نوضح بعض التطبيقات المصطة لاستخدامات معادلات شرودنجر في معالجة بعض الظواهر الفيزيائية مثل حركة جسم حر وحركة حزمة تجاه سلة جهدية والتأثير النفقي •

اما الباب الخامس فنفرده لمعالجة موضوع التذبذب التوافقي البسيط بينما الباب السادس يختص بمعالجة موضوع الذرات شبيهة ذرة الايدروجين •

وفي الباب السابع نوضح المعالجات التقريبية المعروفة بنسب نظرية الاقلاق ولكن في أبسط صورها •

والكتاب يشتمل على عدد واحد وخمسين مثال محلول وزعت في آخر كل باب وراعينا في تنوعها تعميق المفهوم الفيزيائي الذي نود تبيينه في مكانه •

والكتاب ينتهي بثلاث تذييلات (Appendices)

التذييل الأول يعطى قيم بعض الثوابت الفيزيائية التي ورد استخدام معظمها في هذا الكتاب •

والتذييل الثاني لمحة عن مجموعة من العلماء البارزين الذين اسهموا في تشكيل اطار نظرية ميكانيكا الكم •

اما التذييل الثالث فيعطي قائمة ببعض الكتب التي استعان بها المؤلفان لتقديم هذا الكتاب "ميكانيكا الكم - الجزء الأول" •

والله سبحانه وتعالى هو وحده ولي التوفيق •

المؤلفان

٢٦ شعبان ١٤٠٩ هجرية
٣ ابريل ١٩٨٩ ميلادية
محمد عبد الهادي العدوي و عبد الرحمن تكمري
جامعة عين شمس بالقاهرة

(ب)

فهرس

رقم الصفحة

أ

قدمة

١ الباب الاول : شأ ميكانيكا الكم

١ ماهي ميكانيكا الكم

١ الاساس الفيزيائي لميكانيكا الكم

٣ بعض خصائص موجات دي برولي

٥ تكون الحزمة الموجية لموجات دي برولي

٨ العلاقة بين سرعة الجسم وسرعة الحزمة الموجية

١١ مبدأ اللاتحديد لهايزنبرج

١٤ مثال (١-١) الى مثال (١٢-١)

٣٠ الباب الثاني المعادلة الموجية لدالة الحالة

٣٠ معادلة شرودنجر

٣٩ متجه كثافة تيار الاحتمال

٤٢ مثال (١-٢) الى (٢-٢)

٥١ الباب الثالث المعاملات الخطية في ميكانيكا الكم

٥٢ مثال (١-٣) الى (٣-٣)

٥٤ اقواس براون في ميكانيكا الكم

٥٥ مثال (٣-٣)

٥٦ المعاملات الخطية المتبادلة لكمية الحركة الخطية

٥٨ مثال (٣-٥) الى (٣-٦)

رقم الصفحة

٦١	مركبات كمية الحركة الزاوية في الاحداثيات الكرية
٦٤	مثال (٧-٣) الى (١٣-٣)
	الباب الرابع استخدام معادلة شرودنجر في معالجة بعض الظواهر
٧١	التمييزية :
٧١	المرتبطة بحركة جسيمات داخل حيز به حواجز جهدية
٧١	حركة جسيم حر
٧٣	حركة جسيم داخل صندوق مغلق
٨٠	درجة عدم الانتماء
	حركة جسيم (أو حزبة من الجسيمات) تجاه حاجز
٨٣	جهدى (سلسة جهدية)
٨٥	الحالة الاولى
٨٨	الحالة الثانية
	حركة جسيم (أو حزبة من الجسيمات) تجاه هضبة
٩١	جهدية (تأثير النفق)
٩٧	مثال (١-٤) الى (١٢-٤)
١٢١	الباب الخامس المعالجة الكمية للتذبذب التوافقي البسيط
١٢٧	القيم الأيجينية لطاقة التذبذب التوافقي
١٢١	الدوال الذاتية لتذبذب توافقي بسيط
١٣١	مثال (١-٥) الى (٢-٥)
١٣٦	الباب السادس المعالجة الكمية لجسيم يتحرك في مجال قوة مركزية
١٣٦	مجوعات شبيهة بذرة الايدروجين

رقم الصفحة

١٤٨	معادلة ليجندر المرتبطة
١٤٩	دوال ليجندر المرتبطة
١٥٥	مثال (١-٦)
١٥٩	المعالجات الرياضية التقريبية في ميكانيكا الكم
١٥٩	نظرية الاقلاق أو الاضطراب
١٦٢	تعيين التصحيح ذي الرتبة الاولى في اطار نظرية الاقلاق التي لا تعتمد على الزمن
١٦٤	مثال (١-٧)
١٦٧	تعيين التصحيح ذي الرتبة الثانية في اطار نظرية الاقلاق التي لا تعتمد على الزمن
١٧٠	نظرية الاقلاق ذي الرتبة الاولى في حالة وجود اضطلال (انتما متعدد)
١٧٤	مثال (٢-٢) الى (٢-٧)
١٨١	تذييلات
١٨١	تذييل ١ : قيم بعض الثوابت الفيزيائية
١٨٣	تذييل ٢ : لمحة عن بعض العلماء الذين شاركوا في بناء نظرية ميكانيكا الكم
١٩٠	تذييل ٣ : قائمة ببعض المراجع

الباب الأول

منشأ ميكانيكا الكم

الباب الاول

منشأ ميكانيكا الكم

ماهى ميكانيكا الكم ؟

ميكانيكا الكم هى المعالجة الرياضية لحركة جزيئات المادة (Matter Molecules) ومكوناتها من ذرات (Atoms) وأنوية (Nuclei) وجسيمات أولية (Elementary Particles) مختلفة .

الاساس الفيزيائى لمكانىكا الكم :

فى الفترة من ١٦٠٠ م الى ١٩٢٣ م توصل العلماء الى مجموعة من الحقائق الفيزيائية المتعلقة بالاشعاع الكهرومغناطيسى (Electromagnetic Radiation) تتلخص فى ظواهر التوزيع الطيفى لاشعاع الجسم التام السواد (Black-Body Radiation Phenomena) وظاهرة الانبعاث الكهروضوئى (Photoelectric Effect) وطيف ذرة الهيدروجين (Hydrogen-Atom Spectrum) وظاهرة استقطار كومبتون (Compton Effect) التى لم يتم تفسيرها جميعاً الا فى اطار الخصية الجسيمية للاشعاع الكهرومغناطيسى التى قدمها العالم ماكس بلانك (Max Planck) عام ١٩٠٠ م لتفسير منحنيات طيف الاشعاع للجسم تام السواد .

صتركر هذا الاطار فى الفرضين التالين لبلانك :

- ١ - ينبعث أو يمتص الاشعاع الكهرومغناطيسى فى صورة كمات (Quanta) ، الطاقة E لكل كم (Quantum) منها تساوى حاصل ضرب ثابت بلانك h فى التردد ν للاشعاع . أى أن :

$$E = h \nu \quad (1.1)$$

$$h = 6.625 \times 10^{-34} \text{ Joule.sec.} \quad \text{حيث :}$$

٢ - يفسر التوزيع الطيفي للاشعاع الصادر من جسم تام السواد درجة حرارته المطلقة T بواسطة العلاقة الرياضية التالية :

$$U(\nu) d\nu = \frac{8 \pi \nu^2}{c^3} \frac{h\nu}{(e^{h\nu/kT} - 1)} d\nu \quad (1.2)$$

حيث : $U(\nu)$ هي الكثافة الحجمية للطاقة لوحدة بدى التردد *

* $U(\nu) d\nu$ هي الكثافة الحجمية للطاقة في المدى من الترددات بين ν و $\nu + d\nu$ معاويا عنها بالجول لكل متر مكعب

* k هي ثابت بولتزمان (Boltzmann's constant) ويساوى $(1.38 \times 10^{-23} \text{ Joule/}^\circ\text{K})$

* c سرعة الضوء

وبذلك اتضح لأول مرة ان الاشعاع الكهرومغناطيسى والذي كان يعتقد دائما انه ينتشر على صورة حركة موجيه ولايخفى عنها لقهم الكثير من الظواهر الاشعاعية مثل التداخل والحيود والاستقطاب . اتضح ان له في نفس الوقت خاصية جسيمية *

اي ان الاشعاع الكهرومغناطيسى يتصف بخاصية مزدوجة (Duality Property) تتمثل في خاصية موجيه (Wave Property) واخرى جسيمية (Particle (or Corpuscular) Property) ولا يمكن لنا الاحتفاء عن أى منهما .

وقد اوضح العالم الفرنسى لوى دى برولى (Louis de Broglie) نتيجة للتماثل الكونى ونتيجة التماثل بين الطاقة E وكتلة m من اى مادة تبعها لقانون اينشتاين :

$$E = mc^2 \quad (1.3)$$

ان جسيم مادة ما كتلته m ويتحرك بسرعة v ننوَق أن يتصرف أيضا بخاصية ثنائية

جسيمية وموجية وتمثل ذلك في علاقة دي برولى التالية والتي قدمها عام ١٩٢٤ :

$$\lambda = \frac{h}{p} \quad (1.4)$$

حيث λ الطول الموجي (وهي خاصية موجية) لموجه دي برولى المصاحبة لحركة هذا الجسيم
 p هي كمية الحركة الخطية (وهي خاصية جسيمية) وواضح أنها تعطى تبعاً لمرعة الجسيم بالعلاقات التالية :

$$p = mv \quad (1.5)$$

إذا كانت سرعة الجسيم v اقل بكثير من سرعة الضوء c ،
 بينما تعطى بالعلاقة :

$$p = \frac{m_0 v}{\sqrt{1 - \frac{v^2}{c^2}}} \quad (1.6)$$

إذا كانت سرعة الجسيم لا يمكن إهمالها بالنسبة لمرعة الضوء حيث m_0 هي الكتلة الساكنة (rest mass) أي كتلة الجسيم وهو ساكن .

وقد ثبت صحة العلاقة (1.4) من نتائج تجارب حيود الالكترونات التي حصل عليها العلماء ديفيغسون وجيرمر (Davisson and Germer Experiment, 1927) والعالم طومسون (G.P. Thomson, 1928)

بعض خصائص موجات دي برولى :

تميز تلك الموجات بما يأتي :

(١) تنتشر بسرعة طور (Phase Velocity) أي سرعة انتشار مصدر الموجه (ولتبرمز لها بالرمز w) قيمتها دائماً أكثر من سرعة الضوء في الفراغ c وتضخم ذلك كما يلي :

نفرض ان السرعة الخطية لجسيم هي v وكمية حركته الخطية p وطاقته الكلية E حيث

$$E = mc^2$$

$$p = mv$$

فمن التماثل بين الاشعاع والمادة يمكن التعبير عن الطاقة الكلية بعلاقة تشبه تماما العلاقة الخاصة بطاقة الفوتون مع الاخذ في الاعتبار ان سرعة الطور لموجات دي برولى هي w بدلا من السرعة c في حالة موجات الاشعاع الكهرومغناطيسى . وعلى ذلك يكون :

$$E = h\nu = h \frac{w}{\lambda}$$

$$p = \frac{h}{\lambda} \quad \text{بينما}$$

$$\therefore mc^2 = \frac{h}{\lambda} w \quad (a)$$

$$mv = \frac{h}{\lambda} \quad (b)$$

وقسمه هاتين المعادلتين يتضح ان

$$w = \frac{c^2}{v} = \frac{c}{\beta} \cdot c \quad (1.7)$$

وما ان c/v دائما اكبر من الواحد الصحيح (تبعا للنظرية النسبية الخاصة لأينشتاين) فان سرعة الطور w تكون دائما اكبر من سرعة الضوء c .

(٢) تعتمد سرعة الطور w على الطول الموجى λ لموجات دي برولى المصاحبة لاي جسيم متحرك تبعا للعلاقة الاتية :

$$w = c \sqrt{1 + \frac{m_0^2 c^2}{h^2}} \cdot \lambda^2 \quad (1.8)$$

ومعنى ذلك ان تلك الموجات يحدث لها تشتت (Dispersion) حتى في الفراغ (Vacuum or Free Space) . ويمكن اثبات العلاقة (1.8) كما يلي :

نعلم من النظرية النسبية الخاصة ان الطاقة الكلية E لاي جسيم ترتبط بكمية حركته الخطية p وكتلته الساكنة m_0 بالعلاقة الاتية :

$$E^2 = p^2 c^2 + (m_0 c^2)^2 \quad (1.9)$$

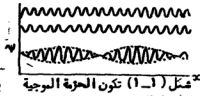
والتعويض عن E و p بما يقابلها

$$E = h\nu = \frac{hw}{\lambda}, \quad p = \frac{h}{\lambda} \quad \text{نصل على :}$$

$$\left(\frac{hw}{\lambda}\right)^2 = \left(\frac{h}{\lambda}\right)^2 c^2 + (m_0 c^2)^2$$

$$\therefore w^2 = c^2 + (m_0 c^2)^2 \frac{\lambda^2}{h^2}$$

$$\therefore w = c \sqrt{1 + \frac{m_0^2 c^2}{h^2} \lambda^2}$$



وهي العلاقة (1.8) المطلوب اثباتها .

٢) تكون الحزمة الموجية (Wave-Packet Formation) لموجات

دي برولي صاحبة لجسيم متحرك :

نعلم انه من المستحيل قياس كمية فيزيائية ما بدقة مطلقة (أي بدون خطأ ما) وعلى ذلك عند قياس كمية حركة p لجسيم ما تكون نتيجة القياس هي في الحقيقة القيمة $p_0 \pm \frac{\Delta p}{2}$ حيث Δp يمثل الخطأ في تحديد قيمة p ومن علاقة دي برولي (1.4) يتضح ان موجات دي برولي صاحبة لحركة هذا الجسيم تكون ذات اطوال موجيه بداها $\lambda \pm \frac{\Delta \lambda}{2}$ اي أن هناك طيفاً من تلك الموجات تصاحب حركة هذا الجسيم ومعنى ذلك ان تلك الموجات سوف تتداخل مع بعضها تبعاً لهذا تراكب الاضافي (Superposition Principle) الصاحب للحركات الموجيه . وهذه الموجات تكون ما يسمى بالحزمة الموجيه (Wave Packet) وهي تمثل نوعاً من الحركات الموجيه والتي فيها تكون سعة الموجه كبيره جداً في حيز صغير من انتشار

الموجة بينما تكاد تكون السعة مهملة في باقي الحيز الذي تنتشر فيه (انظر شكل ١ - ١) .

فاذا رمزنا بالرمز ψ_j لاي من تلك الازاحات لموجات دي برولى الهامجة للجسيم المتحرك فانه تبعاً لهادى الحركة الموجية يمكن التعبير عن ψ_j بالعلاقة التالية :

$$\psi_j = A \exp [-i (\omega t - kx)] \quad (1.10)$$

وكالمعتاد فان

A تساوى سعة الذبذبة (Amplitude)

i تساوى $\sqrt{-1}$

ω التردد الزاوى \equiv مرتبط بطاقة الجسيم الهامجة له تلك الموجات كما يلى :

$$\omega = 2\pi \nu = 2\pi \frac{E}{h} = \frac{E}{h} \quad (1.11)$$

k هو متجه الموجة يسمى ايضا متجه العدد الموجى (Wave Number or

Wave Vector) . وهذا المتجه مرتبط بكمية الحركة الخطية للجسيم كما يلى :

$$k = \frac{2\pi}{\lambda} = \frac{2\pi}{\frac{h}{p}} = \frac{p}{h} \quad (1.12)$$

كما انه يمكن التعبير عنه كدالة للتردد الزاوى ω كما يلى :

$$k = k(\omega) = k_0 + \Delta k = k_0 + \left(\frac{\partial k}{\partial \omega} \right)_{\omega = \omega_0} \quad (1.13)$$

حيث ω_0 هى القيمة المتوسطة للتردد الزاوى . وهو كتجه يمكن كتابته على الصورة الاتية :

$$\vec{k} = \frac{\omega}{v} \vec{w} \quad (1.14)$$

x هو واحداتى الوضع

ونتيجة تداخل جميع الازاحات ψ_j للموجات الصاحبة في مدى التردد الزاوى الصغير $\pm \frac{\Delta\omega}{2}$ حول القيمة المتوسطة ω_0 فان الازاحة المحصلة ψ عند لحظة معينة وموضع معين من حيث الانتشار تعطى كما يلى :

$$\psi = \sum_j \psi_j = \int A e^{-i(\omega t - kx)} d\omega \quad (1.15)$$

$$\therefore \psi = \int_{\omega_0 - \frac{\Delta\omega}{2}}^{\omega_0 + \frac{\Delta\omega}{2}} A e^{-i[(\omega_0 + \Delta\omega)t - (k_0 + (\frac{\partial k}{\partial \omega})_{\omega=\omega_0})x]} d\omega \quad (1.16)$$

واذا افترضنا ان المعدل A واحدة لجميع الموجات المتداخلة في هذا المدى الصغير $\Delta\omega$ فان

$$\psi = A e^{-i(\omega_0 t - k_0 x)} \int_{\omega_0 - \frac{\Delta\omega}{2}}^{\omega_0 + \frac{\Delta\omega}{2}} e^{-i[(t - (\frac{\partial k}{\partial \omega})_{\omega=\omega_0} x)\xi]} d\omega \quad (1.17)$$

واذا رمزنا للكمية $(\omega - \omega_0)$ بالرمز ξ فان

$$\xi = (\omega - \omega_0) = \Delta\omega \quad (1.18)$$

$$d\xi = d\omega \quad (1.19)$$

والتمويض من (1.18) * (1.19) في (1.17) نحصل على :

$$\psi = A e^{-i(\omega_0 t - k_0 x)} \int_{-\frac{\Delta\omega}{2}}^{+\frac{\Delta\omega}{2}} e^{-i[(t - (\frac{\partial k}{\partial \omega})_{\omega=\omega_0} x)\xi]} d\xi \quad (1.20)$$

$$\therefore \psi = A e^{-i(\omega_0 t - k_0 x)} \left[\frac{e^{-i[(t - (\frac{\partial k}{\partial \omega})_{\omega=\omega_0} x)\xi]}}{-i[(t - (\frac{\partial k}{\partial \omega})_{\omega=\omega_0} x)]} \right]_{-\frac{\Delta\omega}{2}}^{+\frac{\Delta\omega}{2}} \quad (1.21)$$

$$= e^{-i(\omega_0 t - k_0 x)} \left[\frac{A e^{-i[t + (\frac{\partial k}{\partial \omega})_{\omega=\omega_0} x] \frac{\Delta\omega}{2}} - e^{-i[t - (\frac{\partial k}{\partial \omega})_{\omega=\omega_0} x] \frac{\Delta\omega}{2}}}{-i[(t - (\frac{\partial k}{\partial \omega})_{\omega=\omega_0} x)]} \right] \quad (1.22)$$

- ٨ -

حيث أن :

$$e^{-i\theta} = \cos \theta - i \sin \theta$$

$$e^{+i\theta} = \cos \theta + i \sin \theta$$

$$\therefore e^{-i\theta} - e^{+i\theta} = -2 i \sin \theta \quad (1.23)$$

وعلى ذلك تختصر معادلة (1.22) الى الصورة التالية :

$$\psi = \left[\frac{2 A \sin \left\{ \left(t - \left(\frac{\partial k}{\partial \omega} \right)_{\omega=\omega_0} x \right) \frac{\Delta \omega}{2} \right\}}{t - \left(\frac{\partial k}{\partial \omega} \right)_{\omega=\omega_0} x} \right] e^{-i(\omega_0 t - k_0 x)} \quad (1.24)$$

هذه المعادلة (1.24) تمثل حركة موجيه لها طور (Phase) يتميز بتعدد زاوى متوسط ω_0 وعدد موجى متوسط k_0 بينما تتميز بسعة اهتزاز متغيره ويكون موضع قمتها متحركا بسرعة نحصل عليها بوضع :

$$t - \left(\frac{\partial k}{\partial \omega} \right)_{\omega=\omega_0} x = 0 \quad (1.25)$$

فإذا رمزنا لتلك السرعة بالرمز u والذي يمثل بسرعة الحزمة الموجيه
(Group Velocity) فاننا من المعادلة (1.25) نحصل على :

$$u = \frac{x}{t} = \left(\frac{\partial \omega}{\partial k} \right)_{\omega=\omega_0} \quad (1.26)$$

العلاقة بين سرعة الجسم v وسرعة الحزمة الموجيه u لموجات دى برولى

الصاحبة لحركته :

علينا ان سرعة الطور w تعطى بالعلاقة :

$$w = c \sqrt{1 + a^2 \cdot \lambda^2} \quad (1.8')$$

$$a^2 = \frac{m_0^2 c^2}{h^2}$$

حيث

وإن التردد الزاوي ω يرتبط بسرعة الطور w وشبه الموجة k على الصورة الآتية :

$$\omega = kw \quad (1.11)$$

وبالاستفادة من (1.26) فإن سرعة الحزمة الموجية u يمكن الحصول عليها كما يلي :

$$u = \frac{\partial \omega}{\partial k} = k \frac{dw}{dk} + w$$

$$\therefore u = k \frac{dw}{d\lambda} \cdot \frac{d\lambda}{dk} + w \quad (1.27)$$

$$\therefore u = k \left[\frac{C a^2 \lambda}{1 + a^2 \lambda^2} \right] \cdot \left[-\frac{2\pi}{k^2} \right] + w$$

$$\therefore u = -C \left(\frac{a^2 \lambda^2}{1 + a^2 \lambda^2} \right) + w \quad (1.28)$$

والتعويض من (1.8) في (1.28) نحصل على

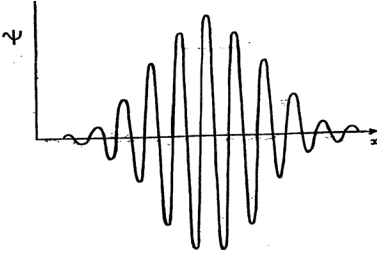
$$u = -C \left[\frac{\left(\frac{w}{C} \right)^2 - 1}{\frac{w}{C}} \right] + w$$

$$\therefore u = \frac{C^2}{w} \quad (1.29)$$

$$v = \frac{C^2}{w} \quad \text{لكن من (1.7) لدينا}$$

$$u = v \quad \text{من ذلك يتضح ان :} \quad (1.30)$$

وهذه النتيجة الهامة توضح ان الجسم والحزمة الموجية المرتبطة به تتجسّس تدخل موجات دي برولي المصاحبة له أثناء حركته يُكوّنان متلازمين يتحركان بنفس السرعة .



شكل (١ - ١)

وهذا يمكن فهمه على أساس أن الجسم يكون محاطاً بتلك الحزمة الموجية أثناء حركته . واعتبار أن احتمال تواجد الجسم عند نقطة ما داخل حزمته الموجية يتناسب مع مربع السعة عند تلك النقطة داخل الحزمة فهذا معنا عدم إمكانية تحديد موضع الجسم إلا في حدود اتساع تلك الحزمة Δx الموضح بالشكل اعلاه . لذلك فإن Δx تمثل الخطأ في تحديد موضع هذا الجسم .

وإذا ما أردنا تصغير هذا الخطأ فإنه يستلزم زيادة المدى الطيفي $\Delta \lambda$ وهذا بدوره يؤدي إلى خطأ أكبر Δp_x في تحديد كمية حركته الخطية المقابلة وهذا في حقيقته يعبر عن مبدأ هام من مبادئ ميكانيكا الكم وهو مبدأ اللا تحديد لهايزنبرج وسوف نتناوله فيما يلي :

مبدأ اللاتحديد لهايزنبرج (The Heisenberg Uncertainty Principle)

هذا المبدأ تقدم به العالم الألماني وارنر هايزنبرج عام ١٩٢٦ ونص على ما يأتي :

" من المستحيل أن يتم في نفس اللحظة قياس متغيرين ديناميكين مترافقين (Two Conjugate Dynamical Variables) إلا في حدود خطأ في كل منهما بحيث يكون حاصل ضرب هاذين الخطأين مساوياً إن لم يكن أكبر من ثابت بلانك h (أو ثابت ديراك \hbar حيث $\hbar = h/2\pi$)

وكأثلة لتلك المتغيرات الديناميكية المترافقة ما يلي :

١ - إحداثي الوضع للجسيم في اتجاه ما ومركبه كمية الحركة الخطية في نفس هذا الاتجاه مثل

$$(x, p_x) , (y, p_y) , (z, p_z)$$

ب - الطاقة الكلية E لجسيم ما والزمن t اللازم لتحديد تلك الطاقة .

ج - الازاحة الزاوية θ لحركة جسيم في مدار ما ومركبه كمية الحركة الزاوية L فسي الاتجاه العمودي على مستوى هذا المدار (L) .

والتعمير الرياضي لمبدأ اللاتحديد في قياس تلك المتغيرات المترافقة يكون على

التوالي كما يلي :

$$\Delta x \cdot \Delta p_x \geq \hbar \quad (1.31)$$

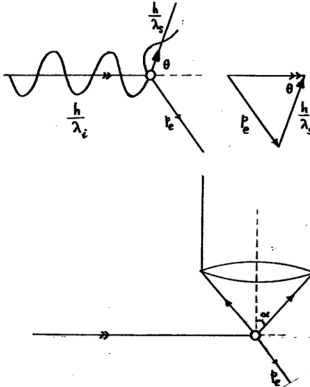
$$\Delta y \cdot \Delta p_y \geq \hbar \quad (1.32)$$

$$\Delta z \cdot \Delta p_z \geq \hbar \quad (1.33)$$

$$\Delta t \cdot \Delta E \geq \hbar \quad (1.34)$$

$$\Delta \theta \cdot \Delta L \geq \hbar \quad (1.35)$$

وسنحاول فيما يلي استنتاج احدى هذه العلاقات ولتكن العلاقة (1.31) :



شكل (١-٤) رسم توضيحي لاساسيات استقطار اشعاع كهرومغناطيس بواسطة الكترون
"ماكن" تبعاً لنظرية كوتون وبيان ذلك بالنسبة للعدسة الدقيقة "فسى
ميكروسكوب" بوهر - هايزنبرج .

لنتصور استخدام مجهر هايزنبرج لتحديد موضع الكترون منفصل عن موضع
الالكترون آخر مجاور له . (انظر شكل ١ - ٤) . ومعروف من معادى "حيود الاشعاع
(Radiation Diffraction Principles) ان قدرة تحليل المجهر
(Microscope Resolving Power) أى أقل مسافة Δx بين جسيمين متجاورين
بحيث يمكن رؤيتهما خلاله كجسيمين منفصلين عن بعضهما تعطى بالعلاقة التالية :

$$\Delta x = \frac{\lambda}{2\mu \cdot \sin \alpha} \quad (1.36)$$

حيث

Δx هي قدرة تحليل المجهر .

الطول الموجي للاشعاع المرتد عن الجسم والداخل الى المجهر .

μ هو معامل انكسار الوسط المحيط بالجسيمين المراد رقبتهما كجسيمين

منفصلين . وقيته تساوى الوحدة للفراغ .

α نصف زاوية مخروط الاشعاع المتجه الى شئيه المجهر والمرتد عن الجسم .

فاذا ما أردنا تصغير المسافة Δx بقدر الامكان اى إذا ما أردنا جعل قدرة

التحليل أفضل فان ذلك يتطلب اساسا استخدام اشعاع يكون طوله الموجى λ

اصغر ما يمكن وهذا معناه بالتالى زيادة احتمال حدوث استطارة كومبتون

(Compton Scattering) لهذا الاشعاع بواسطة الالكترون المراد تحديد مكانه .

ومصاحب هذه الاستطارة ارتداد هذا الالكترون بكمية حركة خطية يكون لها قيم قسوى

اتجاه محور x فى المدى بين $(p_e)_x$ و $(p'_e)_x$ حيث :

$$(p_e)_x = \frac{h}{\lambda_1} - \frac{h}{\lambda_2} \cos \theta$$

$$\theta = \left(\frac{\pi}{2} - \alpha \right)$$

$$\therefore (p_e)_x = \frac{h}{\lambda_1} - \frac{h}{\lambda_2} \sin \alpha \quad (1.37)$$

مثال

$$(p'_e)_x = \frac{h}{\lambda_1} + \frac{h}{\lambda_2} \sin \alpha \quad (1.38)$$

وطرح المعادلتين الاخيرتين نحصل على مدى الخطأ (p_x) فى تحديد كمية

الحركة الخطية فى الاتجاه x كما يلى :

$$\Delta p_x = (p'_x) - (p_x)$$

$$\therefore \Delta p_x = \frac{2h}{\lambda_g} \sin \alpha \quad (1.39)$$

وبلى ذلك من المعادلة (1.36) يكون حاصل ضرب الخطئين $\Delta x \cdot \Delta p_x$ قيمته كالتالى :

$$\Delta x \cdot \Delta p_x = \frac{\lambda_g}{2 \sin \alpha} \cdot \frac{2h}{\lambda_g} \sin \alpha = h$$

وهذه النتيجة احدى الصور التى ينص عليها مبدأ اللاتحديد لهايزنبرج .

مثال (١ - ١) :

وضح كيف يمكن استنتاج قانون بلانك باستخدام النتيجة الكلاسيكية التى ينص عليها قانون بولتزمان الاحصائى التالى (١٨٧٧)

$$n_1 = n_0 \exp \left[- (e_1 - e_0)/kT \right]$$

حيث

n_1 هو عدد الجسيمات فى حيز ما الذى تتصف بطاقة e_1
 n_0 هو عدد الجسيمات فى نفس الحيز الذى تتصف بطاقة e_0
 وإذا اعتبرنا e_0 تساوى صفراً فإن العلاقة تصبح على الصورة :

$$n_1 = n_0 \exp \left[- e_1/kT \right]$$

الحل :

لنتصور حيزاً يمثل التجويف الداخلى لفرن متزن حرارياً عند درجة الحرارة المطلقة T ونطبقاً لفكرة العالم بلانك نتصور ان الطاقة الاشعاعية داخل هذا التجويف يحطها جسيمات ذات حركة تذبذبية وهى ما اسماها بلانك "كّات الاشعاع"
 (Radiation Quanta) وكل كم اشعاع يحمل طاقة $u_m = hu$

تساوى حاصل ضرب عدد صحيح m فى كمية صغيرة من الطاقة " u " تساوى hf حيث f هو تردد الحركة التذبذبية (المرتبطة) لهذا الكم h هو ثابت بلانك أى ان $u_m = m hf$ حيث m هو عدد صحيح يساوى صفر ، ١ ، ٢ ، ٣ ، إلى ما لا نهاية .

ولحساب متوسط الطاقة \bar{w} التى يحملها أى شئ لنا نعم مجموع حاصل ضرب عدد الجسيمات المهتزة عند مستوى طاقة معين من قيمة تلك الطاقة على المجموع الكلى لاعدادها أى ان :

$$\begin{aligned} \bar{w} &= \frac{\sum_{m=0}^{\infty} n_m \cdot u_m}{\sum_{m=0}^{\infty} n_m} \quad (\text{مجموع الطاقات التى تحملها الكمات الاعماة}) \quad (\text{مجموع عدد تلك الكمات}) \\ &= \frac{\sum_{m=0}^{\infty} (n_0 e^{-\frac{u_m}{kT}}) u_m}{\sum_{m=0}^{\infty} (n_0 e^{-\frac{u_m}{kT}})} \\ &= \frac{\sum_{m=0}^{\infty} (n_0 e^{-\frac{mhf}{kT}}) mhf}{\sum_{m=0}^{\infty} n_0 e^{-\frac{mhf}{kT}}} \\ &= \frac{\left[0 + (hf) \cdot e^{-\frac{hf}{kT}} + (2 hf) \cdot e^{-\frac{2hf}{kT}} + (3 hf) e^{-\frac{3hf}{kT}} + \dots \right]}{\left[1 + e^{-\frac{hf}{kT}} + e^{-\frac{2hf}{kT}} + e^{-\frac{3hf}{kT}} + \dots \right]} \\ &= \frac{hf \cdot \left(e^{-\frac{hf}{kT}} \right) \cdot \left[1 + 2 e^{-\frac{hf}{kT}} + 3 e^{-\frac{2hf}{kT}} + \dots \right]}{\left[1 + e^{-\frac{hf}{kT}} + e^{-\frac{2hf}{kT}} + \dots \right]} \\ &= hf \cdot e^{-\frac{hf}{kT}} \cdot \frac{\left[1 - e^{-\frac{hf}{kT}} \right]^{-2}}{\left[1 - e^{-\frac{hf}{kT}} \right]^{-1}} \end{aligned}$$

$$\therefore \bar{w} = \frac{hf}{e^{\frac{hf}{kT}} - 1} \quad (1.40)$$

وهذه العلاقة (1.40) هي ماتسى بقانون بلانك لقية الطاقة المتوسطة التي تحلها الكثات الاشعاعية *

وللحصول على قانون بلانك الذى يعطى مقدار الطاقة الاشعاعية $w_\lambda = \epsilon_\lambda d\lambda$ التى فى وحدة الحجم من الحيز فى مدى الطول الموجى $(\lambda + d\lambda, \lambda)$ يجب علينا ان نضرب \bar{w} فى عدد أنماط الحركة التذبذبية المتاحة فى وحدة الحجم من هذا الحيز وهذا العدد تبعاً للاشتقاق الرياضى الذى اجراه العالم الانجليزى رالى عبارة عن :

$$dn_\lambda = 8\pi \frac{d\lambda}{\lambda^4} \quad (1.41)$$

وهذه العلاقة (1.41) هي ماتسى بقانون بلانك للتوزيع الاحصائى للاشعاع من الجسم تام السواد Black-body-radiation Planck's distribution law

مثال (١ - ٢) :

(أ) وضع أن قانون بلانك يؤول الى قانون فين (Wien's Law) فى حالة الأطوال الموجية الصغيرة (أى عند الترددات العالية) *

الحل :

قانون بلانك للتوزيع الاحصائى للطاقة الاشعاعية يكتب على الصورة التالية مع وضع $\frac{c}{\lambda} = f$:

$$\epsilon_\lambda d\lambda = \frac{8\pi^5 ch \cdot \lambda^{-5}}{e^{\frac{ch}{\lambda kT}} - 1} d\lambda \quad (1.42)$$

وفي حالة الاطوال الموجية الصغيرة فان هذا يعنى :

$$\frac{ch}{\lambda kT} \gg 1, \quad e^{\frac{ch}{\lambda kT}} \gg 1$$

$$\begin{aligned} \therefore \epsilon_{\lambda} d\lambda &= \frac{8 \pi ch \cdot \lambda^{-5}}{\frac{ch}{\lambda kT}} d\lambda \\ &= \frac{A_1 \cdot \lambda^{-5}}{\frac{A_2}{e} \cdot \lambda T} d\lambda \end{aligned} \quad (1.43)$$

حيث الثابت $8 \pi ch = A_1$ والثابت الآخر $(ch/k) = A_2$
 والمعادلة (1.43) هي ما يعرف بقانون فين الكلاسيكى .

(ب) وضع أن قانون بلانك يحول الى قانون رالى وجينز الكلاسيكى
 Rayleigh-Jeans Law في حالة الاطوال الموجية الطويلة

الحل :

بما ان

$$e^{\frac{ch}{\lambda kT}} = 1 + \left(\frac{ch}{\lambda kT}\right) + \frac{1}{2!} \left(\frac{ch}{\lambda kT}\right)^2 + \dots$$

إذاً عندما تكون λ قيمها كبيرة فان الكمية $(ch / \lambda kT)$ تصبح اصغر بكثير
 من 1 وعليه فان المقام فى معادلة (1.42) يحول الى

$$\therefore \epsilon_{\lambda} d\lambda = \frac{8 \pi kT}{\lambda^4} d\lambda \quad (1.44)$$

والمعادلة (1.44) هي ما يعرف بقانون رالى وجينز الكلاسيكى .

مثال (٢-١) :

استنتج قانون ستيفان Stefan's Law من قانون بلانك .

الحل :

$$f = \frac{c}{\lambda} \quad \therefore df = -\frac{cd\lambda}{\lambda^2} \quad \text{بما ان :}$$

$$\therefore \epsilon_{\lambda} d\lambda = -\epsilon_f df = \frac{8\pi h}{c^3} \cdot \frac{f^3}{(e^{hf/kT} - 1)} \cdot df$$

ويمكننا بذلك إيجاد الطاقة الكلية الاشعاعية في وحدة الحجم من الحيز $w(T)$ كما يلي :

$$w(T) = \frac{8\pi h}{c^3} \int_0^{\infty} \frac{f^3}{e^{hf/kT} - 1} df$$

وبوضع $hf/kT = x$ سايأ

$$\therefore f = \frac{kh}{h} \cdot x \quad f^3 = \frac{k^3 h^3}{h^3} \cdot x^3$$

$$\therefore df = \frac{kh}{h} \cdot dx$$

$$\therefore w(T) = \frac{8\pi k^4}{c^3 h^3} \cdot \frac{\pi^4}{h^3} \int_0^{\infty} \frac{x^3}{e^x - 1} dx$$

ويمكن إجراء التكامل كما يلي :

$$\begin{aligned} & \int_0^{\infty} x^3 \cdot (e^x - 1)^{-1} dx \\ &= \int_0^{\infty} x^3 \cdot \frac{e^{-x} dx}{1 - e^{-x}} = \int_0^{\infty} x^3 \sum_{n=1}^{\infty} e^{-nx} dx \end{aligned}$$

حيث التكامل لاي من حدود المتصلة (وليكن ترتيبه) n هو :

$$\begin{aligned} \int_0^{\infty} x^3 e^{-nx} dx &= \int_0^{\infty} x^3 \cdot d(e^{-nx}) = -\frac{1}{n} \int_0^{\infty} x^3 d(e^{-nx}) \\ &= \left\{ -\frac{1}{n^4} \left[\frac{n^3 x^3 + 3 n^2 x^2 + 6 n x + 6}{e^{nx}} \right] \right\}_0^{\infty} \\ &= \left\{ -\frac{1}{n^4} \left[0 + 0 + 0 + 0 - (0 + 0 + 0 + \frac{6}{1}) \right] \right\} \\ &= \frac{6}{n^4} \end{aligned}$$

وعلى ذلك فإن :

$$\int_0^{\infty} x^3 (e^x - 1)^{-1} dx = \sum_{n=1}^{\infty} \frac{6}{n^4} = \frac{\pi^4}{15} \quad (1.45)$$

$$\therefore W(T) = \frac{8 \pi k^4}{15 \sigma^3 \cdot h^3} \cdot \frac{\pi^4}{15}$$

$$= \left(\frac{8 \pi^5 k^4}{15 \sigma^3 h^3} \right) \cdot T^4$$

$$= \sigma \cdot T^4 \quad (1.46)$$

حيث (1.46) هو قانون بولتزمان وستيفان بينما الثابت σ المعروف بثابت ستيفان فيس

$$= \frac{8 \pi^5 k^4}{15 \sigma^3 h^3} = 5.67 \times 10^{-8} \text{ watt.m}^{-2} \cdot \text{deg}^{-4}$$

مثال (1) :

إذا فرض تجويف مشع تام المواد على هيئة مكعب طول ضلعه ٢ سم ودرجة حرارة

التجويف ١٥٠٠ كلفن :

- أ - احسب عدد الانبعاث التذبذبية الموجودة في وحدة الحجم داخل التجويف
لدى الطول الموجي بين ٥١٥ ، ٥٠٠٥ أنجستروم (Å)
ب - ما هو متوسط الطاقة الاشعاعية الكلية داخل التجويف في هذا المدى ؟

الحل :

- أ - عدد الانبعاث التذبذبية في وحدة الحجم داخل التجويف الاشعاعي هو :

$$dn = \frac{8 \pi d\lambda}{\lambda^4}$$

$$\lambda = \frac{4595 + 5005}{2} = 5000 \text{ Å} \quad \text{حيث}$$

$$d\lambda = 5005 - 4595 = 10 \text{ Å}$$

$$\therefore dn = \frac{8 \times 3.14 \times (10 \times 10^{-10})}{(5 \times 10^{-7})^4} = 4.02 \times 10^{17} \text{ m}^{-3}$$

- ب - لايجاد متوسط الطاقة الاشعاعية الكلية داخل التجويف في هذا المدى $\bar{\epsilon}_\lambda$
نوجد حاصل ضرب \bar{w} (متوسط الطاقة الاشعاعية في وحدة الحجم)
في عدد الانبعاث الذي يوجد في الحجم الكلي للتجويف . وعلى ذلك :

$$\bar{w} = \frac{h \frac{c}{\lambda}}{\exp\left(-\frac{hc}{\lambda kT} - 1\right)}$$

$$= \frac{(6.625 \times 10^{-34}) \cdot (3 \times 10^8 / 5 \times 10^{-7})}{\exp\left[\left((6.625 \times 10^{-34} \times 3 \times 10^8) / (5 \times 10^{-7})(1.38 \times 10^{-23})(1500)\right) - 1\right]}$$

$$\therefore \bar{\epsilon}_\lambda = \bar{w} \times dn \times \text{cavity volume} = 5.9 \times 10^{-15} \text{ Joules.}$$

مثال (٥-١) :

- أ - اثبت ان طول موجة دي برولي λ المصاحبة لجسيم كتلته m يتحركه
بسرعة تساوي الجذر التربيعي لمتوسط مربع السرعات للتوزيع الاحصائي لجزيئات

غاز ما تبعاً لماكسويل هو : $(\lambda = h / \sqrt{3 m k T})$

حيث T درجة الحرارة المطلقة للغاز ، k ثابت بولتزمان .

ب- ماقية λ اذا كان الجسيم نيوترونا ، درجة الحرارة للتوزيع الاحصائى
لماكسويل هي 20° سيلزيوس .

ج- احسب زاوية الحيود لمثل هذه النيوترونات التى تحدث لها بواسطة المستويات
الاساسية (Principal Planes) فى بلورة أكسيد المغنسيوم - وهى
بلورة مكعبة - البعد d بين مستوياتها $2,101$ أنجستروم .

الحل :

أ - من نتائج نظرية الحركة للغازات معلوم أن الجذر التربيعى لتوسط مربع
سرعات الجزيئات $v_{r.m.s}$ عبارة عن

$$v_{r.m.s.} = \sqrt{3 RT/M}$$

حيث R هو الثابت العالمى للغاز ، M الوزن الجزيئى الجرامى للغاز
وهو يعاوى حاصل ضرب عدد أفوجادرو N_A فى وزن جزيء واحد m من
جزيئات الغاز

$$\therefore v_{r.m.s.} = \sqrt{3 RT/m N_A} = \sqrt{3 kT/m}$$

إذا بالتعويض فى معادلة دى برولى على فرض أن الجسيم المعطى يتحرك
بسرعة ماقية للسرعة v_{rms} فان :

$$\lambda = \frac{h}{m \cdot v_{rms}} = \frac{h}{\sqrt{3 m \cdot k T}}$$

ب- اذا كان الجسيم نيوترونا أى ان الكتلة m تماوى 1838 مرة مثل كتلة
الالكترون الماكئة اذا :

$$\lambda = \frac{h}{\sqrt{3 m k T}} = \frac{6.63 \times 10^{-34} \text{ J.sec.}}{\sqrt{3 (1838 \times 9.1 \times 10^{-31} \text{ kg}) \cdot (1.38 \times 10^{-23} \text{ J/}^\circ\text{K}) (293^\circ\text{K})}}$$

$$= \frac{6.63 \times 10^{-34}}{4.51 \times 10^{-24}} = 1.47 \times 10^{-10} \text{ m} = 1.47 \text{ \AA}$$

جـ - تبعاً لقانون براج (Bragg's Law) للحيود في البلورات فإن :

$$2 d \cdot \sin \theta_n = n \lambda$$

حيث d هي المسافة الفاصلة بين مستويات الذرات التي حدث عندها الحيود ، θ_n هي زاوية الحيود للرتبة n ولنفرض ان $n = 1$ إذا

$$2 \cdot (2.101 \times 10^{-10}) \cdot \sin \theta_1 = 1 \times 1.47 \times 10^{-10}$$

$$\therefore \sin \theta_1 = \frac{1.47 \times 10^{-10}}{4.202 \times 10^{-10}} = 0.3498$$

$$\therefore \theta_1 = 20.4^\circ$$

مثال (١ - ٦) :

جسيم ألفا ينطلق من نواة ذرة الراديوم 226 بطاقة حركية ٧.٨ مـيـوـنـيـون

الكـهـرونـولـت :

أ - احسب طول موجة دي برولي المصاحبة لهذا الجسيم .

ب - قارن بين هذا الطول وقطر النواة المطلق منها .

الحـل :

أ - طول موجة دي برولي المصاحبة لجسيم ألفا :

$$\begin{aligned}\lambda &= \frac{h}{p_{\text{rel}}} = \frac{h}{\sqrt{2 m_e E_e}} \\ &= \frac{6.63 \times 10^{-34}}{\sqrt{2 \cdot (4 \times 1837 \times 9.1 \times 10^{-31}) \cdot (5.78 \times 10^6 \times 1.6 \times 10^{-19})}} \\ &= \frac{6.63 \times 10^{-34}}{1.11 \times 10^{-19}} = 5.97 \times 10^{-15} \text{ m}\end{aligned}$$

ب - قطر النواة المنطلق منها جسيم ألفا نحسبه من المعادلة التالية :

$$D = \text{Diameter of redium-226} = 2 \cdot (r_0 \cdot A^{1/3})$$

$$\therefore D = 2 \cdot (1.25 \times 10^{-15} \times (226)^{1/3})$$

$$= 2 \times 1.25 \times 6.08 \times 10^{-15} = 15.2 \times 10^{-15} \text{ m}$$

$$\therefore \lambda/D = \frac{5.97 \times 10^{-15}}{15.2 \times 10^{-15}} = 0.393$$

مثال (١ - ٧) :

استنتج جداً الانحدار لها يبرز باستخدام ظاهرة تأثير دوبلر
Doppler Effect • المرتبطة بتردد الاشعاع الكهرومغناطيسى الذى يصدر من
ذرة غير مستقرة •

الحل :

الاشعاع الصادر من الذرة نتيجة انتقالها من حالة مضطربة الى حالة أقل اضطرابا

وانما تحركها بسرعة v يكون تردده الظاهرى :

$$f = f_0 \left(1 + \frac{v}{c}\right)$$

حيث f_0 التردد عندما تكون v مساوية للصفر ، c سرعة الضوء •

وبما ان عملية قياس التردد تستغرق فترة زمنية ΔT فمعنى ذلك ان هناك خطأ في تحديد التردد f مقداره :

$$\Delta f = \frac{1}{\Delta T} = f - f_0 = \frac{f_0 v}{c}$$

وخلال تلك الفترة تتحرك الذرة مسافة Δx مقدارها :

$$\Delta x = v \cdot \Delta T = v \cdot \frac{c}{f_0 v} = \frac{c}{f_0}$$

وحيث ان طاقة الفوتون hf_0 وكمية تحرك الخطي (hf_0/c) بينما ترتد الذرة المسافة Δx بحيث يتحقق قانون بقا كمية التحرك الخطي فان :

$$Mv = \frac{h f_0}{c} = \Delta p_x \quad (M = \text{كتلة الذرة})$$

$$\therefore \Delta x \cdot \Delta p_x = \frac{c}{f_0} \cdot \frac{h f_0}{c} = h$$

مثال (١ - ٨) :

يتحرك الالكترون في ذرة الايدروجين في الحالة المثارة $n = 2$ ويظل كذلك لفترة زمنية 10^{-8} ثانية قبل ان يهبط الى المستوى العادى . احسب مقدار الالاتديد في قيمة الطاقة للحالة $n = 2$. هل هذا المقدار يمثل تصحيح ذى أهمية في نظرية بوهرا التي تتوقع القيمة (-3.39 eV) ؟

الحل :

اذا رمزنا للفترة الزمنية 10^{-8} ثانية على انها مقدار الالاتديد Δt فسي عر الحالة المثارة للذرة المعطاة ، ΔE مقدار الالاتديد المقابل في قيمة الطاقة للحالة $n = 2$.

$$\therefore \Delta E \cdot \Delta t \geq h$$

$$\begin{aligned} \therefore \Delta E &\sim \frac{h}{\Delta t} = \frac{1.056 \times 10^{-34} \text{ J.s}}{10^{-8} \text{ s}} = 1.056 \times 10^{-26} \text{ J} \\ &= \frac{1.056 \times 10^{-26} \text{ J}}{1.6 \times 10^{-19} \text{ J/eV}} = 6.6 \times 10^{-8} \text{ eV} \end{aligned}$$

رواضح ان هذا المقدار ΔE صغير جدا بالنسبة للقيمة المتوقعة تبعاً لنظرية بوهرو هي 3.39 إلكترون فولت .

مثال (١ - ١) :

الكثرون طاقة حركته تساوى : (أ) 15 إلكترون فولت ، (ب) 15 مليون إلكترون فولت .
احسب لكل حالة سرعة الطور لموجات دي برولى المرتبطة بحركة الإلكترون .

الحل :

أ - بما أن طاقة حركة الإلكترون المعطاة فى تلك الحالة هى 15 إلكترون فولت فقط بينما طاقة الكتلة الساكنة للإلكترون هى 0.51 مليون إلكترون فولت إذاً يمكننا تطبيق العلاقات النيوتونية وعليه :

$$\begin{aligned} \therefore \lambda_1 &= \frac{h}{p_1} = \frac{h}{\sqrt{2 m_e E_e}} = \frac{6.625 \times 10^{-34}}{\sqrt{2 \cdot (9.1 \times 10^{-31}) \cdot (15 \times 1.6 \times 10^{-19})}} \\ &= 3.2 \times 10^{-10} \text{ m} = 3.2 \text{ Å} \end{aligned}$$

∴ سرعة الطور w_1 للموجات المصاحبة لحركة الإلكترون فى هذه الحالة هى :

$$v_1 = c \sqrt{1 + \frac{m_0^2 c^2}{h^2} \lambda_1^2} = 3 \times 10^8 \sqrt{1 + \frac{(9.1 \times 10^{-31})^2 (3 \times 10^8)^2 (3.2 \times 10^{10})^2}{(6.625 \times 10^{-34})^2}}$$

$$= 3 \times 10^8 \sqrt{1 + 17300.0} = 3.95 \times 10^{10} \text{ m/s}$$

ب- في هذه الحالة طاقة الحركة المعطاة هي 15 مليون إلكترون فولت أي حوالي ثلاثين مرة قدر طاقة الكتلة الساكنة للإلكترون ($m_0 c^2$) إذاً يجب علينا معاملتها بالإلكترون في هذه الحالة تبعاً لقوانين أينشتاين النسبية وعلى ذلك فإن الطاقة الكلية للإلكترون هي 15.51 مليون إلكترون فولت • وتطبيق علاقة أينشتاين التي تربط بين تلك الطاقة الكلية E وكمية الحركة الخطية p_2 نحصل على :

$$p_2 = \frac{\sqrt{E^2 - (m_0 c^2)^2}}{c}$$

$$= \frac{\sqrt{(15.51 \times 10^6 \times 1.6 \times 10^{-19})^2 - (0.51 \times 10^6 \times 1.6 \times 10^{-19})^2}}{3 \times 10^8}$$

$$= \frac{1.6 \times 10^{-13}}{3 \times 10^8} \sqrt{(15.51)^2 - (0.51)^2} = 8.22 \times 10^{-21} \text{ kg.m.s}^{-1}$$

$$\therefore \lambda_2 = \frac{h}{p_2} = \frac{6.625 \times 10^{-34}}{8.22 \times 10^{-21}} = 8.06 \times 10^{-14} \text{ m}$$

$$\therefore w_2 = 3 \times 10^8 \sqrt{1 + \frac{(9.1 \times 10^{-31})^2 (3 \times 10^8)^2 (8.06 \times 10^{-14})^2}{(6.625 \times 10^{-34})^2}}$$

$$= 3 \times 10^8 \times 1.0005 = 3 \times 10^8 \text{ m.s}^{-1}$$

ومنه يتضح أن عندما يصغر الطول الموجي لموجات دي برولي المصاحبة للجسيمات الأولية نتيجة ازدياد طاقة حركتها فإن سرعة الطور لتلك الموجات تقرب من سرعة الضوء ولا تزيد عنها إلا بسدّار صغير للغاية •

الباب الثانى

المعادلة الموجبة لدالة الحالة

الباب الثانى

المعادلة الموجية لدالة الحالة

المعادلة الموجية لدالة الحالة

معادلة شرودنجر (The Schrödinger Equation)

نعلم انه لاى حركة موجيه توجد معادلة تفاضلية مناسبة تعبر عنها • فنلا فسى
حالة انتشار موجات صوتيه فى اتجاه الاحداثى السينى x فان المعادلة التى تمثل
تلك الحركة وتربط بين الازاحة ξ (فى اتجاه x) واحداثى الزمن t وسرعة
الموجه v هى :

$$\frac{\partial^2 \xi}{\partial t^2} = v^2 \frac{\partial^2 \xi}{\partial x^2} \quad (2.1)$$

بينما فى حالة انتشار الموجات الكهرومغناطيسية المستقطبه فان الحركة الموجيه
للمجالين الكهربى والمغناطيسى المتلازمين فيها توصف بالمعادلتين التاليتين :

$$\frac{\partial^2 E_y}{\partial t^2} = c^2 \frac{\partial^2 E_y}{\partial x^2} \quad (2.2)$$

$$\frac{\partial^2 H_z}{\partial t^2} = c^2 \frac{\partial^2 H_z}{\partial x^2} \quad (2.3)$$

حيث c تمثل سرعة انتشار الاشعاع الكهرومغناطيسى
• E_y شدة المجال الكهربى • H_z شدة المجال المغناطيسى

ولكن مثل هذه المعادلات الموجية وجدت غير مناسبة لتمثيل الحركة الموجيه
لموجات دى برولى المصاحبة لاي جسيم متحرك (انظر مثال ٢ - ٢) •

مثال (١٠ - ١) :

احسب الفترة الزمنية التي يسمح بها هداً اللانحديد ليُميزن بأى المتعادل
(77°) للتواجد على هيئة زوج من بروتون وبروتون مضاد .

الحل :

$$\therefore \Delta E \cdot \Delta t \sim h \quad , \quad \Delta E = (m_p + m_{\bar{p}}) c^2$$

$$\therefore \Delta t = \frac{6.63 \times 10^{-34}}{2 \times 3.14 \times 2 \times 1838 \times 9.1 \times 10^{-31} \times 9 \times 10^{16}} = 3.5 \times 10^{-25} \text{ sec.}$$

مثال (١١ - ١) :

الكرون طاقة حركته 110° الكرون فولت يمر خلال فتحة دائرية نصف قطرها
 $r = 1.2$ ميكرون . احسب مقدار اللانحديد الذى يطرأ على زاوية خروجه من الفتحة .

الحل :

علاقة هداً اللانحديد التى تربط بين اللانحديد فى الزاوية $\Delta \theta$ واللانحديد
فى كمية التحرك الزاوى ΔL هى :

$$\Delta \theta \cdot \Delta L \sim \hbar$$

حيث يمكننا وضع

$$\Delta L = m_e v r$$

$$\therefore \Delta \theta = \frac{\hbar}{m_e v r} = \frac{\lambda}{r}$$

$$\lambda = \frac{6.63 \times 10^{-34}}{2 \cdot (9.1 \times 10^{-31}) \cdot (150 \times 1.6 \times 10^{-19})} = 0.1 \times 10^{-9} \text{ m} \quad \text{ولكن}$$

$$\therefore \Delta \theta = \frac{0.1 \times 10^{-9}}{1.2 \times 10^{-6}} = 0.000083 \text{ radian} = 0.0048 \text{ degree}$$

مثال (١ - ١٢) :

عين باستخدام مبدأ اللاتحديد اعداد الحيز الذي تشغله ذرة الهيدروجين
وقية ادنى مستوى للطاقة •

الحل :

إذا فرضنا ان الالكترون متواجد فى المتوسط على بعد r من البروتون
فان كمية الحركة الخطية له تكون p بحيث

$$p = \frac{h}{r}$$

إذا طاقة الحركة $K.E.$ يمكننا التعبير عنها بالصورة :

$$K.E. = \frac{p^2}{2m} = \frac{h^2}{2mr^2}$$

وحيث ان القوة الكهربية التى بين الالكترون والبروتون تكسب الالكترون طاقة وضع $P.E.$:

$$P.E. = - \frac{1}{4\pi\epsilon_0} \frac{e^2}{r}$$

إذا الطاقة الكلية W_r للالكترون :

$$W_r = - \frac{1}{4\pi\epsilon_0} \frac{e^2}{r} + \frac{h^2}{2mr^2}$$

وعليه فان ادنى مستوى طاقة W_{r_0} لذرة الايدروجين يمكن الحصول عليه بمساواة
تناضل W_r بالنسبة للمساواة r بالصغرى ان :

$$\left(\frac{dW}{dr}\right) = \frac{1}{4\pi\epsilon_0} \frac{e^2}{r^2} - \frac{\hbar^2}{2mr^3} = 0 \quad , \quad r = r_0$$

$$\therefore r_0 = \frac{4\pi\epsilon_0\hbar^2}{me^2}$$

$$= \frac{4 \times 3.14 \times 8.85 \times 10^{-12} \times (1.05 \times 10^{-34})^2}{9.1 \times 10^{-31} \times (1.6 \times 10^{-19})^2} = 6.31 \times 10^{-11} \text{ m}$$

: W_{r_0} وباستخدام هذه القيمة نستطيع الحصول على قيمة أدنى مستوى للطاقة

$$\begin{aligned} W_{r_0} &= -\frac{1}{4\pi\epsilon_0} \cdot \frac{e^2}{r_0} + \frac{\hbar^2}{2mr_0^2} \\ &= -0.9 \times 10^9 \times \frac{(1.6 \times 10^{-19})^2}{6.31 \times 10^{-11}} + \frac{(1.05 \times 10^{-34})^2}{2(9.1 \times 10^{-31}) \cdot (6.31 \times 10^{-11})^2} \\ &= -17.7 \text{ eV} \end{aligned}$$

ولقد توصل العالم النمساوي ايرفين شرودنجر (Erwin Schrödinger) في عام ١٩٢٤ لتلك المعادلة المناسبة والتي تُعرف منذ ذلك الحين باسم "معادلة شرودنجر" (Schrödinger equation) ويمكن استنباطها بطريقة بسيطة فيما يلي :

في الهاب الاول ذكرنا ان اى جسيم متحرك يلزمه حزمة موجيه تنصف بالسعة المتغيره (انظر صفحة) والتي تعرف في علم ميكانيكا الكم بما يسمى دالة الموجه (Wave Function) او دالة الحاله (State Function) .
ويمكننا التعبير عنها بالصورة التالية :

$$\psi = A e^{-i(\omega t - kx)} \quad (2.4)$$

فاذا ما أجرينا على تلك الدالة التفاضل الجزئى بالنسبة لاحد اى الزمن ($\frac{\partial}{\partial t}$) نحصل على :

$$\begin{aligned} \frac{\partial}{\partial t} \psi &= -i \omega A e^{-i(\omega t - kx)} \\ &= -i \omega \psi \end{aligned} \quad (2.5)$$

وضرب كل من طرفى تلك المعادلة فى المعامل $i\hbar$ نحصل على :

$$i\hbar \frac{\partial}{\partial t} \psi = i\hbar (-i\omega \psi) = \hbar \omega \psi = E \psi$$

أى ان :

$$i\hbar \frac{\partial}{\partial t} \psi = E \psi \quad (2.6)$$

وتُفهم هذه العلاقة بأنه اذا أجرينا فى المعمل تجربة لقياس الطاقة الكلية E للجسيم الذى تعبر به عن حركته الموجية ^{الموجية} فان ذلك يقابل رياضيا التأثير على تلك الدالة الموجية بالمؤثر $i\hbar \frac{\partial}{\partial t}$.

ومعادلة (2.6) هى احد الامثلة لما هو معروف باسم معادلة القيم الخاصة (Eigenvalue equation) وفيها يسمى $(i\hbar \frac{\partial}{\partial t})$ بالعاملة (Operator)

التي تؤثر على دالة الحالة ψ ونتيجة هذا التأثير نحصل على القيمة الخاصة (Eigenvalue) للمتغير الديناميكي (Dynamical Variable) الذي يقابل تلك المعادلة وهو في هذه الحالة الطاقة الكلية E للجسيم . بينما تسمى الدالة ψ الضرورية في تلك القيمة الخاصة باسم الدالة الخاصة (Eigen function)

والمثل اذا ما أجرينا على نفس الدالة ψ التفاضل الجزئي بالنسبة لاحداثي الوضع (وهو في هذه الحالة الاحداثي السيني x) نحصل على :

$$\frac{\partial}{\partial x} \psi = + i k A e^{-i(\omega t - kx)} = + i k \psi$$

وضرب كل من طرفي هذه المعادلة في $(-i \hbar)$ نحصل على :

$$-i \hbar \frac{\partial}{\partial x} \psi = + \hbar k \psi = p_x \psi$$

اي ان

$$-i \hbar \frac{\partial}{\partial x} \psi = p_x \psi \quad (2.7)$$

والمثل في الحالة العامة التي فيها ψ دالة لاحداثيات الوضع x و y و z بجانب احداثي الزمن t اي ان $\psi = \psi(x, y, z, t)$ نحصل بالمثل على نتيجتين مشابهتين لمعادلة (2.7) وهما :

$$-i \hbar \frac{\partial}{\partial y} \psi = p_y \psi \quad (2.8)$$

$$-i \hbar \frac{\partial}{\partial z} \psi = p_z \psi \quad (2.9)$$

وحيث ان الطاقة الكلية E لاي جسيم يتحرك حركة انتقالية هي

$$\frac{p^2}{2m} + V(x, y, z) = E \quad (2.10)$$

حيث $\frac{p^2}{2m}$ هي طاقة حركته الانتقالية

و $V(x, y, z)$ هي طاقة الوضع لهذا الجسيم .

وبادخال ψ في طرفي تلك المعادلة والتعبير عن الطاقة E ، p^2 بمسما
يقابلها حيث $\vec{p} \cdot \vec{p} = p^2 = p_x^2 + p_y^2 + p_z^2$ من عاملات نحصل على :

$$\frac{1}{2m} \left[\left(-i\hbar \frac{\partial}{\partial x} \right)^2 + \left(-i\hbar \frac{\partial}{\partial y} \right)^2 + \left(-i\hbar \frac{\partial}{\partial z} \right)^2 \right] \psi + V(x, y, z) \psi = i\hbar \frac{\partial}{\partial t} \psi \quad (2.11)$$

$$\therefore -\frac{\hbar^2}{2m} \left[\frac{\partial^2}{\partial x^2} + \frac{\partial^2}{\partial y^2} + \frac{\partial^2}{\partial z^2} \right] \psi + V(x, y, z) \psi = i\hbar \frac{\partial}{\partial t} \psi \quad (2.12.a)$$

$$\therefore -\frac{\hbar^2}{2m} \nabla^2 \psi + V(x, y, z) \psi = i\hbar \frac{\partial}{\partial t} \psi \quad (2.12.b)$$

$$\therefore \left[-\frac{\hbar^2}{2m} \nabla^2 + V(x, y, z) \right] \psi = i\hbar \frac{\partial}{\partial t} \psi \quad (2.13)$$

حيث عامله اللاپلاسيان (The Laplacian Operator) هي :

$$\nabla^2 = \frac{\partial^2}{\partial x^2} + \frac{\partial^2}{\partial y^2} + \frac{\partial^2}{\partial z^2} \quad (2.14)$$

والمعادلة (2.13) هي الصورة العامة لمعادلة شرودنجر التي تعبر عن الحركة
الموجيه للجسيم . واذا افترضنا ان الجسيم يتحرك تحت تأثير مجال محافظ
(Conservative Field) فان القوة F المؤثرة عليه تعطى بالعلاقة

$$\vec{F} = - \text{grad } V = - \vec{\nabla} V \quad (2.15)$$

حيث V كما اشرنا من قبل هي طاقة الوضع .
واذا افترضنا ان حركة الجسيم الانتقالية تحدث في بعد واحد وليكن الاتجاه السيني x
فان معادلة شرودنجر تصبح على الصورة المبسطة التالية :

$$-\frac{\hbar^2}{2m} \frac{\partial^2 \psi}{\partial x^2} + V(x) \psi = i\hbar \frac{\partial}{\partial t} \psi \quad (2.16)$$

نجد ان نشير الى ان معادلة شرودنجر الموجيه تتميز بما يلي :

١ - انها معادلة خطية (Linear Equation) وهذا ضرورى من الناحية الفيزيائية حيث تسمح بتراكب حلولها المختلفة لتفسير ظواهر التداخل (مثال ذلك تجربة حيود الالكترونات) وتكون الحزمة الموجيه . كما اشرنا فى الساب الاول .

٢ - انها لاتحتوى معاملات على متغيرات ديناميكية مثل مركبات كمية الحركة الخطية او الطاقة الكلية للجسيم ولكنها تحتوى على ثوابت مثل كتلة الجسيم او ثابت ديراك العالى \hbar . وهذا ايضا يجعلها تسمح بتراكب حلولها المرتبطة بالقيم الذاتية المختلفة لتلك المتغيرات الديناميكية .

وفى الحالة الخاصة التى يكون فيها الطاقة الكلية للجسيم لاتعتمد على الزمن فان معادلة شرودنجر تكتب على الصورة الاتية :

$$-\frac{\hbar^2}{2m} \nabla^2 \psi(x,y,z) + V(x,y,z) \psi(x,y,z) = E \psi(x,y,z) \quad (2.17)$$

حيث تسمى ψ هنا بدالة الحالة المستقرة (Stationary Wave Function) او الحالة المستقرة (Stationary State) .

وعبما تتميز دالة الحالة ψ بالخاصات التالية :

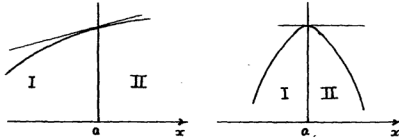
١ - يمكن ان تتداخل مع نفسها وذلك لتفسير نتائج تجارب حيود الجسيمات مثل الالكترونات والنيوترونات ... الخ .

٢ - تعبر عن احتمال تواجد الجسيم المرتبط به بمعنى انها تكون كبيرة القيمة عند النقط التى يكون احتمال تواجد الجسيم فيها كبير ولذلك تسمى ψ سعة الاحتمال (Probability Amplitude) . وعندما تكون قيمة ψ صفرا عند نقطة ما فان هذا معنا عدم تواجد الجسيم عند تلك النقطة .

٣ - تأخذ قيمة مفردة (Single Valued) لكل نقطة في الحيز الذي تتحرك فيه وفي بعض الأحيان تكون تلك القيمة تساوى صفراً .

٤ - يستحيل ان تصل قيمتها عند نقطة ما الى ما لانهاية بمعنى انها تأخذ فقط قيما محددة (Finite) ويجب ان تصل هذه القيمة الى الصفر عندما تكون تلك النقطة في ما لانهاية . ويصوب عن هذه الخاصية بان ψ حسن السلوك (Well Behaved) .

٥ - تتصف كل من الدالة ψ وانحدارها $\text{grad } \psi$ بالاستمرارية (Continuity) في كل الحيز المتاح لحركة الجسيم مهما تعددت الفواصل الحدية فيه (انظر الشكل)



شكل (٢ - ١)

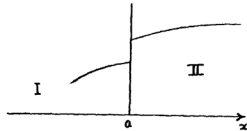
توضيح استمرارية الدالة ψ وانحدارها $\text{grad } \psi$ بمعنى

$$(\text{grad } \psi_I)_{x=a} = (\text{grad } \psi_{II})_{x=a} , \quad (\psi_I)_{x=a} = (\psi_{II})_{x=a}$$

توضيح عدم الاستمرارية وهذه غير مسموح بها في ميكانيكا الكم اذ ان ذلك يعنى

انه عند الفاصل الحدى $x=a$: انظر شكل (٢-١) في صفحة (٣٦) .

$$\text{grad } \psi_I \neq \text{grad } \psi_{II} , \quad \psi_I \neq \psi_{II}$$



شكل (٢-١) توضيح عدم الاستمرارية وهذه غير مسموح بها في ميكانيكا الكم إذ أن ذلك يعني أنه عند الفاصل الحدي $x = a$:

$$\text{grad } I \neq \text{grad } II, \quad I = II$$

وهذا لا يتفق مع المعنى الفيزيائي لدالة الحالة وانحدارها .

٦ - يُعبر عن مربع القيمة المطلقة $|\psi|^2$ للدالة عما يسمى بكثافة الاحتمال $P(x, y, z; t)$ (Probability Density) وهي احتمال تواجد الجسيم في وحدة الحجم من الحيز المتاح . وعلى ذلك يُعطى $P(x, y, z; t) dx dy dz$ "احتمال التواجد للجسيم في عنصر الحجم $dx dy dz$ حول النقطة (x, y, z) عند اللحظة t بالعلاقة الآتية :

$$P(x, y, z; t) dx dy dz = |\psi(x, y, z; t)|^2 dx dy dz \quad (2.17)$$

وحيث أنه من المؤكد تواجد الجسيم في منطقة ما داخل الحيز المتاح لذا فإن مجموع احتمالات تواجده داخل هذا الحيز المتاح يجب أن يساوي الوحدة أي أن :

$$\int_{\text{الحيز المتاح}} P(x, y, z; t) dx dy dz = \int_{\text{الحيز المتاح}} |\psi|^2 dx dy dz = 1 \quad (2.18)$$

٧ - يمكن التأثير على الدالة ψ بمعامله خطية ما (Linear Operator)

تقابل متغير ديناميكي معين وهذا يعبر عنه بمعادلة القيم الخاصة على الصورة التالية :

$$\hat{\alpha} \psi_n = \alpha_n \psi_n \quad (2.19)$$

حيث n هو ما يعرف بعدد الكم (Quantum Number) يسمى القيم α_n لهذا المتغير الديناميكي باسم القيم الخاصة ويكون مجموعها طيفاً من هذه القيم (Eigenvalue Spectrum) يكون في العادة غير متصل يميزها ما يسمى بأعداد الكم وقابل كل قيمة من هذا الطيف دالة خاصة بها ψ_n وتميز بنفس عدد الكم n وتكون الدوال ψ_n مجموعة كاملة اعتيادية متعامدة (Orthonormal Complete Set) إذا حققت العلاقة التالية :

$$\begin{aligned} \int \psi_n^* \psi_{n'} dx dy dz &= \delta_{nn'} \\ &= 1 \quad \text{if } n = n' \\ &= 0 \quad \text{if } n \neq n' \end{aligned} \quad (2.20)$$

حيث $\delta_{nn'}$ يسمى دلتا كرونكر (Kronecker Delta) • وعندما يساوى الوحدة في حالة $n = n'$ فان الدوال ψ_n تكون مجموعة كاملة اعتيادية (Normalized Complete Set) أما إذا كانت $\delta_{nn'}$ تساوى صفراً (في حالة $n \neq n'$) فان الدوال ψ_n تكون مجموعة كاملة متعامدة (Orthogonal Complete Set) •

٨ - يمكن التأثير عليها بأكثر من عامل خطية على النتائج بمعنى انه إذا أثرتا على ψ بعامل خطية $\hat{\beta}$ ثم أثرتا على الناتج بعامل خطية $\hat{\alpha}$ فان الناتج يمكن بالعلاقة التالية :

$$\hat{\beta} \hat{\alpha} \psi = \hat{\alpha} \hat{\beta} \psi \quad (2.21)$$

يصعب بالعلامات الخطية (Linear Operators) تلك التي تحقق العلاقات التالية :

$$(i) \quad \hat{\beta} (a \psi) = a \hat{\beta} \psi \quad (2.22)$$

$$(ii) \quad \hat{\alpha} (a_1 \psi_1 + a_2 \psi_2) = a_1 \hat{\alpha} \psi_1 + a_2 \hat{\alpha} \psi_2 \quad (2.23)$$

حيث a ، a_1 ، a_2 ثوابت .

١ - تحقق الدوال ψ_n مبدأ التراكب (Superposition Principle) وتبعاً له فإنه إذا كانت ψ_1 ، ψ_2 هما دالتان تعبران عن جسيم ما فسي حالتين كميتين مختلفتين فإن أى تراكب خطي (Linear Superposition) لهما $(c_1 \psi_1 + c_2 \psi_2)$ يعطى دالة حالة ψ تكون مقبولة لاحتلال تواجد الجسيم إما فى الحالة الكمية الأولى باحتمال $|c_1|^2$ أو التواجد فى الحالة الكمية الثانية باحتمال $|c_2|^2$ وهذا يتضح كما يلى :

نفرض ان

$$\psi = c_1 \psi_1 + c_2 \psi_2$$

فان احتمال التواجد فى الحالة الكمية الاولى او فى الحالة الكمية الثانية يُعطى تبعاً للمعادلة (2.17) على الصورة :

$$\begin{aligned} \int \psi^* \psi \, d\tau &= \int (c_1 \psi_1 + c_2 \psi_2)^* (c_1 \psi_1 + c_2 \psi_2) \, d\tau \\ &= (c_1^* \psi_1^* + c_2^* \psi_2^*) (c_1 \psi_1 + c_2 \psi_2) \, d\tau \\ &= |c_1|^2 \int \psi_1^* \psi_1 \, d\tau + |c_2|^2 \int \psi_2^* \psi_2 \, d\tau \\ &\quad + c_1^* c_2 \int \psi_1^* \psi_2 \, d\tau + c_2^* c_1 \int \psi_2^* \psi_1 \, d\tau \\ &= |c_1|^2 + |c_2|^2 + 0 + 0 \\ &= |c_1|^2 + |c_2|^2 \end{aligned}$$

وما أن

$$\int \psi^* \psi d\tau = 1$$

اذن

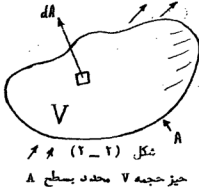
$$|c_1|^2 + |c_2|^2 = 1$$

حيث $|c_1|^2$ يمثل كما سبق ان ذكرنا احتمال التواجد في الحالة الكمية الاولى ، $|c_2|^2$ يمثل احتمال التواجد في الحالة الكمية الثانية .

١٠- الدالة ψ التي تصف نظاما يتكون من مجموعة من الجسيمات كل منها يتحدد موضعه تماليا بحد اثبات مستقلة عن احداثيات موضع اى جسيم آخر يمكن التعبير عنها على صورة حاصل ضرب الدوال الخاصة بكل جسيم على حسدة
اى ان :

$$\begin{aligned} \psi(x_1, y_1, z_1; x_2, y_2, z_2; \dots) = \\ = \psi(x_1, y_1, z_1) \psi(x_2, y_2, z_2) \dots \psi(x_i, y_i, z_i) \quad (2.24) \end{aligned}$$

متجه كثافة تيار الاحتمال Probability Current Density Vector



علفنا ان موج الدالة الموجية $|\psi|^2$ الصاحبة للجسيم تعطى احتمال التواجد في وحدة الحجم عند نقطة معينة ولحظة معينة . لذلك فان الاحتمال P ان نجده الجسيم في الحيز من الفراغ الذى حجمه V والمحدد بسطح مساحته A يعطى بالملاقة :

$$P = \int \psi^* \psi dV \quad (2.25)$$

حيث $dV \equiv d\tau$ عنصر الحجم .
ولكى نحصل على معدل تغير احتمال تواجد الجسيم مع الزمن داخل الحيز V نفاضل
طرفي المعادلة (2.25) بالنسبة للزمن كما يلي :

$$\frac{dP}{dt} = \frac{d}{dt} \int \psi^* \psi dV \quad (2.26)$$

$$\therefore \frac{dP}{dt} = \int \left(\frac{\partial \psi^*}{\partial t} \psi + \psi^* \frac{\partial \psi}{\partial t} \right) dV \quad (2.26')$$

ولكن باستخذام معادلة شرودنجر والمراقبة المركبة
لها يمكن اثبات ان :

$$\left(\psi \frac{\partial \psi^*}{\partial t} + \psi^* \frac{\partial \psi}{\partial t} \right) = \frac{i\hbar}{2m} (\psi^* \nabla^2 \psi - \psi \nabla^2 \psi^*) \quad (2.27)$$

بالكيفية الاتية :

معادلة شرودنجر (2.16) يمكن كتابتها على الصورة

$$\frac{\partial \psi}{\partial t} = -\frac{\hbar}{2im} \nabla^2 \psi + \frac{1}{i\hbar} V(x) \psi \quad (a)$$

∴ المراقبة المركبة لها تكتب على الصورة :

$$\frac{\partial \psi^*}{\partial t} = +\frac{\hbar}{2im} \nabla^2 \psi^* - \frac{1}{i\hbar} V(x) \psi^* \quad (b)$$

مضرب المعادلة (a) في ψ^* والمعادلة (b) في ψ نحصل على

$$\psi^* \frac{\partial \psi}{\partial t} = -\frac{\hbar}{2im} \psi^* \nabla^2 \psi + \frac{1}{i\hbar} \psi^* V(x) \psi \quad (c)$$

$$\psi \frac{\partial \psi^*}{\partial t} = +\frac{\hbar}{2im} \psi \nabla^2 \psi^* - \frac{1}{i\hbar} \psi \psi^* V(x) \quad (d)$$

يجمع المعادلتين (c) ، (d) نحصل على :

$$\left(\psi^* \frac{\partial \psi}{\partial t} + \psi \frac{\partial \psi^*}{\partial t} \right) = \frac{\hbar}{2im} (\psi \nabla^2 \psi^* - \psi^* \nabla^2 \psi)$$

$$\therefore \left(\psi^* \frac{\partial \psi}{\partial t} + \psi \frac{\partial \psi^*}{\partial t} \right) = -\frac{i}{2} \frac{h}{m} (\psi \nabla^2 \psi^* - \psi^* \nabla^2 \psi)$$

$$\therefore \left(\psi^* \frac{\partial \psi}{\partial t} + \psi \frac{\partial \psi^*}{\partial t} \right) = \frac{i}{2} \frac{h}{m} (\psi^* \nabla^2 \psi - \psi \nabla^2 \psi^*) \quad (2.28)$$

وبالتعويض من (2.28) في (2.26) نحصل على :

$$\frac{dP}{dt} = \frac{i}{2} \frac{h}{m} \int_V (\psi^* \nabla^2 \psi - \psi \nabla^2 \psi^*) dV \quad (2.29)$$

ولكن التكامل الحجمي في الطرف الايمن يمكن تحويله الى تكامل سطحي وذلك باستخدام نظرية جرين (Green's Theorem) فنحصل على :

$$\frac{dP}{dt} = \frac{i}{2} \frac{h}{m} \int_A (\psi^* \nabla \psi - \psi \nabla \psi^*) \cdot dA \quad (2.30)$$

ويمكن كتابة المعادلة (2.30) على الصورة :

$$\frac{dP}{dt} = - \int \vec{S} \cdot d\vec{A} \quad (2.31)$$

حيث المتجه \vec{S} يُعرف كالآتي :

$$\vec{S} = -\frac{i}{2} \frac{h}{m} (\psi^* \nabla \psi - \psi \nabla \psi^*) \quad (2.32)$$

وباستخدام نظرية الانتشار لجاوس (Gauss's Divergence Theorem) يمكن

تحويل التكامل السطحي في المعادلة (2.31) الى تكامل حجمي فنحصل على :

$$\frac{dP}{dt} = - \int_V \text{div } S dV \quad (2.33)$$

وبالتعويض من معادلة (2.26) نحصل على :

$$\int_V \frac{\partial}{\partial t} (\psi^* \psi) dV = - \int_V \text{div } S dV \quad (2.34)$$

وحيث ان الحيز V اختياري (Arbitrary) فان المعادلة (2.34) تكون

صحيحة اذا كان قلب التكامل (Integrand) في طرفي المعادلة متساويين فنحصل

على :

$$\frac{\partial}{\partial t} (\psi^* \psi) = - \operatorname{div} S \quad (2.35)$$

$$\therefore \operatorname{div} S = - \frac{\partial}{\partial t} (\psi^* \psi) \quad (2.36)$$

معادلة هذه المعادلة بمعادلة الاستمرارية (Continuity Equation) فسمى الفيزياء الكلاسيكية وليكن في مجال علم الكهربية والتي تكتب على الصورة :

$$\operatorname{div} j = - \frac{\partial \rho}{\partial t} \quad (2.37)$$

نجد ان المتجه \vec{S} يتقابل متجه كثافة التيار ولذلك يسمى المتجه \vec{S} بمتجه كثافة تيار الاحتمال . وكثافة الشحنة ρ لوحدة الحجم تتقابل كثافة الاحتمال لوحدة الحجم $(\psi^* \psi)$. لذلك فالمعادلة (2.36) يمكن تفسيرها فيزيائيا على اساس ان معدل النقص في كثافة الاحتمال لوحدة الحجم $(\partial_t (\psi^* \psi) / -)$ يساوي مقدار ما يتعاقب في وحدة الزمن من احتمال التواجد خلال اسطح وحدة الحجم $(\operatorname{div} S)$. حيث كثافة تيار الاحتمال هي :

$$\vec{S} = - \frac{i \hbar}{2m} (\psi^* \nabla \psi - \psi \nabla \psi^*) \quad (2.32)$$

مثال (2.1) :

اوجد القيم الممكن قياسها لكمية الحركة الخطية لجسيم ما ، علما بأنه في مكان ما على المحور السيني بين النقطتين المحددتين :

$$x = a , \quad x = b$$

الحل :

ان العامل Ω لكمية الحركة الخطية هي : $-1 \hbar \frac{\partial}{\partial x}$
وعلى هذا تصبح المعادلة :

$$\Omega \psi_\lambda = \Omega_\lambda \psi_\lambda$$

$$-i \hbar \frac{\partial}{\partial x} \psi_\lambda = \Omega_\lambda \psi_\lambda$$

وهي معادلة تفاضلية من الرتبة الأولى • ومن الواضح انه يمكن تحقيقه
اذا فرضنا ان ψ_λ دالة للتغير x فقط • فيصبح الحل لهذه المعادلة هو :

$$\therefore \int \frac{d\psi_\lambda}{\psi_\lambda} = \int \frac{i \Omega_\lambda}{\hbar} dx$$

$$\therefore \ln \psi_\lambda = \frac{i \Omega_\lambda}{\hbar} x + \ln C$$

حيث $\ln C$ ثابت التكامل

$$\therefore \frac{\psi_\lambda}{C} = e^{\frac{i}{\hbar} \Omega_\lambda x}$$

$$\therefore \psi_\lambda = C e^{\frac{i \Omega_\lambda}{\hbar} x}$$

ونلاحظ ان هذا الحل وحيد القيمة • علاوة على ذلك فان :

$$\int \psi^* \psi dx = (b - a) C^*$$

وهذه كمية محدودة لكل قيمة محدودة للثابت C • اذا ليست هناك اية

قيود على Ω_λ فيمكننا عند القياس الحصول على كل قيم الحركة الخطية • اى ان القيم

الذاتية لكمية الحركة الخطية تكون طيفا متصلا •

شال (٢ - ٢) :

على اعتبار ان لجسيم ما حر الحركة وتتحدد حالته بالدالة الموجبة التالية
(عند الزمن $t = 0$) :

$$\psi(x, 0) = A e^{-\left(\frac{x^2}{a^2} - ik_0 x\right)}$$

اوجد قيمة المعامل A بدلالة الثابت a .

الحل :

يتم تحديد قيمة المعامل A عن طريق تحقيق شرط المعايرة التالي :

$$\begin{aligned} \int_{-\infty}^{\infty} |\psi(x, 0)|^2 dx &= 1 \\ \therefore \int_{-\infty}^{\infty} |\psi(x, 0)|^2 dx &= \int_{-\infty}^{\infty} |A|^2 (e^{-\frac{x^2}{a^2} + ik_0 x}) (e^{-\frac{x^2}{a^2} - ik_0 x}) dx \\ &= |A|^2 \int_{-\infty}^{\infty} e^{-\frac{2x^2}{a^2}} dx = |A|^2 \cdot a\sqrt{\pi} = 1 \end{aligned}$$

$$\therefore |A|^2 = \frac{1}{a\sqrt{\pi}}$$

شال (٣ - ٢) :

اشن المقصود بتحويل فورييه للدالة $f(x)$

الحل :

لنفترض دالة $f(x)$ تتميز بانها تعيد نفسها دوريا كلما تغير الاحداثى x

بمقدار L فان هذا معناه ان :

$$f(x + L) = f(x) \quad (1)$$

فمثلا الدالة e^{ikx} حيث $k = \frac{2\pi}{L}$ تتميز بهذه الصفة لأن :

$$e^{ik(x+L)} = e^{ikx} \cdot e^{ikL} = e^{ikx} \cdot e^{i \cdot 2\pi} = e^{ikx}$$

$$e^{i \cdot 2\pi} = 1 \quad \text{لأن}$$

وعلى ذلك يمكن باختيار شروط معينة مناسبة التعبير عن اى دالة $\psi(x)$ بدلالة e^{inkx} حيث n عدد صحيح بالصورة التالية :

$$\psi(x) = \sum_{n=-\infty}^{\infty} a_n e^{inkx} \quad (2)$$

ويمكن بسهولة تعيين اى من المعاملات a_n وليكن a_m وذلك بضرب كل من طرفى المعادلة (2) فى e^{-imkx} ثم اجراء التكامل على مدى دورة كاملة من الاحداثى x اى من $(-L/2)$ الى $(+L/2)$ اى ان :

$$\int_{-L/2}^{L/2} \psi(x) e^{-imkx} dx = \int_{-L/2}^{L/2} \sum_{n=-\infty}^{\infty} a_n e^{i(n-m)kx} dx \quad (3)$$

وحيث ان

$$\int_{-L/2}^{L/2} e^{i(n-m)kx} dx = 0$$

اذا كان العدد الصحيح n لا يساوى m بينما يساوى واحد صحيح عندما n يساوى m فهذا يؤدي الى تلاشى جميع الحدود فى (3) ما عدا الحسد التالى :

$$a_m = \frac{1}{L} \int_{-L/2}^{L/2} \psi(x) e^{-imkx} dx \quad (4)$$

وهذه المعادلة هي التعبير الرياضى لما يقصد بتحويل فورييه للدالة المعطاة $\psi(x)$.

مثال (٢ - ٤) :

على اعتبار حزمة موجية معيارية مربعة الشكل (عند $t = 0$) ومعرفة كالآتى :

$$\psi(x) = \frac{1}{\sqrt{2L}} e^{i \frac{p_0 x}{\hbar}} \quad \begin{matrix} |x| \leq L \\ |x| > L \end{matrix}$$

$$= 0$$

احسب تحويل فورييه لـ $\psi(x)$ وأشرح النتيجة فيزيائيا .

الحل :

فى هذه الحالة نعبّر عن تحويل فورييه كما يلى

$$a(p) = \frac{1}{\sqrt{2\pi\hbar}} \int_{-\infty}^{\infty} \psi(x, t) e^{-\frac{i}{\hbar}(px - Et)} dt$$

$$\therefore a(p) = \frac{1}{\sqrt{2\pi\hbar}} \int_{-\infty}^{\infty} \psi(x, 0) e^{-\frac{i}{\hbar} px} dx$$

$$= \frac{1}{\sqrt{2\pi\hbar} \cdot \sqrt{2L}} \int_{-L}^{+L} e^{\frac{i}{\hbar}(p_0 - p)x} dx$$

$$= \sqrt{\frac{\hbar}{\pi L}} \frac{\sin \frac{(p_0 - p)L}{\hbar}}{p_0 - p}$$

مثال (٢ - ٥) :

برهن على ان الدالتين الذاتيتين ϕ_m ، ϕ_n التاليتين لقيمتين ذاتيتين مختلفتين ϵ_m ، ϵ_n للعالة الهرميتية H دائما متعامدتين *

الحل :

الدالة ϕ_m تحقق العلاقة :

$$H\phi_m = \epsilon_m \phi_m \quad (1)$$

اذا ضربنا تلك المعادلة من ناحية الشمال في ϕ_n^* ونجرب التكامل نحصل على

$$\int \phi_n^* H \phi_m dV = \epsilon_m \int \phi_n^* \phi_m dV \quad (2)$$

ومن الضروري ان تحقق الدالة ϕ_n المرافقة المركبة لمعادلة (١) اي المعادلة :

$$H^* \phi_n^* = \epsilon_n^* \phi_n^* \quad (3)$$

ويجب ان نتذكر منا ان ϵ_n هي حقيقية وضرب معادلة (٣) من ناحية اليسار في ϕ_m واجراء التكامل نحصل على النتيجة

$$\int \phi_m H \phi_n^* dV = \epsilon_n \int \phi_n^* \phi_m dV \quad (4)$$

ومرة اخرى الطرف الايسر لمعادلة (٢) مساويا للطرف الايسر لمعادلة (٤) لان العالة هرميتية وعليه فاننا بطن المعادلتين نحصل على :

$$(\epsilon_m - \epsilon_n) \int \phi_n^* \phi_m dV = 0 \quad (5)$$

ولكننا من الاساس نفترض ان القيمتين الذاتيتين ϵ_m ، ϵ_n مختلفتين اي ان : $(\epsilon_m - \epsilon_n) \neq 0$ لا يماوى صفرا * اذا :

$$\int \phi_n^* \phi_m dV = 0 \quad (6)$$

اي ان الدالتين الذاتيتين ϕ_m ، ϕ_n هما متعامدتان لبعضهما *

شال (٦ - ٢) :

عابر دالة كمية التحرك الموجية التالية

$$a(\vec{p}) = N \exp \left[- \frac{\alpha}{\hbar} |p| \right]$$

ثم وضع ان الدالة الموجية القابلة $\psi(\vec{r})$ عند $t = 0$ هي تعطى بالصورة

$$\psi(\vec{r}) = \frac{1}{\pi} (2\alpha)^{3/2} \frac{\alpha}{(r^2 + \alpha^2)^2}$$

الحل :

في هذه المسألة من المناسب استخدام الاحداثيات الكرية وعلى ذلك فان شرط

المعايرة يعطينا :

$$1 = \iiint |a(\vec{p})|^2 p^2 dp \sin \theta d\theta d\phi$$

$$= \int_0^{2\pi} d\phi \int_0^\pi \sin \theta d\theta \int_0^\infty p^2 |N|^2 \exp \left[- \frac{2\alpha p}{\hbar} \right] dp$$

$$= |N|^2 \cdot 4\pi \cdot \frac{2}{\left(\frac{2\alpha}{\hbar}\right)^3}$$

$$\therefore a(p) = \left[\frac{\alpha^3}{\pi \hbar^3} \right]^{1/2} \exp \left[- \frac{\alpha}{\hbar} |p| \right]$$

$$\therefore \psi(r, 0) = \left(\frac{1}{\sqrt{2\pi\hbar}} \right)^3 \iiint p^2 dp \sin \theta d\theta d\phi a(p) \exp \left[- \frac{i}{\hbar} \vec{p} \cdot \vec{r} \right]$$

وانا اخترنا المركبة p_z في اتجاه \vec{r} اذاً $\vec{p} \cdot \vec{r} = p r \cos \theta$

$$\begin{aligned}
 \therefore \psi(\vec{r}, 0) &= \frac{1}{(2\pi\hbar)^{3/2}} \int_0^{2\pi} d\phi \int_0^\infty dp p^2 \exp\left[-\frac{\alpha p}{\hbar}\right] \left(\frac{3}{\pi\hbar}\right)^{1/2} \\
 &\quad \int_0^\pi \exp\left[-i p r \cos \theta / \hbar\right] \sin \theta d\theta \\
 &= \frac{1}{(2\pi\hbar)^{3/2}} \cdot 2\pi \cdot \left(\frac{3}{\pi\hbar}\right)^{1/2} \int_0^\infty dp p^2 \exp\left[-\frac{\alpha p}{\hbar}\right] \\
 &\quad \cdot \frac{2\hbar}{p r} \sin \frac{pr}{\hbar} \\
 &= \frac{1}{\pi} (2\alpha)^{3/2} \frac{\alpha}{(\alpha^2 + r^2)^2}
 \end{aligned}$$

مثال (٢ - ٧) :

مبتدأ بمعادلة شرودنجر في بعد واحد وضع ان $\frac{d\psi}{dx}$ دائما تتصف بأنها متصلة مادامت دالة الجهد $V(x)$ لها قيمة محددة سواء تلك القيمة متصله او غير متصلة .

الحل :

$$\therefore \frac{d^2\psi}{dx^2} = -\frac{2m}{\hbar^2} [E - V(x)] \psi$$

اذا باجراء التكامل على معادلة شرودنجر في صورتها هذه بين $x = x_0 - \epsilon$ الى $x = x_0 + \epsilon$ نحصل على :

$$\left(\frac{d\psi}{dx}\right)_{x_0+\epsilon} - \left(\frac{d\psi}{dx}\right)_{x_0-\epsilon} = -\frac{2m}{\hbar^2} \int_{x_0-\epsilon}^{x_0+\epsilon} [E - V(x)] \psi dx$$

والطرف الايمن لهذه المعادلة يؤول دائما للصفر عندما تقترب ϵ من الصفر
مادامت دالة الجهد لها قيمة محددة . وهذا يعني ان الطرف الايسر يماوى صفرا
ايضا وبالتالي فان $\frac{d\psi}{dx}$ تتصف بانها متصلة .

الباب الثالث

العمليات الخطية في ميكانيكا الكم

Linear Operators in Quantum Mechanics

الباب الثالث

العمليات الخطية في ميكانيكا الكم Linear Operators in Quantum Mechanics

سبق الإشارة الى انه في ميكانيكا الكم يقابل كل كمية فيزيائية Ω عامل خطية $\hat{\Omega}$ وإذا أنزلت على دالة الحالة المرتبطة بجسيم ما فإن ذلك يقابل اجراء تجسية في المعمل لقياس الكمية الفيزيائية (المتغير الديناميكي) الذي تعبر تلك الحالة عنظر

وإذا أجرينا مثل هذه التجربة عدة مرات على نفس الجسيم فاننا نحصل على طيف من القيم لتلك الكمية الفيزيائية ونسوي المتوسط الاحصائي (The Statistical Mean or the Average) لتلك القيم بالقيمة المتوقعة (Expectation Value) لهذه الكمية الفيزيائية وعادة تكتب على الصورة $\langle \Omega \rangle$ والتي يعبر عنها بالعلاقة الاتية :

$$\langle \Omega \rangle = \frac{\int_{-\infty}^{\infty} \psi^* \hat{\Omega} \psi \, d\tau}{\int_{-\infty}^{\infty} \psi^* \psi \, d\tau} \quad (3.1)$$

وطى نرض أن :

$$\int_{-\infty}^{\infty} \psi^* \psi \, d\tau = 1$$

$$\therefore \langle \Omega \rangle = \int_{-\infty}^{\infty} \psi^* (\hat{\Omega} \psi) \, d\tau \quad (3.2)$$

وفيما يلي سنورد بعض الامثلة للعمليات الخطية والتي كثيرا ما نلتقانا في ميكانيكا الكم بالإضافة لتلك التي سبق ذكرها في الباب السابق والقواعد التي تتبعها :

مثال (١-٣) : العامل الخطية التي تقابل الازاحة الانتقالية أى عامل الانتقال
: (Translation Operator \hat{T})

من المعنى الخاص بتلك العاملة فإن :

$$\hat{T} \psi(x) = \psi(x + a) \quad (3.3)$$

حيث a هي المسافة التي أُرِجِع بها الجسم عن موضعه الاصلى $x = 0$ فإذا
عبرنا عن $\psi(x + a)$ على صورة التسلسلة الآسية التالية :

$$\psi(x+a) = \psi(x) + a \frac{\partial}{\partial x} \psi(x) + \frac{a^2}{2!} \frac{\partial^2}{\partial x^2} \psi(x) + \dots$$

أى أن :

$$\psi(x+a) = \sum \frac{1}{n!} a^n \frac{\partial^n}{\partial x^n} \psi(x) \quad (3.4)$$

ولكن من المعلوم أن :

$$e^x = 1 + x + \frac{x^2}{2!} + \frac{x^3}{3!} + \dots$$

$$= \sum \frac{1}{n!} x^n \quad (3.5)$$

وبمقارنة المعادلتين (3.4) ، (3.5) نجد ان عاملة الانتقال عبارة عن :

$$\hat{T} = e^{a \frac{\partial}{\partial x}} \quad (3.6)$$

موجه عام يُكتب على الصورة

$$\hat{T} = e^{a_1 \frac{\partial}{\partial x_1}} \quad (3.6')$$

مثال (٢-٣) : العامل الخطية التي تقابل الازاحة الدورانية أى عامل الدوران \hat{R}
: (Rotation Operator)

من المعنى الخاص بتلك العاملة فإن :

$$\hat{R} \psi(\theta) = \psi(\theta + \alpha) \quad (3.7)$$

حيث α هي الازاحة الزاوية للجسيم عن موضعه الاصلى تحت تأثير تلك العاملة .
وبالتل نعبّر عن $\psi(\theta + \alpha)$ على الصورة التالية :

$$\psi(\theta + \alpha) = \psi(\theta) + \alpha \frac{\partial}{\partial \theta} \psi(\theta) + \frac{\alpha^2}{2!} \frac{\partial^2}{\partial \theta^2} \psi(\theta) + \dots \quad (3.8)$$

$$\psi(\theta + \alpha) = \sum \frac{1}{n!} \alpha^n \frac{\partial^n}{\partial \theta^n} \psi(\theta) \quad (3.9)$$

$$\psi(\theta + \alpha) = \sum \frac{1}{n!} \left(\alpha \frac{\partial}{\partial \theta} \right)^n \psi(\theta) \quad (3.10)$$

ومقارنة المعادلتين (3.4) و (3.10) نجد ان عاملة الازاحة الدورانية

عبارة عن :

$$\hat{R} = e^{\alpha \frac{\partial}{\partial \theta}} \quad (3.11)$$

قواعد التبادل للمعاملات الخطية :

(Commutation Rules of Linear Operators)

سبق ان ذكرنا انه اذا أثرتا على دالة ψ بمعاملة خطية $\hat{\alpha}$ ثم اثرتنا على الناتج $(\psi \hat{\alpha})$ بمعاملة خطية اخرى $\hat{\beta}$ فاننا نصل الى نتيجة ليست بالضرورة مطابقة لما يقابل التأثير اولا بالمعاملة $\hat{\beta}$ على الدالة ψ ثم اثرتنا على الناتج $\psi \hat{\beta}$ بالمعاملة $\hat{\alpha}$ اى انه ليس بالضرورة ان يكون

$$\hat{\beta} (\hat{\alpha} \psi) = \hat{\alpha} (\hat{\beta} \psi) \quad (3.12)$$

ويتضح ذلك من المثال التالى :

مثال (٣-٢) :

اذا فرضنا ان العاملة $\hat{\alpha}$ هي العاملة \hat{x}

والعاملة $\hat{\beta}$ هي العاملة $\frac{\partial}{\partial x}$

$$\hat{\alpha} \hat{\beta} = x \frac{\partial}{\partial x} \quad \text{فيكون}$$

$$\hat{\beta} \hat{\alpha} = \frac{\partial}{\partial x} x \quad \text{بينما}$$

فإذا أنزلنا بهما على الدالة الاختيارية $f(x)$ نحصل على :

$$\begin{aligned} (\hat{\alpha} \hat{\beta} - \hat{\beta} \hat{\alpha}) f(x) &= \left[x \frac{\partial}{\partial x} - \frac{\partial}{\partial x} x \right] f(x) \\ &= x \frac{\partial}{\partial x} f(x) - \frac{\partial}{\partial x} (xf(x)) \\ &= x \frac{\partial f(x)}{\partial x} - x \frac{\partial f(x)}{\partial x} - f(x) \\ &= -1 \cdot f(x) \end{aligned}$$

وبحيث ان هذه النتيجة لاتعتمد على الدالة الاختيارية $f(x)$ فان

$$\left[x \frac{\partial}{\partial x} - \frac{\partial}{\partial x} x \right] = -1 \quad (3.13)$$

في هذه الحالة يقال ان العاملين $\hat{\alpha}$ و $\hat{\beta}$ لاتتبادلان (do not commute)

أما في الحالة الخاصة التي يحدث فيها أن :

$$\hat{\alpha} \hat{\beta} - \hat{\beta} \hat{\alpha} = +1 \quad (3.15)$$

فان $\hat{\alpha}$ ، $\hat{\beta}$ يقال انهما تتبادلان على التصاد

أنوار وواسون في ميكانيكا الكم :

(Poisson's Brackets in Quantum Mechanics)

عادة يُعبر عن الكمية $\hat{\alpha} - \hat{\beta}$ بالصورة الاتية $[\hat{\alpha}, \hat{\beta}]$ أى أن :

$$[\hat{\alpha}, \hat{\beta}] = \hat{\alpha} \hat{\beta} - \hat{\beta} \hat{\alpha} \quad (3.16)$$

وتسمى الأقواس [] بأقواس التبادل
أو أقواس بواسون في ميكانيكا الكم .

وإذا كان الموتران \hat{A} و \hat{B} يتبادلان فإن :

$$[\hat{A}, \hat{B}] = 0 \quad (3.17)$$

كما أنه يمكن إثبات العلاقات الاتية لأقواس بواسون بالنسبة لمجموعة ثلاثية من العوامل
الخطية : $(\hat{A}, \hat{B}, \hat{C})$:

$$\begin{aligned} \text{i) } [\hat{A}, \hat{B}] &= - [\hat{B}, \hat{A}] \\ \text{ii) } [\hat{A}, \hat{B} + \hat{C}] &= [\hat{A}, \hat{B}] + [\hat{A}, \hat{C}] \\ \text{iii) } [\hat{A} + \hat{B}, \hat{C}] &= [\hat{A}, \hat{C}] + [\hat{B}, \hat{C}] \\ \text{iv) } [\hat{A}, \hat{B}\hat{C}] &= \hat{B} [\hat{A}, \hat{C}] + [\hat{A}, \hat{B}] \hat{C} \\ \text{v) } [\hat{A}\hat{B}, \hat{C}] &= \hat{A} [\hat{B}, \hat{C}] + [\hat{A}, \hat{C}] \hat{B} = - [\hat{C}, \hat{A}\hat{B}] \\ \text{vi) } [\hat{A}, [\hat{B}, \hat{C}]] &= [\hat{C}, [\hat{A}, \hat{B}]] + [\hat{B}, [\hat{C}, \hat{A}]] = 0 \end{aligned} \quad (3.16)$$

مثال (٣-٤) : أوجد ما يماويه قوس بواسون للعاملتين (الموترين الديناميكيين)

$$\hat{L}_+ = \hat{x} + \frac{\partial}{\partial x} \quad , \quad \hat{L}_- = \hat{x} - \frac{\partial}{\partial x} \quad \text{حيث : } \hat{L} = \hat{L}_+ - \hat{L}_-$$

الحل :

لايجاد المطلوب في هذه الحالة نقر بقوس بواسون كوحدة على اى دالة اختيارية

$f(x)$ فيكون لدينا :

$$\begin{aligned}
 [\hat{l}_+, \hat{l}_-] f(x) &= (\hat{l}_+ \hat{l}_- - \hat{l}_- \hat{l}_+) f(x) \\
 &= (x + \frac{\partial}{\partial x})(x - \frac{\partial}{\partial x}) f(x) - (x - \frac{\partial}{\partial x})(x + \frac{\partial}{\partial x}) f(x) \\
 &= (x + \frac{\partial}{\partial x})(xf(x) - \frac{\partial f(x)}{\partial x}) - (x - \frac{\partial}{\partial x})(xf(x) + \frac{\partial f(x)}{\partial x}) \\
 &= x(xf(x) - \frac{\partial f(x)}{\partial x}) + \frac{\partial}{\partial x}(xf(x) - \frac{\partial f(x)}{\partial x}) \\
 &\quad - x(xf(x) + \frac{\partial f(x)}{\partial x}) + \frac{\partial}{\partial x}(xf(x) + \frac{\partial f(x)}{\partial x}) \\
 &= x^2 f(x) - x \frac{\partial f(x)}{\partial x} + x \frac{\partial f(x)}{\partial x} + f(x) - \frac{\partial^2 f(x)}{\partial x^2} \\
 &\quad - x^2 f(x) - x \frac{\partial f(x)}{\partial x} + x \frac{\partial f(x)}{\partial x} + f(x) + \frac{\partial^2 f(x)}{\partial x^2} \\
 &= 2 f(x)
 \end{aligned}$$

$$\therefore [\hat{l}_+, \hat{l}_-] f(x) = 2 f(x) \quad (3.18)$$

وحيث ان هذه النتيجة حصلنا عليها باستخدام دالة اختيارية $f(x)$ فيكون :

$$[\hat{l}_+, \hat{l}_-] = 2 \quad (3.19)$$

العوامل الخطية العكسلة لكمية الحركة الخطية :

(Linear Operators Corresponding to Angular Momentum Operators)

نعلم ان مُجه كمية الحركة الزاوية \vec{L} يعرف بالعلاقة التالية :

$$\vec{L} = \vec{r} \times \vec{P} \quad (3.20)$$

(Position Vector) \vec{r} متجه الوضع حيث

\vec{P} متجه كمية الحركة الخطية 6

وبما لهذا التعريف فانه في الاحداثيات الكرتيزية تأخذ المعادلة (3.20) الصورة التالية :

$$\vec{L} = \vec{r} \times \vec{p} = \begin{vmatrix} \vec{i} & \vec{j} & \vec{k} \\ x & y & z \\ p_x & p_y & p_z \end{vmatrix} \quad (3.21)$$

$$\begin{aligned} \therefore \vec{L} &= \vec{i} (yp_z - zp_y) + \vec{j}(zp_x - xp_z) + \vec{k}(xp_y - yp_x) \\ &= \vec{i} L_x + \vec{j} L_y + \vec{k} L_z \end{aligned}$$

فتكون مركبات الزخم هي :

$$L_x = (yp_z - zp_y) \quad (3.22a)$$

$$L_y = (zp_x - xp_z) \quad (3.22b)$$

$$L_z = (xp_y - yp_x) \quad (3.22c)$$

وعلى ذلك نحصل على المعادلات الخطية المقابلة لتلك المركبات بالتعويض عن كل مركبات (p_x, p_y, p_z) وكذلك عن المركبات (x, y, z) لتجه المضاعف \vec{r} بما يقابل كل منها من عاملة خطية :

$$x \rightarrow \hat{x}, y \rightarrow \hat{y}, z \rightarrow \hat{z},$$

$$p_x \rightarrow -i \hbar \frac{\partial}{\partial x}, p_y \rightarrow -i \hbar \frac{\partial}{\partial y}, p_z \rightarrow -i \hbar \frac{\partial}{\partial z} \quad (3.23)$$

فنحصل على :

$$\hat{L}_x = -i \hbar \left(\hat{y} \frac{\partial}{\partial z} - \hat{z} \frac{\partial}{\partial y} \right) \quad (3.24)$$

$$\hat{L}_y = -i \hbar \left(\hat{z} \frac{\partial}{\partial x} - \hat{x} \frac{\partial}{\partial z} \right) \quad (3.25)$$

$$\hat{L}_z = -i \hbar \left(\hat{x} \frac{\partial}{\partial y} - \hat{y} \frac{\partial}{\partial x} \right) \quad (3.26)$$

إذاً يوجد عام نحصل على :

$$\hat{L} = -i \hbar (\vec{r} \times \vec{\nabla}) \quad (3.27)$$

وننتج عن هذه العلاقات عدة خصائص هامة لتلك العمليات تتضح من الأمثلة التالية :

$$[\hat{L}_x, \hat{L}_y] = i \hbar \hat{L}_z \quad \text{مثال (٢ - ٥) : اثبت ان :}$$

الحل :

$$[\hat{L}_x, \hat{L}_y] = (\hat{L}_x \hat{L}_y - \hat{L}_y \hat{L}_x)$$

ولكن

$$\begin{aligned} \hat{L}_x \hat{L}_y &= (-i \hbar)^2 (y \frac{\partial}{\partial z} - z \frac{\partial}{\partial y}) (z \frac{\partial}{\partial x} - x \frac{\partial}{\partial z}) \\ &= -\hbar^2 \left\{ \left\{ y \frac{\partial}{\partial z} (z \frac{\partial}{\partial x}) \right\} - \left\{ y \frac{\partial}{\partial z} (x \frac{\partial}{\partial z}) \right\} \right. \\ &\quad \left. - \left\{ z \frac{\partial}{\partial y} (z \frac{\partial}{\partial x}) \right\} + \left\{ z \frac{\partial}{\partial y} (x \frac{\partial}{\partial z}) \right\} \right\} \\ \therefore \hat{L}_x \hat{L}_y &= -\hbar^2 \left\{ yz \frac{\partial^2}{\partial z \partial x} + y \frac{\partial}{\partial x} - yx \frac{\partial^2}{\partial z^2} \right. \\ &\quad \left. - z^2 \frac{\partial^2}{\partial y \partial x} + zx \frac{\partial^2}{\partial y \partial z} \right\} \quad (3.28) \end{aligned}$$

وبالمثل يمكن اثبات ان :

$$\begin{aligned} \hat{L}_y \hat{L}_x &= -\hbar^2 \left\{ zy \frac{\partial^2}{\partial x \partial z} - z^2 \frac{\partial^2}{\partial x \partial y} - xy \frac{\partial^2}{\partial z^2} \right. \\ &\quad \left. + xz \frac{\partial^2}{\partial z \partial y} + x \frac{\partial}{\partial y} \right\} \quad (3.29) \end{aligned}$$

ومن (3.28) و (3.29) نحصل على :

$$\begin{aligned} (\hat{L}_x \hat{L}_y - \hat{L}_y \hat{L}_x) &= -\hbar^2 (y \frac{\partial}{\partial x} - x \frac{\partial}{\partial y}) \\ &= i \hbar \cdot i \hbar (y \frac{\partial}{\partial x} - x \frac{\partial}{\partial y}) \\ &= i \hbar (-i \hbar) (x \frac{\partial}{\partial y} - y \frac{\partial}{\partial x}) \end{aligned}$$

$$\therefore [\hat{L}_x, \hat{L}_y] = i \hbar \hat{L}_z \quad (3.30)$$

وبالمثل فإنه يمكن اثبات أن :

$$[\hat{L}_y, \hat{L}_z] = i \hbar \hat{L}_x \quad (3.31)$$

$$[\hat{L}_z, \hat{L}_x] = i \hbar \hat{L}_y \quad (3.32)$$

وهذه النتائج توضح أن مركبات كمية التحرك الزاوي لا تتبادل مع بعضها • بينما يتبادل متجه كمية الحركة L^2 يتصف بأنه يتبادل مع كل من تلك المركبات (L_x, L_y, L_z) ويتضح ذلك من المثال التالي :

$$[\hat{L}^2, \hat{L}_x] = 0 \quad \text{مثال (٣ - ١) : اثبت أن :}$$

$$\hat{L}^2 = \hat{L}_x^2 + \hat{L}_y^2 + \hat{L}_z^2 \quad \text{الحل : نعلم أن}$$

$$\begin{aligned} \therefore [\hat{L}^2, \hat{L}_x] &= (\hat{L}^2 \hat{L}_x - \hat{L}_x \hat{L}^2) \\ &= \hat{L}_x^2 \hat{L}_x + \hat{L}_y^2 \hat{L}_x + \hat{L}_z^2 \hat{L}_x - \hat{L}_x \hat{L}_x^2 - \hat{L}_x \hat{L}_y^2 - \hat{L}_x \hat{L}_z^2 \\ &= \hat{L}_y^2 \hat{L}_x + \hat{L}_z^2 \hat{L}_x - \hat{L}_x \hat{L}_y^2 - \hat{L}_x \hat{L}_z^2 \\ &= \hat{L}_y^2 \hat{L}_x - \hat{L}_y \hat{L}_x \hat{L}_y + \hat{L}_y \hat{L}_x \hat{L}_y - \hat{L}_x \hat{L}_y^2 \\ &\quad + \hat{L}_z^2 \hat{L}_x - \hat{L}_z \hat{L}_x \hat{L}_z + \hat{L}_z \hat{L}_x \hat{L}_z - \hat{L}_x \hat{L}_z^2 \\ &= \hat{L}_y (\hat{L}_y \hat{L}_x - \hat{L}_x \hat{L}_y) + (\hat{L}_y \hat{L}_x - \hat{L}_x \hat{L}_y) \hat{L}_y \\ &\quad + \hat{L}_z (\hat{L}_z \hat{L}_x - \hat{L}_x \hat{L}_z) + (\hat{L}_z \hat{L}_x - \hat{L}_x \hat{L}_z) \hat{L}_z \\ &= -i \hbar \hat{L}_y \hat{L}_z - i \hbar \hat{L}_z \hat{L}_y + i \hbar \hat{L}_z \hat{L}_y + i \hbar \hat{L}_y \hat{L}_z = 0 \\ \therefore [\hat{L}^2, \hat{L}_x] &= 0 \quad (3.33) \end{aligned}$$

والمثل يمكن اثبات ان :

$$[\hat{L}^2, \hat{L}_y] = 0 \quad (3.34)$$

$$[\hat{L}^2, \hat{L}_z] = 0 \quad (3.35)$$

وباتباع نفس الطريقة يمكن اثبات العلاقات الاتية :

$$[\hat{L}_z, \hat{x}] = i \hbar \hat{y} \quad (3.36)$$

$$[\hat{L}_z, \hat{y}] = -i \hbar \hat{x} \quad (3.37)$$

$$[\hat{L}_z, \hat{z}] = 0 \quad (3.38)$$

$$[\hat{L}_z, \hat{p}_x] = +i \hbar \hat{p}_y \quad (3.39)$$

$$[\hat{L}_z, \hat{p}_y] = -i \hbar \hat{p}_x \quad (3.40)$$

$$[\hat{L}_z, \hat{p}_z] = 0 \quad (3.41)$$

$$[\hat{L}_x, \hat{p}_x] = 0 \quad (3.42)$$

$$[\hat{L}_x, \hat{p}_y] = +i \hbar \hat{p}_z \quad (3.43)$$

$$[\hat{L}_x, \hat{p}_z] = -i \hbar \hat{p}_y \quad (3.44)$$

$$\hat{L}_- \hat{L}_+ = \hat{L}^2 - \hat{L}_z^2 - \hbar \hat{L}_z \quad (3.45)$$

$$\hat{L}_+ \hat{L}_- = \hat{L}^2 - \hat{L}_z^2 + \hbar \hat{L}_z \quad (3.46)$$

حيث

$$\hat{L}_+ = \hat{L}_x + i \hat{L}_y \quad (3.47)$$

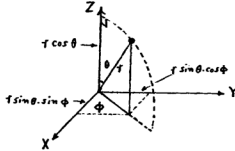
$$\hat{L}_- = \hat{L}_x - i \hat{L}_y \quad (3.48)$$

كما يمكن باستخدام العلاقة (٤) ، (٥) من المعادلة (3.17) إثبات أن :

$$[x, p^n] = i \hbar n p^{n-1} \quad (3.49)$$

مركبات كمية الحركة الزاوية في الاحداثيات الكروية :

The Components of the Angular-Momentum Operator in Spherical Coordinates



شكل (١-٣) توضيح العلاقة بين الاحداثيات الكرية والاحداثيات الكرتيزية .

من المعلوم ان معادلات الاحداثيات التي تربط بين الاحداثيات الكرتيزية

(x, y, z) والاحداثيات الكرتيزية (r, theta, phi) تكتب على الصورة الاتية :

$$x = r \sin \theta \cdot \cos \phi \quad (3.50)$$

$$y = r \sin \theta \cdot \sin \phi \quad (3.51)$$

$$z = r \cos \theta \quad (3.52)$$

وهذه المعادلات تُعبر عن الاحداثيات الكرتيزية بدلالة الاحداثيات الكرية .

ولكن معادلات التحويل العكسية التي تُعبر عن الاحداثيات الكروية بدلالة
الاحداثيات الكرتيزية تكتب على الصورة :

$$r = \sqrt{x^2 + y^2 + z^2} \quad (3.53)$$

$$\theta = \arccos \frac{z}{r} = \arccos \frac{z}{\sqrt{x^2 + y^2 + z^2}} \quad (3.54)$$

$$\phi = \arctan \frac{y}{x} \quad (3.55)$$

$$r \sin \theta = \sqrt{x^2 + y^2} \quad (3.56)$$

ولدينا ايضا العلاقات الهامة الاتية :

$$(\arcsin V)' = + \frac{V'}{\sqrt{1 - V^2}} \quad (3.57)$$

$$(\arccos V)' = - \frac{V'}{\sqrt{1 - V^2}} \quad (3.58)$$

$$(\arctan V)' = + \frac{V'}{1 + V^2} \quad (3.59)$$

$$(\operatorname{arccot} V)' = - \frac{V'}{1 + V^2} \quad (3.60)$$

وباستخدام العلاقات من (3.53) الى (3.60) يمكن اثبات ان :

$$\left[\begin{aligned} \frac{\partial r}{\partial x} &= \frac{x}{r} = \sin \theta \cos \phi \end{aligned} \right. \quad (3.61)$$

$$\left[\begin{aligned} \frac{\partial r}{\partial y} &= \frac{y}{r} = \sin \theta \sin \phi \end{aligned} \right. \quad (3.62)$$

$$\left[\begin{aligned} \frac{\partial r}{\partial z} &= \frac{z}{r} = \cos \theta \end{aligned} \right. \quad (3.63)$$

$$\left[\begin{aligned} \frac{\partial \theta}{\partial x} &= - \frac{\cos \theta \cos \phi}{r} \end{aligned} \right. \quad (3.64)$$

$$\left[\begin{aligned} \frac{\partial \theta}{\partial y} &= - \frac{\cos \theta \sin \phi}{r} \end{aligned} \right. \quad (3.65)$$

$$\left[\begin{aligned} \frac{\partial \theta}{\partial z} &= - \frac{\sin \theta}{r} \end{aligned} \right. \quad (3.66)$$

$$\frac{\partial \theta}{\partial x} = - \frac{\sin \theta}{r \sin \theta} \quad (3.67)$$

$$\frac{\partial \theta}{\partial y} = \frac{\cos \theta}{r \sin \theta} \quad (3.68)$$

$$\frac{\partial \theta}{\partial z} = 0 \quad (3.69)$$

وكذلك يمكن استخدام العلاقات الآتية :

$$\frac{\partial}{\partial x} = \frac{\partial r}{\partial x} \frac{\partial}{\partial r} + \frac{\partial \theta}{\partial x} \frac{\partial}{\partial \theta} + \frac{\partial \phi}{\partial x} \frac{\partial}{\partial \phi} \quad (3.70)$$

$$\frac{\partial}{\partial y} = \frac{\partial r}{\partial y} \frac{\partial}{\partial r} + \frac{\partial \theta}{\partial y} \frac{\partial}{\partial \theta} + \frac{\partial \phi}{\partial y} \frac{\partial}{\partial \phi} \quad (3.71)$$

$$\frac{\partial}{\partial z} = \frac{\partial r}{\partial z} \frac{\partial}{\partial r} + \frac{\partial \theta}{\partial z} \frac{\partial}{\partial \theta} + \frac{\partial \phi}{\partial z} \frac{\partial}{\partial \phi} \quad (3.72)$$

للحصول على النتائج الآتية :

$$\frac{\partial}{\partial x} = \sin \theta \cos \phi \frac{\partial}{\partial r} + \frac{\cos \theta \cos \phi}{r} \frac{\partial}{\partial \theta} - \frac{\sin \phi}{r \sin \theta} \frac{\partial}{\partial \phi} \quad (3.73)$$

$$\frac{\partial}{\partial y} = \sin \theta \sin \phi \frac{\partial}{\partial r} + \frac{\sin \theta \cos \phi}{r} \frac{\partial}{\partial \theta} + \frac{\cos \phi}{r \sin \theta} \frac{\partial}{\partial \phi} \quad (3.74)$$

$$\frac{\partial}{\partial z} = \cos \theta \frac{\partial}{\partial r} - \frac{\sin \theta}{r} \frac{\partial}{\partial \theta} \quad (3.75)$$

وبالتعويض من المعادلات (3.73)، (3.74)، (3.75) في المعادلات (3.24)،

(3.25) + (3.26) يمكن الحصول على مركبات عاملة كمية الحركة الزاوية في الإحداثيات

الكبرى على الصورة الآتية :

$$\hat{L}_x = i \hbar \left(\sin \theta \frac{\partial}{\partial \phi} + \cot \theta \cos \phi \frac{\partial}{\partial \theta} \right) \quad (3.76)$$

$$\hat{L}_y = i \hbar \left(-\cos \theta \frac{\partial}{\partial \phi} + \cot \theta \sin \phi \frac{\partial}{\partial \theta} \right) \quad (3.77)$$

$$\hat{L}_z = -i \hbar \frac{\partial}{\partial \theta} \quad (3.78)$$

ويتضح ذلك من المثال الاتي :

مثال (٧-٢) اوجد المركبة L_y في الاحداثيات الكرية

الحل :

$$\begin{aligned} \hat{L}_y &= -i \hbar \left(z \frac{\partial}{\partial x} - x \frac{\partial}{\partial z} \right) \\ &= -i \hbar \left\{ r \cos \theta \left(\sin \theta \cos \phi \frac{\partial}{\partial r} + \frac{\cos \theta \cos \phi}{r} \frac{\partial}{\partial \theta} \right. \right. \\ &\quad \left. \left. - \frac{\sin \phi}{r \sin \theta} \frac{\partial}{\partial \phi} \right) - r \sin \theta \cos \phi \left(\cos \theta \frac{\partial}{\partial r} - \frac{\sin \theta}{r} \frac{\partial}{\partial \theta} \right) \right\} \\ \therefore \hat{L}_y &= -i \hbar \left\{ \cos \phi \frac{\partial}{\partial \theta} - \cot \theta \sin \phi \frac{\partial}{\partial \phi} \right\} \end{aligned}$$

مثال (٨-٢) اثبت ان :

$$\hat{L}_+ = \hbar e^{i\phi} \left(\frac{\partial}{\partial \theta} + i \cot \theta \frac{\partial}{\partial \phi} \right)$$

حيث كما سبق ان افترضنا

$$\hat{L}_+ = \hat{L}_x + i \hat{L}_y$$

الاثبات : نعرض عن L_x و L_y بما يتقابلهما في الاحداثيات الكرية نحصل على :

$$\begin{aligned} L_+ &= i \hbar \left(\sin \phi \frac{\partial}{\partial \theta} + \cot \theta \cos \phi \frac{\partial}{\partial \phi} \right) \\ &\quad + i \hbar \left(-\cos \phi \frac{\partial}{\partial \theta} + \cot \theta \sin \phi \frac{\partial}{\partial \phi} \right) \\ &= \hbar \left[i \sin \phi \frac{\partial}{\partial \theta} + i \cot \theta \cos \phi \frac{\partial}{\partial \phi} \right. \\ &\quad \left. + \cos \phi \frac{\partial}{\partial \theta} - \cot \theta \sin \phi \frac{\partial}{\partial \phi} \right] \\ &= \hbar (\cos \phi + i \sin \phi) \frac{\partial}{\partial \theta} + \hbar (i \cot \theta (\cos \phi + i \sin \phi) \frac{\partial}{\partial \phi}) \\ &= \hbar e^{i\phi} \frac{\partial}{\partial \theta} + i \hbar \cot \theta e^{i\phi} \frac{\partial}{\partial \phi} \end{aligned}$$

$$\therefore \hat{L}_+ = \hbar e^{i\theta} \left(\frac{\partial}{\partial \theta} + i \cot \theta \frac{\partial}{\partial \phi} \right) \quad (3.75)$$

بالمثل يمكن اثبات ان :

$$\hat{L}_- = \hbar e^{-i\theta} \left(i \cot \theta \frac{\partial}{\partial \phi} - \frac{\partial}{\partial \theta} \right) \quad (3.80)$$

$$\hat{L}_z = (\hat{L}_x - i \hat{L}_y) \quad \text{حيث كما سبق ان اشرنا :}$$

مثال (١-٣) : اثبت ان عاملة مربع كمية التحرك الزاوى الكلى بدلالة الاحداثيات الكروية
عارة عن :

$$L^2 = -\hbar^2 \frac{1}{\sin \theta} \frac{\partial}{\partial \theta} \left(\sin \theta \frac{\partial}{\partial \theta} \right) + \frac{1}{\sin^2 \theta} \frac{\partial^2}{\partial \phi^2} \quad (3.81)$$

$$L^2 = L_x^2 + L_y^2 + L_z^2 \quad \text{الحل : بما ان}$$

اذنا بالتعويض من المعادلات (3.76) ، (3.77) ، (3.78) نحصل على :

$$\begin{aligned} L^2 &= -\hbar^2 \left[\left(\sin \theta \frac{\partial}{\partial \theta} + \cot \theta \cos \theta \frac{\partial}{\partial \phi} \right)^2 \right. \\ &\quad \left. + \left(\cos \theta \frac{\partial}{\partial \theta} - \cot \theta \sin \theta \frac{\partial}{\partial \phi} \right)^2 + \frac{\partial^2}{\partial \phi^2} \right] \\ &= -\hbar^2 \left[\sin^2 \theta \frac{\partial^2}{\partial \theta^2} + \sin \theta \frac{\partial}{\partial \theta} (\cot \theta \cos \theta \frac{\partial}{\partial \phi}) \right. \\ &\quad \left. + \cot \theta \cos \theta \frac{\partial}{\partial \theta} (\sin \theta \frac{\partial}{\partial \theta}) + \cot^2 \theta \cos \theta \frac{\partial}{\partial \theta} (\cos \theta \frac{\partial}{\partial \phi}) \right. \\ &\quad \left. + \cos^2 \theta \frac{\partial^2}{\partial \theta^2} - \cos \theta \frac{\partial}{\partial \theta} (\cot \theta \sin \theta \frac{\partial}{\partial \phi}) \right. \\ &\quad \left. - \cot \theta \sin \theta \frac{\partial}{\partial \theta} (\cos \theta \frac{\partial}{\partial \phi}) \right. \\ &\quad \left. + \cot^2 \theta \sin \theta \frac{\partial}{\partial \theta} (\sin \theta \frac{\partial}{\partial \theta}) + \frac{\partial^2}{\partial \phi^2} \right] \end{aligned}$$

$$\begin{aligned}
 L^2 &= \hbar^2 \left[\frac{\partial^2}{\partial \theta^2} + \cot \theta \frac{\partial}{\partial \theta} + \cot^2 \theta \frac{\partial^2}{\partial \phi^2} + \frac{\partial^2}{\partial \phi^2} \right] \\
 &= -\hbar^2 \left[\frac{1}{\sin \theta} \frac{\partial}{\partial \theta} (\sin \theta \frac{\partial}{\partial \theta}) + (\cot^2 \theta + 1) \frac{\partial^2}{\partial \phi^2} \right] \\
 \therefore L^2 &= -\hbar^2 \left[\frac{1}{\sin \theta} \frac{\partial}{\partial \theta} (\sin \theta \frac{\partial}{\partial \theta}) + \frac{1}{\sin^2 \theta} \frac{\partial^2}{\partial \phi^2} \right] \quad (3.81)
 \end{aligned}$$

مثال (١٠-٢): اثبت ان العاملة ∇^2 ترتبط بالعاملة L^2 بالصورة التالية :

$$\nabla^2 = \left\{ \frac{1}{r^2} \frac{\partial}{\partial r} (r^2 \frac{\partial}{\partial r}) - \frac{L^2}{\hbar^2 r^2} \right\} \quad (3.82)$$

الحل :

$$\therefore \nabla^2 = \frac{\partial^2}{\partial x^2} + \frac{\partial^2}{\partial y^2} + \frac{\partial^2}{\partial z^2}$$

اذن بالتمويض عن $\frac{\partial}{\partial x}$ ، $\frac{\partial}{\partial y}$ ، $\frac{\partial}{\partial z}$ من العلاقات (3.73) ، (3.71) ، (3.75) نحصل على :

$$\begin{aligned}
 \nabla^2 &= (\sin \theta \cos \phi \frac{\partial}{\partial x} + \frac{\cos \theta \cos \phi}{r} \frac{\partial}{\partial \theta} - \frac{\sin \phi}{r \sin \theta} \frac{\partial}{\partial \phi})^2 \\
 &+ (\sin \theta \sin \phi \frac{\partial}{\partial x} + \frac{\sin \phi \cos \theta}{r} \frac{\partial}{\partial \theta} + \frac{\cos \phi}{r \sin \theta} \frac{\partial}{\partial \phi})^2 \\
 &+ (\cos \theta \frac{\partial}{\partial x} - \frac{\sin \theta}{r} \frac{\partial}{\partial \theta})^2
 \end{aligned}$$

وباستعمال نفس خطوات الحل في المثال السابق (3.9) نجد ان :

$$\begin{aligned}
 \nabla^2 &= \frac{1}{r^2} \frac{\partial}{\partial r} (r^2 \frac{\partial}{\partial r}) \\
 &+ \frac{1}{r^2} \left\{ \frac{1}{\sin \theta} \frac{\partial}{\partial \theta} (\sin \theta \frac{\partial}{\partial \theta}) + \frac{1}{\sin^2 \theta} \frac{\partial^2}{\partial \phi^2} \right\} \quad (3.83)
 \end{aligned}$$

ولكن من معادلة (3.81) في المثال السابق نجد أن :

$$\left\{ \frac{1}{\sin \theta} \frac{\partial}{\partial \theta} (\sin \theta \frac{\partial}{\partial \theta}) + \frac{1}{\sin^2 \theta} \frac{\partial^2}{\partial \phi^2} \right\} = - \frac{L^2}{\hbar^2} \quad (3.84)$$

وهذا معناه أن ∇^2 ترتبط بمعادلة مع كمية الحركة الزاوية الكلية لمجموعة ما على الصورة التالية :

$$\nabla^2 = \left[\frac{1}{r^2} \frac{\partial}{\partial r} (r^2 \frac{\partial}{\partial r}) - \frac{L^2}{\hbar^2 r^2} \right] \quad (3.82)$$

نود أن نشير إلى أن هذه النتيجة (3.82) بجانب عدد من النتائج التي وصلنا إليها في هذا الباب سوف نستفيد منها عند دراستنا لمسألة ذرة الهيدروجين في الباب السادس من الآن الله سبحانه وتعالى .

مثال (٣ - ١١) :

أوجد ما يحاويه العاملية :

$$\left[i \hbar \vec{\nabla} + \vec{A}(\vec{r}) \right]^2$$

حيث كلا من $\vec{\nabla}$ و \vec{A} متجه .

الحل :

يجعل هذه العاملية تؤثر على دالة اختيارية ψ (كمية قياسية) نجد أن :

$$\begin{aligned} & \left[i \hbar \vec{\nabla} + \vec{A} \right]^2 \\ &= \left[i \hbar \vec{\nabla} + \vec{A} \right] \times \left[i \hbar \vec{\nabla} + \vec{A} \right] \psi \\ &= \left[i \hbar \vec{\nabla}, \vec{A} \right] \times \left[i \hbar \vec{\nabla} \psi + \vec{A} \psi \right] \\ &= \left[i \hbar \vec{\nabla} + \vec{A} \right] \times \left[i \hbar \vec{\nabla} \psi + \vec{A} \psi \right] \end{aligned}$$

- ١٨ -

$$\begin{aligned}
 &= i \hbar \vec{\nabla} \left[i \hbar \vec{\text{grad}} \psi + \vec{A} \psi \right] + \vec{A} \left[i \hbar \vec{\text{grad}} \psi + \vec{A} \psi \right] \\
 &= - \hbar^2 \nabla^2 \psi + i \hbar \vec{\nabla} \cdot \vec{A} \psi + \vec{A} \vec{\nabla} \psi \\
 &\quad + i \hbar \vec{A} \vec{\nabla} \psi + \vec{A}^2 \psi \\
 &= (- \hbar^2 \nabla^2 + i \hbar \text{div } \vec{A} + 2 i \hbar (\vec{A} \cdot \vec{\nabla}) + \vec{A}^2) \psi \\
 \therefore (i \hbar \nabla + \vec{A})^2
 \end{aligned}$$

$$= - \hbar^2 \nabla^2 + i \hbar \text{div } \vec{A} + 2 i \hbar (\vec{A} \cdot \vec{\nabla}) + \vec{A}^2$$

مثال (٣ - ١٧) :

وضح ما اذا كانت المركبة p_x لكمية التحرك الخطي قيمتها التوقعة حقيقية ام لا .

الحل :

من التعريف العام للقيمة التوقعة فان :

$$\langle p_x \rangle = \int_{-\infty}^{\infty} \psi^* \left(- i \hbar \frac{\partial}{\partial x} \right) \psi \, dV \quad (dV = d^3 x)$$

وعلى اساس ان الحزمة الموجية متجهة ناحية المحور x

$$\begin{aligned}
 \therefore \langle p_x \rangle &= \int \psi^* \left(- i \hbar \frac{\partial}{\partial x} \right) \psi \, dx \\
 &= - i \hbar \int \psi^* \frac{\partial \psi}{\partial x} \, dx
 \end{aligned}$$

$$\int_{-\infty}^{\infty} \psi^* \frac{\partial \psi}{\partial x} dx = \left[\psi^* \psi \right]_{-\infty}^{\infty} - \int_{-\infty}^{\infty} \psi \frac{\partial \psi^*}{\partial x} dx = 0 - \int_{-\infty}^{\infty} \psi \frac{\partial \psi^*}{\partial x} dx$$

$$\therefore \int_{-\infty}^{\infty} \psi^* \frac{\partial \psi}{\partial x} dx + \int_{-\infty}^{\infty} \psi \frac{\partial \psi^*}{\partial x} dx = 0$$

ومعنى هذه النتيجة ان
تخليية مطلقة وعلى ذلك

$$\therefore \langle p_x \rangle = i \hbar \times (\text{ كمية تخيلية مطلقة }) = \text{ كمية حقيقية}$$

مثال (٣ - ١) :

$$\frac{d}{dt} \langle p_x \rangle = \langle - \frac{\partial V}{\partial x} \rangle$$

وضح ان :

• حيث V دالة الجهد

الحل :

بيان :

$$\langle p_x \rangle = - i \hbar \int \frac{\partial \psi}{\partial x} d^3r$$

$$\therefore \frac{d}{dt} \langle p_x \rangle = - i \hbar \frac{d}{dt} \int \psi^* \frac{\partial \psi}{\partial x} d^3r$$

$$= - i \hbar \left[\int \frac{\partial \psi^*}{\partial t} \frac{\partial \psi}{\partial x} d^3r + \int \psi^* \frac{\partial}{\partial x} \frac{\partial \psi}{\partial t} d^3r \right]$$

- ٧٠ -

ولكن

$$\frac{\partial \psi^*}{\partial t} = -\frac{\hbar^2}{2m} \nabla^2 \psi^* + V \psi^*$$

$$6 \quad \frac{\partial \psi}{\partial t} = -\frac{\hbar^2}{2m} \nabla^2 \psi + V \psi$$

إذا :

$$\frac{d}{dt} \langle p_x \rangle = \int \psi^* \left[V \frac{\partial \psi}{\partial x} - \frac{\partial}{\partial x} (V \psi) \right] d^3r$$

حيث تم تحويل الجزء الآخر من الطرف الايمن الى تكامل سطحى ببول مقدار هـ الصفر.

$$\therefore \frac{d}{dt} \langle p_x \rangle = - \int \psi^* \frac{\partial V}{\partial x} \psi d^3r = \langle - \frac{\partial V}{\partial x} \rangle$$

الباب الرابع

استخدام معادلة شروينجر في معالجة بعض الظواهر الفيزيائية
المرتبطة بحركة جسيمات داخل حيز به حواجز جهدية

الباب الرابع

استخدام معادلة شرودنجر في معالجة بعض الظواهر الفيزيائية
المرتبطة بحركة جسيمات داخل حيز به حواجز جهدية

١ - حركة جسيم حر : The Free-Particle Motion

هي حركة جسيم داخل حيز يتميز بأن طاقة الوضع V داخله تساوي صفراً .
وفي هذه الحالة تكون الطاقة الكلية لهذا الجسيم E تساوي طاقة حركته أي أن :

$$E = \frac{1}{2} mv^2 = \frac{p^2}{2m} \quad (4.1)$$

وتكون المعادلة الهاملتونية عبارة عن :

$$\hat{H} = -\frac{\hbar^2}{2m} \nabla^2 \quad (4.2)$$

وطي ذلك تأخذ معادلة شرودنجر التي تصف تلك الحركة الحرة للجسيم الصيغة
التالية :

$$-\frac{\hbar^2}{2m} \nabla^2 \psi(x, t) = i\hbar \frac{\partial}{\partial t} \psi(x, t) \quad (4.3)$$

وافتراض أن دالة الحالة $\psi(x, t)$ يمكن التعبير عنها كحاصل ضرب دالتين
أحدهما $\phi(x)$ والآخرى $\xi(t)$ أي أن :

$$\psi(x, t) = \phi(x) \xi(t) \quad (4.4)$$

إذاً بالتعويض عن (4.4) في (4.3) نحصل على :

$$-\frac{\hbar^2}{2m} \xi(t) \nabla^2 \phi(x) = i\hbar \phi(x) \frac{\partial \xi(t)}{\partial t} \quad (4.5)$$

ونقسمه طرفي هذه المعادلة على الدالة $\psi(x, t)$ نحصل على :

$$-\frac{\hbar^2}{2m} \frac{1}{\phi(x)} \nabla^2 \phi(x) = i\hbar \frac{1}{\xi(t)} \frac{\partial \xi(t)}{\partial t} \quad (4.6)$$

ونلاحظ في هذه المعادلة ان الطرف الايمن منها دالة للمتغير "t" فقط بينما الطرف الايسر منها دالة للمتغير "r" فقط وحيث ان كلا منهما يماثل الآخر لجميع قيم t ، r فان هذا رياضيا لا يتحقق الا اذا كان كل منهما يماثل مقداراً ثابتاً مشتركاً ورمز له بالرمز Ψ . وعلى ذلك فان معادلة (4.6) تؤدي الى المعادلتين التاليتين :

$$i \hbar \frac{d \xi(t)}{dt} = \Psi \xi(t) \quad (4.7)$$

$$-\frac{\hbar^2}{2m} \nabla^2 \phi(r) = \Psi \phi(r) \quad (4.8)$$

من المعادلة (3.7) نحصل على :

$$\begin{aligned} \frac{d \xi(t)}{\xi(t)} &= -\frac{i}{\hbar} \Psi dt \\ \therefore \xi(t) &= \xi(0) e^{(-i/\hbar) \Psi t} \end{aligned} \quad (4.9)$$

وحيث ان الـ $(-i \cdot \Psi \cdot t / \hbar)$ لا بد وان يكون بلا أبعاد (Dimensionless) فهذا معناه ان المقدار الثابت Ψ له نفس ابعاد الطاقة . اي ان وحدته هي الجول . ولذلك تسمى Ψ معامل الطاقة (Energy Factor) . والان باعادة ترتيب المعادلة (3.8) نحصل على :

$$\nabla^2 \phi(r) + \frac{2m\Psi}{\hbar^2} \phi(r) = 0 \quad (4.10)$$

$$\therefore \nabla^2 \phi(r) + k^2 \phi(r) = 0 \quad (4.11)$$

حيث $k^2 = 2m\Psi/\hbar^2$. والحل العام للمعادلة هو الصورة التالية :

$$\phi(r) = A e^{i \vec{k} \cdot \vec{r}} \quad (4.12)$$

وهذا الحل يمثل حركة موجة مستوية (Plane-Wave Motion) تتجهز باتجاه انتشار الموجة k (Propagation Vector) والذي يكون عمودياً على مصدر الموجة المستوية .

وطى ذلك فان الحل العام لمعادلة شرودنجر التى تمثل حركة الجسيم الحر هو

$$\psi(x, t) = A e^{i(\vec{k} \cdot \vec{r} - \frac{\hbar k^2}{2m} t)} \quad (4.13)$$

ومتضح من هذه النتيجة ان تلك الحركة تعتمد على الزمن بجانب اعتمادها على

احداثيات الوضع .

٢ - حركة جسيم داخل صندوق مغلق :

(Motion of a Particle Inside a Closed Box)

فى هذه المسألة نعتبر حركة جسيم داخل حيز يكون الجهد فيه مساوياً للصفر (أى انها تشبه حركة الجسيم الحر) ولكن هذا الحيز يتميز بأنه محدد بحدودان تبلغ قيمة الجهد عند هاتين النهايتين وهذا معناه انه من المستحيل تواجد الجسيم عند تلك الحدودان وبالتالي عدم تواجده خارجها ايضاً . وهذا ما نقصد به ان الصندوق الذى يتحرك داخله الجسيم مغلق . واعتبار ان الحركة فى ثلاث ابعاد (x, y, z) فانه يمكننا التمييز عن الشروط الحدية التى تميز الجهد الذى يتعرض له هذا الجسيم أثناء تحركه داخل الصندوق كما يلى :

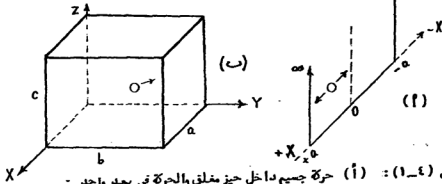
اولاً : داخل الصندوق

$$V = 0 \quad \text{for} \quad |x| < a, |y| < b, |z| < c \quad (4.14)$$

$$V = \infty \quad \text{for} \quad |x| \geq a, |y| \geq b, |z| \geq c \quad (4.15)$$

وحيث ان الطاقة الكلية للجسيم لا تعتمد على الزمن حيث انه معزول عن أى مؤثرات خارجية لذلك فاننا نعتبدل عاملة الطاقة $\frac{\partial}{\partial t}$ بالطاقات الكلية E التى تقابلها . وطى ذلك فان الدالة الموجية لا تعتمد على احدى الزمن وهذا

١- كتابة الشروط الحدية الخاصة بتلك الدالة على الصورة التالية :



شكل (١-٤) : (أ) حركة جسيم داخل حيز مغلق والحركة في بعد واحد -
(ب) حركة جسيم داخل حيز مغلق والحركة في ثلاث ابعاد -

$$\psi(x, y, z) = \psi(x, y, z) \text{ for } |x| < a, |y| < b, |z| < c \quad (4.16)$$

$$\psi(x, y, z) = 0 \text{ for } |x| \geq a, |y| \geq b, |z| \geq c \quad (4.17)$$

وبلى ذلك فان معادلة شرودنجر التي تصف حركة الجسيم في هذه الحالة تأخذ الصورة التالية :

$$-\frac{\hbar^2}{2m} \left(\frac{\partial^2}{\partial x^2} + \frac{\partial^2}{\partial y^2} + \frac{\partial^2}{\partial z^2} \right) \psi(x, y, z) = E \psi(x, y, z) \quad (4.18)$$

حيث

$$E = \frac{p^2}{2m} = \frac{\vec{p} \cdot \vec{p}}{2m} = \left(\frac{p_x^2}{2m} + \frac{p_y^2}{2m} + \frac{p_z^2}{2m} \right)$$

$$E = E_x + E_y + E_z \quad (4.19)$$

والان باتباع نفس الاسلوب في فصل المتغيرات الذي ملكناه في معالجة حركة الجسيم الحر فانه بالتعبير عن الدالة الموجية بالصورة التالية :

$$\psi(x, y, z) = X(x) Y(y) Z(z) \quad (4.20)$$

نحصل من المعادلة (4.18) على ثلاث معادلات هي :

$$\frac{d^2 X(x)}{dx^2} + \frac{2mE_x}{\hbar^2} X(x) = \frac{d^2 X(x)}{dx^2} + k_1^2 X(x) = 0 \quad (4.21)$$

$$\frac{d^2 Y(y)}{dy^2} + \frac{2mE_y}{\hbar^2} Y(y) = \frac{d^2 Y(y)}{dy^2} + k_2^2 Y(y) = 0 \quad (4.22)$$

$$\frac{d^2 Z(z)}{dz^2} + \frac{2mE_z}{\hbar^2} Z(z) = \frac{d^2 Z(z)}{dz^2} + k_3^2 Z(z) = 0 \quad (4.23)$$

كل منها يمثل معادلة شرودنجر لحركة الجسيم في بعد واحد داخل الصندوق .

(Schrodinger equation for one-dimensional motion inside a box)

والحل العام لاى منها ولكن المعادلة الاولى منها هو :

$$X(x) = A e^{+ik_1 x} + B e^{-ik_1 x} \quad (4.24)$$

وتطبيق الشرط الحدى الذى ينع على انه عند $x = -a$ تكون $X = 0$ نحصل على :

$$\begin{aligned} 0 &= A e^{-ik_1 a} + B e^{+ik_1 a} \\ \therefore A e^{-ik_1 a} &= -B e^{+ik_1 a} \\ \therefore A &= -B e^{+2ik_1 a} \end{aligned} \quad (4.25)$$

وتطبيق الشرط الحدى الاخر الذى ينع على انه عند $x = +a$ تكون $X=0$ نحصل على

$$\begin{aligned} 0 &= A e^{+ik_1 a} + B e^{-ik_1 a} \\ \therefore A &= -B e^{-2ik_1 a} \end{aligned} \quad (4.26)$$

ونقسم المعادلة (4.25) على المعادلة (4.26) نحصل على :

$$1 = + e^{4ik_1 a} = (e^{2ik_1 a})^2$$

$$\therefore e^{2ik_1 a} = \pm 1 \quad (4.27)$$

ولنأخذ مثلاً الاشارة الموجبة :

$$e^{2ik_1 a} = +1 \quad (4.28)$$

$$\therefore \cos 2 k_1 a + i \sin 2 k_1 a = +1$$

$$\therefore 2 k_1 a = n_\pi \quad \text{حيث } n_\pi = 0, 2, 4, \dots \text{ أى عدد زوجى}$$

$$\therefore k_1 = \frac{n_\pi \cdot \pi}{2 a}$$

$$\therefore k_1^2 = \frac{n_\pi^2 \cdot \pi^2}{4 a^2} = \frac{2 m E_x}{h^2}$$

وعليه فان طاقة الجسيم المرتبطة بحركته في اتجاه الاحداثى x تعطى بالعلاقة

$$E_x = \frac{h^2 \pi^2}{8 m a^2} \cdot n_\pi^2 \quad (4.29)$$

مع استبعاد القيمة $n_\pi = 0$

وبالتعويض من المعادلة (4.28) في المعادلة (4.25) نجد ان :

$$A = -B \quad (4.30)$$

وبالتالى فان المعادلة (4.24) تؤدي الى النتيجة التالية :

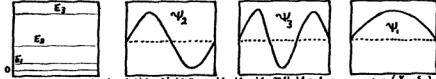
$$X(x) = A (e^{+ik_1 x} - e^{-ik_1 x}) \quad (4.31)$$

$$\therefore X(x) = 2 A \cdot i \cdot \sin k_1 x$$

$$\therefore X(x) = 2 A i \sin \frac{n_\pi \pi}{2 a} x \quad (4.32)$$

وهذه الدالة تتميز بانها دالة غير متناظرة (Antisymmetrical Function)

كما يوضح ذلك شكل (٤-٦)



شكل (٤-٦) توضح مستويات الطاقة والدوال الموجية الثلاث الأولى لحركة جسيم داخل حيز مغلق.

ومن ناحية أخرى لو أخذنا الإشارة السالبة في معادلة (4.27) بمعنى أن :

$$e^{2ik_1a} = -1 \quad (4.33)$$

فيكون

$$\cos 2k_1a + i \sin 2k_1a = -1$$

$$\therefore 2k_1a = n_x$$

حيث $n_x = 1, 3, 5, 7, \dots$ أى عدد فردى

وفي هذه الحالة تكون مستويات الطاقة E_x هي :

$$E_x = \frac{h^2}{8ma^2} n_x^2$$

حيث n_x نأخذ القيمة $1, 3, 5, 7, \dots$ على التتابع .

وبالتعويض من (4.33) في المعادلة (4.25) نجد ان :

$$A = +B$$

وبلغ ذلك تأخذ الدالة الموجية الصورة التالية :

$$X(x) = A (e^{+ik_1x} + e^{-ik_1x})$$

$$\therefore X(x) = 2A \cos k_1x$$

$$\therefore X(x) = 2A \cos \frac{n_x}{2a} x \quad (4.37)$$

وهذه الدالة تتميز بأنها دالة

متناظرة (Symmetrical)

كما هو موضح بالرسم .

ويتبقى لدينا معرفة قيمة الثابت A لاستكمال معلوماتنا عن الدالة $X(x)$

ويمكن اتمام ذلك بتطبيق خاصية المعايير التي تتميز بها الدالة الموجية . فإذا اخترنا

النتيجة (4.32) فإننا نحصل على :

$$\int_{-a}^{+a} (-2 A i \sin \frac{n_x \pi}{2a} x) \cdot (2 A i \sin \frac{n_x \pi}{2a} x) dx = 1$$

$$\therefore 4 A^2 \int_{-a}^{+a} \sin^2 \frac{n_x \pi}{2a} x dx = 1$$

$$\therefore 4 A^2 \int_{-a}^{+a} \frac{1}{2} (1 - \cos \frac{n_x \pi}{a} x) dx = 1$$

$$\therefore 2 A^2 \left[\int_{-a}^{+a} dx - \int_{-a}^{+a} \cos \frac{n_x \pi}{a} x dx \right] = 1$$

$$\therefore 2 A^2 [2a - 0] = 1$$

$$\therefore A = \pm \frac{1}{2\sqrt{a}} \quad (4.38)$$

وعلى ذلك فإن الدالة الغير متناظرة تأخذ الصورة التالية :

$$X(x) = \pm \frac{i}{\sqrt{a}} \sin \frac{n_x \pi}{2a} x, \quad n_x = 2, 4, 6, \dots \quad (4.39)$$

بينما الدالة المتناظرة تكون على الصورة التالية :

$$X(x) = \pm \frac{1}{\sqrt{a}} \cos \frac{n_x \pi}{2a} x, \quad n_x = 1, 3, 5, \dots \quad (4.40)$$

ياختيار مركبات حركة الجسم في الاتجاهين x و y نحصل على النتائج التالية :

$$Y(y) = \pm \frac{i}{\sqrt{b}} \sin \frac{n_y \pi}{2b} y \quad (4.41)$$

أو

$$Y(y) = \pm \frac{i}{\sqrt{b}} \cos \frac{n_y \pi}{2b} y \quad (4.42)$$

وتقابل مستويات الطاقة

$$E_y = \frac{\hbar^2 \pi^2}{8 m b^2} n_y^2 \quad (4.43)$$

وذلك بالنسبة للاحداثى y .

بينما للاحداثى z نحصل على :

$$Z(z) = \pm \frac{i}{\sqrt{c}} \sin \frac{n_z \pi}{2c} z \quad (4.44)$$

$$Z(z) = \pm \frac{i}{\sqrt{c}} \cos \frac{n_z \pi}{2c} z \quad (4.45)$$

والتي تقابل مستويات الطاقة

$$E_z = \frac{\hbar^2 \pi^2}{8 m c^2} n_z^2 \quad (4.46)$$

وعلى ذلك فالدالة الموجية تكتب على احدى الصورتين الاتيتين :

بالنسبة للدالة الغير متماثلة فان :

$$(\psi)_{n_x, n_y, n_z} = \pm \frac{i}{\sqrt{abc}} \left(\sin \frac{n_x \pi}{2a} x \right) \left(\sin \frac{n_y \pi}{2b} y \right) \left(\sin \frac{n_z \pi}{2c} z \right) \quad (4.47)$$

بينما الدالة المتماثلة تأخذ الصورة التالية :

$$(\psi)_{n_x, n_y, n_z} = \pm \frac{1}{\sqrt{abc}} \left(\cos \frac{n_x \pi}{2a} x \right) \left(\cos \frac{n_y \pi}{2b} y \right) \left(\cos \frac{n_z \pi}{2c} z \right) \quad (4.48)$$

وتكون مستويات الطاقة المتاملة هي :

$$E = \frac{\hbar^2 \pi^2}{8 m} \left\{ \frac{n_x^2}{a^2} + \frac{n_y^2}{b^2} + \frac{n_z^2}{c^2} \right\} \quad (4.49)$$

درجة عدم الانتماء : (The Degree of Degeneracy)

نتيجة مباشره للمعادلة (4.49) هناك احتمالان :

١ - اذا كان الصندوق على شكل متوازي مستطيلات فيه $a \neq b \neq c$ فان لكل مستوى طاقة E توجد دالة موجية $\psi(x, y, z)$ واحدة فقط تنتمى اليه ويسمى هذا المستوى في مثل هذه الحالة بمستوى غير منكسر ويتصف بدرجة عدم انتماء مقدارها الوحدة .

٢ - بينما اذا حدث ان تساوت الابعاد اى ان $a = b = c$ بمعنى ان الصندوق الذى يتحرك داخله الجسم كان على شكل مكعب فان مستوى الطاقة E تصبح معادلته على الصورة التالية :

$$E = \frac{h^2 \pi^2}{8 m a^2} [n_x^2 + n_y^2 + n_z^2] \quad (4.50)$$

فاذا فرضنا على سبيل المثال ان اعداد الكم n_x و n_y و n_z كان لها القيم التالية : $n_x = 3, n_y = 2, n_z = 4$ فمعنى هذا ان قيمة مستوى الطاقة E هي

$$\begin{aligned} E &= \frac{h^2 \pi^2}{8 m a^2} [(3)^2 + (2)^2 + (4)^2] \\ \therefore E &= \frac{h^2 \pi^2}{8 m a^2} [9 + 4 + 16] \\ \therefore E &= \frac{h^2 \pi^2}{8 m a^2} \times 29 \end{aligned} \quad (4.51)$$

وهذا المستوى يتقابل الدالة الموجية $\psi_{324}(x, y, z)$ ولكن نفس القيم للطاقة E نحصل عليها بالنسبة للدوال

234	324	423
243	342	432

وما انه في هذا المثال هناك ست دوال جميعها يتنص لستوى طاقة واحد وهو المعطى بالمعادلة (4.51) لذا يسمى هذا المستوى بمستوى متكثرتصف بدرجة عدم انتظام مقدارها ستة • والجدول الاتى يجمع بعض الامثلة :

$\frac{8\pi^2 m a^2 E}{h^2} = (n_x^2 + n_y^2 + n_z^2)$	n_x	n_y	n_z	درجة عدم الانتظام
3	1	1	1	1
6	1 1 2	1 2 1	2 1 1	3
14	1 1 2 2 3 3	2 3 3 1 1 2	3 2 1 3 2 1	6
29	2 2 3 3 4 4	3 4 2 4 2 3	4 3 4 2 3 2	6

ملحوظة خاصة بالعلاقة (4.50) :

١ - باعتبار ان الجسم الذى يتحرك داخل الصندوق هو إلكترون داخل ذرته
الام فمعنى ذلك ان الكتلة m تساوى $(9.1 \times 10^{-31} \text{ kg})$ بينما الابعاد
(a, b, c) هى فى حدود الأنجستروم (Angstrom) اى (10^{-10} m)
وعلى ذلك نحصل على مستويات طاقة E فى حدود الإلكترون فولت
وهذا يقابل الواقع الفيزيائى لمستويات الطاقة لاي إلكترون داخل الذرة .

٢ - باعتبار ان الجسم الذى يتحرك داخل الصندوق هو نيوكلون (Nucleon)
اى بروتون او نيوترون داخل النواة الذرية فمعنى ذلك ان الكتلة m
تساوى $(1.67 \times 10^{-27} \text{ kg})$ بينما الابعاد (a, b, c) هى
فى حدود الفيرمي (Fermi) اى (10^{-15} metre) . وعلى ذلك نحصل
على مستويات طاقة E فى حدود ملايين الإلكترون فولت . وهذا يقابل
الواقع الفيزيائى لمستويات الطاقة لاي نيوكلون داخل النواة .

٣ - باعتبار ان الجسم الذى يتحرك داخل الصندوق هو جسم عادى اى كتلة فى
حدود الجرام بينما ابعاد الصندوق هى الابعاد المعتادة فى الفيزياء
اللاسلوكية اى فى حدود المليمتر فان التمهيز المباشر فى المعادلة (4.50)
تعطينا القيم التالية :

$$E = \frac{h^2 \pi^2}{8m} \left[\frac{n_x^2}{a^2} + \frac{n_y^2}{b^2} + \frac{n_z^2}{c^2} \right]$$

$$= \frac{(1.05 \times 10^{-34})^2 \times (3.14)^2}{8 \times 10^{-3} \times 10^{-2}} \left[n_x^2 + n_y^2 + n_z^2 \right]$$

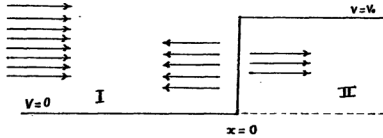
$$\sim 10^{-63} \left[n_x^2 + n_y^2 + n_z^2 \right]$$

وعلى ذلك فان مستويات الطاقة هى ضاغطة المقدار المتناهي فى الصغر
(10^{-63} Joule) وهذا يوضح بجلء ان لمثل هذه الاجسام العادية التى تحوى عددا

هائلا من الذرات (وحي مانسى بالاجسام الماكروسكوبية) تكون مستويات الطاقة الخاصة بها متصلة ومن الاستحيل التمييز بينها تجريبيا وعلى ذلك لانشخدم ميكانيكا الكم فى معالجة مثل هذه الاجسام •

حركة جسيم (أو حزمة من الجسيمات) تجاه حاجز جهدى (Potential Barrier)

(أو سلمة جهدية Potential Step) :



شكل (٣-٤) حزمة من الجسيمات متجهه ناحية سلمية جهدية حيث بعضها ينعكس والبعض الآخر ينفذ •

لنفرض ان لد بنا سلمة جهدية كالبيئة بالشكل (٣-٤) يتحرك ناحيتهم من جهة اليسار حزمة متجانسة من الجسيمات لها الشكل التالى :

$$\psi_{inc} = A \exp (i k_1 x / \hbar) = A e^{i k_1 x} \quad (4.52)$$

ولتبحث تأثير وجود تلك السلمة الجهدية على حركة هذه الحزمة •

نستطيع ان نكتب المعادلة الموجية التى تطل حركة الجسيمات داخل كل من المنطقتين

(I) و (II) الموضحتين بالشكل على النحو التالى :

$$-\frac{\hbar^2}{2m} \frac{d^2 \psi_I}{dx^2} = E \psi_I, \text{ for } x < 0 \quad (4.53)$$

$$-\frac{\hbar^2}{2m} \frac{d^2 \psi_{II}}{dx^2} = (E - V_0) \psi_{II}, \text{ for } x \geq 0 \quad (4.54)$$

حيث E الطاقة الكلية للجسم ، v_0 ارتفاع جهد السلمة .
يجب علينا ان نُعزِز بين حالتين :

الحالة الاولى : عندما تكون E اكبر من v_0 :

عندما تكون الطاقة الكلية E اكبر من طاقة الوضع v_0 (ارتفاع جهد السلمة) فان طاقة حركة الجسم $(E-v_0)$ تكون موجبة وبالتالي تكون سرعة الجسم حقيقية .

وعليه فتبعاً للميكانيكا الكلاسيكية تستطيع جميع الجسمات القادمة تجاه السلمة ان تتخطاها الى المنطقة الثانية (II) اى انه لا يوجد دقائق منعكسة الى المنطقة الاولى (I) . بينما متوضّح لنا ميكانيكا الكم وجوب احتمال انعكاس بعض هذه الدقائق الى المنطقة الاولى متحركة في عكس اتجاه الحزمة الاصلية القادمة تجاه السلمة .

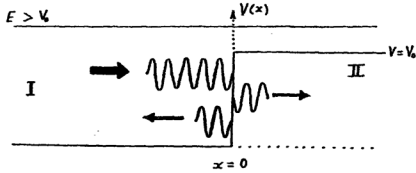
الحالة الثانية : عندما تكون E اصغر من v_0 :

عندما تكون الطاقة الكلية E للجسم اصغر من طاقة الوضع v_0 فان طاقة حركته $(E - v_0)$ تكون مقداراً سالباً وعليه تكون سرعته في المنطقة الثانية بمقداراً تخيالياً وبالتالي استحالة وجودها في هذه المنطقة تبعاً للميكانيكا الكلاسيكية اى انها تنعكس تماماً مرتدة الى المنطقة القادمة منها اى المنطقة الاولى .

من ناحية اخرى فان اساسيات ميكانيكا الكم تُوجب احتمال نفاذ بعض هذه الدقائق الى المنطقة الثانية .

ولتبدأ بدراسة تلك الحالتين كل على حدة :

الحالة الاولى : $E > V_0$ أكبر من V_0



شكل (٤-٤) حاجز جهدي ارتفاعه اقل من طاقة حركة أي من الجسيمات المتجهة ناحيته

في المنطقة الاولى فان حل المعادلة (4.53) التي تمثل حركة الجسيمات فيها يأخذ الصورة التالية :

$$\psi_I = A e^{+ik_1 x} + B e^{-ik_1 x}, \quad x < 0 \quad (4.55)$$

$$k_1^2 = \frac{2mE}{\hbar^2} \quad (4.56) \quad \text{حيث}$$

كما ان الحل (4.55) يتكون من جزئين هما $(Ae^{+ik_1 x})$ ومثل حركة الجسيمات في المنطقة الاولى المتجهة تجاه السلة ، الجزء الاخر هو $(Be^{-ik_1 x})$ ومثل حركة الجسيمات في المنطقة الاولى في اتجاه عكس اتجاه حركة الجسيمات القادمة . وذلك نتيجة انعكاسها عند السلة الجهدية .

اما حل المعادلة (4.54) التي تمثل حركة الجسيمات في المنطقة الثانية يأخذ الصورة التالية :

$$\psi_{II} = C e^{+ik_2 x} + D e^{-ik_2 x} \quad (4.57)$$

$$k_2^2 = \frac{2m(E - V_0)}{\hbar^2} > 0 \quad (4.58) \quad \text{حيث}$$

ونلاحظ في المعادلة (4.57) ضرورة وضع الثابت D مساويا للصفر سبب ذلك فيزيائيا عدم وجود منابع للجسيمات في المنطقة الثانية تكون حركتها تجاه السلسلة الجهدية . علاوة على ذلك عدم وجود أى حاجز جهدى آخر يرتد عنده بعض الجسيمات التى تخطت السلة الجهدية الاولى . وعليه تصبح المعادلة (4.57) على الصورة التالية :

$$\psi_{II} = C e^{+ik_2 x}, \quad x > 0 \quad (4.59)$$

وتطبيق الشروط الحدية لدالة الحالة ψ والمشتقة التفاضلية الاولى لها والنسب تنص على :

$$(\psi_I)_{x=0} = (\psi_{II})_{x=0} \quad (4.60)$$

$$(\psi'_I)_{x=0} = (\psi'_{II})_{x=0} \quad (4.61)$$

نحصل على :

$$A + B = C \quad (4.62)$$

$$k_1 A + k_1 B = k_2 C \quad (4.63)$$

وبحيث ان الثابت A معلوم من ظروف التجربة لذلك فان من حل المعادلتين (4.62) و (4.63) نحصل على قيمة كل من الثابتين B و C بدلالة الثابت A على النحو التالى :

$$B = \frac{k_1 - k_2}{k_1 + k_2} \cdot A \quad (4.64)$$

$$C = \frac{2 k_1}{k_1 + k_2} \cdot A \quad (4.65)$$

وتعريف معامل الانعكاسية (Reflection Coefficient) R للسلة الجهدية على الصورة التالية :

$$R = \frac{\text{شدة التيار المنعكس: ند السلة الجهدية}}{\text{شدة التيار الساقط عليها}} \quad (4.66)$$

$$\therefore R = \frac{|(B e^{-ik_1 x}) \cdot (B e^{-ik_1 x})| \cdot v_I}{|(A e^{+ik_1 x}) \cdot (A e^{+ik_1 x})| \cdot v_I}$$

$$= \frac{|B|^2}{|A|^2} \quad (4.67)$$

حيث v_I هي سرعة الجسيمات في المنطقة الأولى :

$$v_I = \frac{\hbar k_1}{m} \quad (4.68)$$

باعتبار أن m كتلة كل جسيم من الحزمة على فرض أنها من نوع واحد — من الدقائق ومتجانسة من حيث الكتلة والسرعة والطاقة والشحنة .

بينما يُعرف معامل النفاذية (Transmission Coefficient) T لنفس السالة الجهدية على الصورة التالية :

$$T = \frac{\text{شدة التيار النافذ خلال السالة الجهدية}}{\text{شدة التيار الماقط عليها}} \quad (4.69)$$

$$\therefore T = \frac{|(C e^{+ik_2 x}) \cdot (C e^{+ik_2 x})| \cdot v_{II}}{|(A e^{+ik_1 x}) \cdot (A e^{+ik_1 x})| \cdot v_I}$$

$$= \frac{|C|^2 v_{II}}{|A|^2 v_I} \quad (4.70)$$

حيث v_{II} هي سرعة الجسيمات في المنطقة الثانية :

$$v_{II} = \frac{\hbar k_2}{m} \quad (4.71)$$

واستخدام المعادلات (4.64) ، (4.65) ، (4.70) ، (4.71) نحصل على :

$$R = \frac{(k_1 - k_2)^2}{(k_1 + k_2)^2} \quad (4.72)$$

$$T = \frac{4 k_1 k_2}{(k_1 + k_2)^2} \quad (4.73)$$

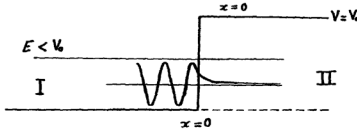
وإذا جمعنا المعادلتين (4.72) و (4.73) نحصل على :

$$T + R = \frac{(k_1 - k_2)^2 + 4 k_1 k_2}{(k_1 + k_2)^2} = 1 \quad (4.74)$$

وهذه النتيجة تتفق تماما مع قانون بقاء المادة .

الحالة الثانية : E أصغر من V_0

في هذه الحالة وكما هو موضح من الرسم فإن الشروط الحدية تأخذ الصورة التالية :



شكل (٤-٥) حاجز جهدي ارتفاعه أكبر من طاقة حركة الجسم المتجه ناحيته .

$$V(x) = 0 \quad \text{for } x < 0 \quad (4.75)$$

$$V(x) = V_0 \quad (> E) \quad \text{for } x \geq 0 \quad (4.76)$$

وعلى ذلك نأخذ معادلة شرودنجر الخاصة بحركة الجسيمات في المنطقة I الشكل التالي :

$$\frac{d^2 \psi_I}{dx^2} + \frac{2mE}{\hbar^2} \psi_I = 0 \quad (4.77)$$

وعلى ذلك يكون الحل في المنطقة الأولى I هو :

$$\psi_I = A e^{+ik_1 x} + B e^{-ik_1 x} \quad (4.78)$$

حيث مرة أخرى A تمثل السعة المرتبطة بالجسيمات المتحركة في المنطقة I تجاه السعة بينما B تمثل السعة المرتبطة بالجسيمات التي اندمجت عند السعة الجهدية وارتدت مرة أخرى في المنطقة الأولى .

$$k_1 = \sqrt{\frac{2mB}{\hbar^2}}$$

أما حركة الجسيمات في المنطقة II فتتمثل بالشكل التالي لمعادلة شرودنجر :

$$\frac{d^2 \psi_{II}}{dx^2} + \frac{2m}{\hbar^2} (E - V_0) \psi_{II} = 0$$

وحيث أن V_0 أكبر من E في هذه المعادلة لذا يمكن إعادة كتابتها كما يلي :

$$\frac{d^2 \psi_{II}}{dx^2} - \frac{2m}{\hbar^2} (V_0 - E) \psi_{II} = 0 \quad (4.79)$$

$$\frac{d^2 \psi_{II}}{dx^2} - k_2^2 \psi_{II} = 0$$

$$k_2 = \sqrt{\frac{2m}{\hbar^2} (V_0 - E)} \quad \text{حيث}$$

$$\therefore \frac{d^2 \psi_{II}}{dx^2} + (i^2) k_2^2 \psi_{II} = 0 \quad (4.80)$$

وعلى ذلك يأخذ الحل في المنطقة II الصورة المعتمدة التالية

$$\psi_{II} = C e^{+i(k_2 x)} + D e^{-i(k_2 x)} \quad (4.81)$$

$$\therefore \psi_{II} = C e^{-k_2 x} + D e^{+k_2 x} \quad (4.82)$$

وبما أن $(De^{+k_2 x})$ يمثل دالة موجية غير حسنة السلوك فقلنا استبعادها بوضع الثابت D يساوي صفراً . أما $(Ce^{-k_2 x})$ فيمثل دالة موجية حسنة السلوك ضمحلقة لوغاريتمياً كلما ازدادت x في المنطقة الثانية . وعلى ذلك فإن حركة الجسيمات في المنطقة الثانية تتمثل بالصورة التالية :

$$\psi_{II} = C e^{-k_2 x} \quad (4.83)$$

مرة أخرى كما أوضحنا في الحالة السابقة (B أكبر من v_0) فلن
الشروط الحدية لدالة الحالة وأحد أهمها هي :

$$(\psi_I)_{x=0} = (\psi_{II})_{x=0} \quad (4.84)$$

$$\left(\frac{d\psi_I}{dx}\right)_{x=0} = \left(\frac{d\psi_{II}}{dx}\right)_{x=0} \quad (4.85)$$

$$\therefore A + B = C \quad (4.86)$$

$$ik_1 A - ik_1 B = -k_2 C \quad (4.87)$$

$$\therefore B = \left(\frac{k_1 - ik_2}{k_1 + ik_2}\right) A \quad (4.88), \quad C = \left(\frac{2k_1}{k_1 + ik_2}\right) A$$

(4.89)
وهذا يؤدي إلى النتيجة التالية بالنسبة لمعامل الانعكاسية R في هذه
الحالة :

$$R = \frac{\left| (B e^{+ik_1 x}) (B e^{-ik_1 x}) \right|_{v_1}}{\left| (A e^{-ik_1 x}) (A e^{+ik_1 x}) \right|_{v_1}} = \frac{|B|^2}{|A|^2}$$

$$= \frac{\left(\frac{k_1 + ik_2}{k_1 - ik_2}\right) \left(\frac{k_1 - ik_2}{k_1 + ik_2}\right) |A|^2}{|A|^2}$$

$$\therefore R = \frac{k_1^2 + k_2^2}{k_1^2 + k_2^2} = 1 \quad (4.90)$$

وبلذلك يكون معامل النفاذية مساوياً :

$$T = 1 - R = 1 - 1 = 0$$

وهذا معناه أن عدد الدقائق التي تتحرك فعلاً داخل المنطقة الثانية يساوي
صفرًا مع أن المعالجة الكمية أوضحت أننا نلزم وجود دالة موجية في المنطقة الثانية
وهي تبعاً لمعادلة (4.83) تكتب على الصورة :

$$\psi_{II} = C e^{-k_2 x}$$

وهذا بدوره يعنى وجود كثافة احتمال للتواجد فى المنطقة الثانية قدرها $|\psi_{II}|^2$ وهذا التناقض الظاهرى يتلاشى ويمكن فهمه عند حساب قيمة $|\psi_{II}|^2$ حيث نجد أنها متناهية الصغر وتؤول للصفر كما يتضح من العلاقة العددية التالية :

لنفرض ان فى حالة حزمة الكترونية $(V_0 - E)$ يساوى 1 الكترون فولت

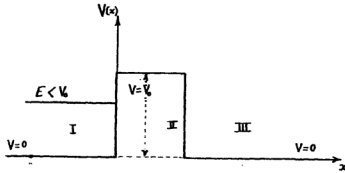
$$\begin{aligned} \therefore k_2 &= \frac{2m(V_0 - E)}{h^2} = \frac{2 \times 9.1 \times 10^{-31} \times 1 \times 1.6 \times 10^{-19}}{(1.05 \times 10^{-34})^2} \\ &= k_2 = 10^9 \end{aligned}$$

فيكون كثافة الاحتمال :

$$\therefore |\psi_{II}|^2 \sim e^{-k_2 x} \simeq 0$$

حركة جسم (أو حزمة من الجسيمات) تجاه هضبة جهدية (تأثير النفق)

The Tunnel Effect



شكل (٦-٤) رسم توضيحي للهضبة الجهدية •

في الشكل (٤ - ٦) موضح حيز مقسم الى ثلاث مناطق :

المنطقة الاولى I : وفيها تتحرك حزمة من الجسيمات المتجانسة من اليسار الى اليمين تجاه هضبة جهدية ارتفاعها V_0 بطاقة حركة تساوى الطاقة الكلية E لان قيمة $V(x)$ تساوى صفرا .

المنطقة الثانية II : وهي تمثل الحيز الذى تشغله الهضبة الجهدية وهي تمتد من $x = 0$ الى $x = a$ وتحرك فيها الجسيمات بطاقة حركة تساوى $(E - V_0)$ اى سالبة لان V_0 اكبر من E .

المنطقة الثالثة III : وهي تمثل الحيز الذى يمتد لجسيم قيم x اكبر من a وفيها تتحرك الجسيمات بطاقة حركة تساوى الطاقة الكلية E لان قيمة الجهد V تساوى صفرا . تماثل المنطقة الاولى .

اتضح لنا من دراسة السلة الجهدية في حالة طاقة الوضع V_0 اكبر من الطاقة الكلية E ان معامل النفاذية للجسيمات القادمة تجاهها يساوى صفرا . ولكن سيتضح لنا من المعالجة الكمية للحركة لايساوى صفرا وهذا معناه ان نسبة معينة من الجسيمات سوف تنفذ الى المنطقة الثالثة وتحرك فيها وسبب ذلك ان الهضبة الجهدية تتميز باتساع محدد بخلاف حالة السلة الجهدية التى فيها يتقسم الحيز الى منطقتين فقط عند x تساوى صفرا . وكما هو متبع فان معادلة شرودنجر تأخذ الصور التالية لهذه المناطق الثلاث :

في المنطقة I :

$$\frac{d^2 \psi_I}{dx^2} + k^2 \psi_I = 0 \quad (4.91)$$

$$k = \sqrt{\frac{2mE}{\hbar^2}} \quad (4.92) \quad \text{حيث}$$

في المنطقة II :

$$\frac{d^2 \psi_{II}}{dx^2} - k_0^2 \psi_{II} = 0 \quad (4.93)$$

$$k_0 = \sqrt{\frac{2m(V_0 - E)}{\hbar^2}} \quad (4.94) \quad \text{حيث}$$

في المنطقة III :

$$\frac{d^2 \psi_{III}}{dx^2} + k^2 \psi_{III} = 0 \quad (4.95)$$

وحلول تلك المعادلات على التوالي هي :

$$\psi_I = A_1 e^{ikx} + B_1 e^{-ikx} \quad (4.96)$$

$$\psi_{II} = A_2 e^{+k_0 x} + B_2 e^{-k_0 x} \quad (4.97)$$

$$\psi_{III} = A_3 e^{ikx} \quad (4.98)$$

في المعادلة الأخيرة (4.98) مرة أخرى اكتفينا بالحد $A_3 e^{ikx}$ وهو يمثل الحركة الموجية للجسيمات التي نفدت خلال الهبة متحركة جهة اليمين ولا يوجد في هذه المنطقة III منابع لجسيمات تتحرك مرتدة نحو الهبة في الاتجاه العكس. وواضح ان انحذارات تلك الدوال ψ_I ، ψ_{II} ، ψ_{III} هي :

$$\psi'_I = ikA_1 e^{ikx} - ikB_1 e^{-ikx} \quad (4.99)$$

$$\psi'_{II} = k_0 A_2 e^{+k_0 x} - k_0 B_2 e^{-k_0 x} \quad (4.100)$$

$$\psi'_{III} = ik A_3 e^{ikx} \quad (4.101)$$

ويمكننا الان تعريف معامل النفاذية T للهبة الجهدية بالنسبة للجسيمات القادمة تجاهها كما يلي :

$T = \frac{\text{عدد الجسيمات التي تنفذ الى المنطقة الثالثة}}{\text{عدد الجسيمات القادمة تجاه الهبة في المنطقة الاولى}}$

$$= \frac{|\psi_{III}|^2 v_1}{|A_1 e^{ikx}|^2 v_1}$$

$$\therefore T = \frac{|A_3|^2}{|A_1|^2} \quad (4.102)$$

وعلى ذلك علينا الآن الاستفادة من الشروط الحدية للدوال ψ_I ، ψ_{II} ، ψ_{III} وانحداراتها (ψ'_{III} ، ψ'_{II} ، ψ'_{I}) عند الحدين $x = 0$ ، $x = a$ لحساب معامل النفاذية T كما يلي :

$$\begin{aligned} (\psi_I)_{x=0} &= (\psi_{II})_{x=0} & (\psi'_I)_{x=0} &= (\psi'_{II})_{x=0} \\ (\psi_{II})_{x=a} &= (\psi_{III})_{x=a} & (\psi'_{II})_{x=a} &= (\psi'_{III})_{x=0} \end{aligned}$$

$$\therefore A_1 + B_1 = A_2 + B_2 \quad (4.103)$$

$$ikA_1 - ikB_1 = k_0A_2 - k_0B_2 \quad (4.104)$$

$$A_2 e^{k_0a} + B_2 e^{-k_0a} = A_3 e^{ika} \quad (4.105)$$

$$k_0A_2 e^{k_0a} - k_0B_2 e^{-k_0a} = ikA_3 e^{ika} \quad (4.106)$$

بضرب المعادلة (4.103) في ik نحصل على :

$$ikA_1 + ikB_1 = ikA_2 + ikB_2 \quad (4.107)$$

اذن بجمع (4.107) و (4.104) نحصل على :

$$A_1 = \frac{1}{2} \left(1 + \frac{k_0}{ik}\right) A_2 + \frac{1}{2} \left(1 - \frac{k_0}{ik}\right) B_2 \quad (4.108)$$

والان من معادلة (4.105) ، (4.106) نحاول ان نشتق تعبيراً لكل ———
 A_2 ، B_2 بدلالة A_3 ثم نعوض بهما في معادلة (4.108) لنحصل على
 معادلة تربط بين A_1 ، A_3 بدلالة الثوابت الخاصة بالمسألة الفيزيائية التي
 ندرسها . ويتم ذلك على النحو التالي :

بضرب (4.105) في k_0 نحصل على :

$$k_0 A_2 e^{k_0 a} + k_0 B_2 e^{-k_0 a} = k_0 A_3 e^{ika} \quad (4.109)$$

مجمع (4.109) ، (4.106) نحصل على

$$A_2 = \frac{1}{2} \left(1 + \frac{ik}{k_0} \right) A_3 e^{ika - k_0 a} \quad (4.110)$$

من (4.106) ، (4.109) نحصل على :

$$B_2 = \frac{1}{2} \left(1 - \frac{ik}{k_0} \right) A_3 e^{ika + k_0 a} \quad (4.111)$$

والتعويض من (4.110) ، (4.111) في المعادلة (4.108) نحصل على :

$$\begin{aligned} A_1 &= \frac{1}{2} \left(1 - \frac{ik_0}{k} \right) \left[\frac{1}{2} \left(1 + \frac{ik}{k_0} \right) A_3 e^{ika - k_0 a} \right] \\ &\quad + \frac{1}{2} \left(1 + \frac{ik_0}{k} \right) \left[\frac{1}{2} \left(1 - \frac{ik}{k_0} \right) A_3 e^{ika + k_0 a} \right] \\ &= \frac{1}{4} A_3 e^{ika} \left[\left(2 + i \left(\frac{k}{k_0} - \frac{k_0}{k} \right) \right) e^{-k_0 a} \right. \\ &\quad \left. + \left(2 - i \left(\frac{k}{k_0} - \frac{k_0}{k} \right) \right) e^{+k_0 a} \right] \end{aligned}$$

$$\begin{aligned} \therefore \left| \frac{A_1}{A_3} \right|^2 &= \frac{1}{T} = \frac{1}{16} \frac{k^2}{k_0^2} \left[\left(2 \frac{k_0}{k} + i \left(1 - \frac{k_0^2}{k^2} \right) \right) e^{-k_0 a} \right. \\ &\quad \left. + \left(2 \frac{k_0}{k} - i \left(1 - \frac{k_0^2}{k^2} \right) \right) e^{+k_0 a} \right] + \\ &\quad \left[\left(2 \frac{k_0}{k} - i \left(1 - \frac{k_0^2}{k^2} \right) \right) e^{-k_0 a} \right. \\ &\quad \left. + \left(2 \frac{k_0}{k} + i \left(1 - \frac{k_0^2}{k^2} \right) \right) e^{+k_0 a} \right] \quad (4.112) \end{aligned}$$

وهذا هو التعبير العام لمقلوب معامل النفاذية ، وحيث أنه في معظم السائل
اللزجائية التي يحدث فيها هذا التأثير النقي يكون سمك الجدار الجهدى (سمك
الهضبة) a كبيراً بالنسبة لطول موجة دي برولى للجسيم فى المنطقة II
لذا يمكننا اختزال (4.112) الى الصورة التالية :

$$\begin{aligned} \frac{1}{T} &= \frac{1}{16} \frac{k^2}{k_0^2} \left[e^{2k_0 a} \left(4 \left(\frac{k_0}{k} \right)^2 + \left(1 - \frac{k_0^2}{k^2} \right)^2 \right) \right] \\ &= \frac{1}{16} \frac{k^2}{k_0^2} \left[4 \left(\frac{k_0}{k} \right)^2 + 1 + \frac{k_0^4}{k^4} - 2 \frac{k_0^2}{k^2} \right] e^{2k_0 a} \\ &= \frac{1}{16} \frac{k^2}{k_0^2} \left(1 + \frac{k_0^2}{k^2} \right)^2 e^{2k_0 a} \end{aligned}$$

$$\therefore T = 16 \frac{k_0^2}{k^2} e^{-2k_0 a} \left(1 + \frac{k_0^2}{k^2} \right)^{-2}$$

والتحيز عن كل من k_0 ، k بدلالة E ، v_0 نحصل على :

$$\begin{aligned}
 T &= 16 \frac{\frac{2m(V_0 - E)}{\hbar^2}}{\frac{2mE}{\hbar^2}} \left[1 + \frac{\frac{2m(V_0 - E)}{\hbar^2}}{\frac{2mE}{\hbar^2}} \right]^{-2} e^{-2k_0 a} \\
 &= 16 \cdot \frac{V_0 - E}{E} \left[1 + \frac{V_0 - E}{E} \right]^{-2} e^{-2k_0 a} \\
 &= 16 \cdot \frac{V_0 - E}{E} \left[\frac{E + V_0 - E}{E} \right]^{-2} e^{-2k_0 a} \\
 &= 16 \cdot \frac{V_0 - E}{E} \left[\frac{E^2}{V_0^2} \right] e^{-2k_0 a} \\
 \therefore T &= 16 \left(1 - \frac{E}{V_0} \right) \frac{E}{V_0} e^{-2k_0 a} \quad (4.113)
 \end{aligned}$$

$$\therefore T = 16 \left(1 - \frac{E}{V_0} \right) \frac{E}{V_0} e^{-\frac{2a}{\hbar} \sqrt{2m(V_0 - E)}} \quad (4.114)$$

شال (٤ - ١) :

احسب مستويات الطاقة الثلاث الاولى لحركة الكتون داخل ذرته الأم عيسى
فرض ان تلك الحركة تماثل تقريباً حركة جسيم داخل صندوق مغلق وفرض ان قطر
الذرة يساوى ٢,٥ أنجستروم . ثم احسب الطول الموجى للاشعاع الكهرومغناطيسى
الذى ينجم نتيجة انتقال مثل هذا الالكترون من المستوى الثالث الى المستوى الاول .
كرر حل المسألة بالنسبة لحركة نيوكليون داخل نواة الذرة وفرض ان قطر النواة
يساوى ٢,٥ فيرمى .

الحل :

علما ان مستوى الطاقة E_n المقابل لعدد الكم n لحركة جسيم داخل صندوق تعطى بالعلاقة :

$$E_n = \frac{\pi^2 \hbar^2}{8 m a^2} \cdot n^2 \quad \text{--(1)}$$

إذا بالنسبة لحركة الإلكترون داخل ذرته يكون :

$$E_n = \frac{(3.14)^2 \cdot (1.05 \times 10^{-34} \text{ J.s})^2}{8 \cdot (9.1 \times 10^{-31} \text{ kg}) \cdot (2.5 \times 10^{-10} \text{ m})^2} \cdot n^2 \quad \text{--(2)}$$

$$\begin{aligned} \therefore E_n &= \frac{10.87 \times 10^{-68} \cdot n^2}{4.55 \times 10^{-49}} = (2.39 \times 10^{-19}) \cdot n^2 \text{ J} \\ &= 1.49 n^2 \text{ eV} \end{aligned}$$

$$\therefore E_1 = 1.49 \text{ eV}$$

$$, E_2 = 1.49 \times 4 = 5.96 \text{ eV}$$

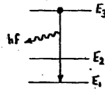
$$, E_3 = 1.49 \times 9 = 13.41 \text{ eV}$$

$$\therefore E_3 - E_1 = 13.41 - 1.49 = 11.92 \text{ eV} = hf = hc/\lambda$$

إذا الطول الموجي للأشعاع الكهرومغناطيسي المنبعث نتيجة انتقال الإلكترون من المستوى الثالث إلى المستوى الأول λ حيث :

$$\lambda_{\text{atomic}} = \frac{hc}{11.92 \times 1.6 \times 10^{-19}} = 1.04 \times 10^{-7} \text{ m} = 1040 \text{ \AA}$$

وبالمثل بالنسبة لحركة النيوكليون داخل النواة فان :



$$E_n = \frac{(3.14)^2 \cdot (1.05 \times 10^{-34})^2 \cdot n^2}{8 (1.67 \times 10^{-27} \text{ kg}) (2.5 \times 10^{-15} \text{ m})} = (1.3 \times 10^{-12}) \cdot n^2$$

$$= 8.13 \text{ n}^2 \text{ Mev}$$

$$\therefore E_1 = 8.13 \text{ Mev}$$

$$E_2 = 32.52 \text{ Mev}$$

$$E_3 = 73.17 \text{ Mev}$$

$$\therefore E_3 - E_1 = 65.04 \text{ Mev} = 1.041 \times 10^{-11} \text{ J}$$

$$\therefore \lambda_{\text{nuclear}} = 1.8 \times 10^{-14} \text{ m} = 8 \text{ Permis}$$

ومن هذا المثال التوضيحي نجد أن قيم مستويات الطاقة لحركة النيوكليونات داخل النواة حوالي مليون مرة مثلتها لحركة الإلكترونات داخل الذرة الأم، وهذا يفسر سبب أن الطاقة النووية أكبر بملايين المرات الطاقة الكيميائية .

مثال (٤ - ٧) :

جسيم ألفا حر الحركة في اتجاه مفرد داخل صندوق جهد أوجد :

أ - القيم الذاتية للطاقة للمستويات الثلاث الأولى إذا كان اتساع الصندوق $a = 2 \text{ سم}$ ونافذ النتيجة .

ب - القيم الذاتية للطاقة للمستويات الثلاث الأولى إذا كان اتساع الصندوق $a = 1,1 \text{ فيرمي}$ ونافذ النتيجة أيضا .

ثم أوجد بالنسبة للحالة الثانية (ب) ما يأتي : احتمال تواجد جسيم ألفا ذي المستوى الأدنى للطاقة عند الموضع x حيث x تقع في المدى

$$\frac{a}{3} < x < \frac{2a}{3}$$

الحل :

أ - عندما يكون اتساع الصندوق ٢ سم

$$E_n = \frac{\pi^2 \hbar^2}{8 m a^2} = \frac{(3.14)^2 \cdot (1.05 \times 10^{-34})^2 \cdot n^2}{8 \cdot (6.68 \times 10^{-27}) \cdot (0.02)^2}$$

$$= (0.51 \times 10^{-38}) n^2 \text{ J} = (0.32 \times 10^{-19}) n^2 \text{ eV}$$

وبماض ان قيم مستويات الطاقة صغيرة جدا وبالتالي الفروق بينها تكاد تكون
متعددة • مكونة شريطا متصلا من الطاقة •

ب - عندما يكون اتساع صندوق الجهد ١,٦ ميمى فان :

$$E_n = \frac{(3.14)^2 \cdot (1.05 \times 10^{-34})^2 \cdot n^2}{8 \cdot (6.68 \times 10^{-27}) \cdot (6.1 \times 10^{-15})^2}$$

$$= (0.55 \times 10^{-13}) n^2 \text{ J} = 0.34 n^2 \text{ MeV}$$

$$E_1 = 0.34 \text{ MeV}$$

$$E_2 = 1.36 \text{ MeV}$$

$$E_3 = 3.06 \text{ MeV}$$

ويتضح من هذه النتيجة فى هذه الحالة ان مستويات الطاقة لها قيم داخل
مدى طاقات الجسيمات النووية • كما يتضح ان الفروق بينها يمكن تمييزها عن
بعضها •

وبالنسبة لاحتمال تواجد جسيم الفا فى المدى $a/3$ • $a/3$:

$$P = \int_{a/3}^{2a/3} \psi_n^* \psi_n dx$$

حيث

$$\psi_n = \sqrt{\frac{2}{a}} \sin \frac{n\pi}{a} x$$

$$\therefore \psi_1 = \sqrt{\frac{2}{a}} \sin \frac{\pi x}{a}$$

إذا احتمال التواجد هو :

$$\begin{aligned} P &= \frac{2}{a} \int_{a/3}^{2a/3} \sin^2 \frac{\pi x}{a} dx \\ &= \frac{2}{a} \int_{a/3}^{2a/3} \frac{1}{2} (1 - \cos \frac{2\pi x}{a}) dx \\ &= \frac{1}{a} \left\{ (x) - \frac{a}{2\pi} \sin \frac{2\pi x}{a} \right\}_{a/3}^{2a/3} = 0.609 \end{aligned}$$

مثال (٤ - ٢) :

حزمة الكهرونية طاقة حركتها ٢٠ إلكترون فولت متجهة ناحية ملء جهد يساوي
ارتفاعها ١٢ إلكترون فولت . احسب كلا من معامل الانعكاسية R ومعامل
النفذية T .

الحل :

رأيتا ان :

$$k = \frac{k_1 - k_2}{k_1 + k_2}^2, \quad T = \frac{4 k_1^2}{(k_1 + k_2)^2}$$

- ١٠٢ -

حيث

$$k_1 = \frac{2mE}{h^2}$$

$$= \frac{2 \cdot (9.1 \times 10^{-31}) \cdot (20 \times 1.6 \times 10^{-19})}{(1.05 \times 10^{-34})^2} = 2.298 \times 10^{10} \text{ m}^{-1}$$

$$k_2 = \sqrt{\frac{2m(E-V)}{h^2}} = 1.454 \times 10^{10} \text{ m}^{-1}$$

$$\therefore R = \frac{(2.298 - 1.454)^2}{2.298 + 1.454} = 0.051$$

$$T = \frac{4 \times 2.298 \times 1.454}{(3.752)^2} = 0.949$$

شال (٤ - ٤) :

إذا كانت دالة الجهد $V(x)$ تساوى صفراً للقيم أقل من 0 وبينما
تساوى V_0 للقيم x أكبر من 0. أثبت أن $\psi(x)$ تؤول للصفر عندما
 V_0 تؤول إلى ما لا نهاية.

الحل :

بما أن $V(x)$ تساوى صفراً في حالة $x < 0$ ، تساوى V_0 في حالة
 $x > 0$ فإن معادلة شرودنجر تأخذ صورتين التاليتين :

$$\frac{d^2\psi}{dx^2} + \frac{2mE}{h^2} \psi = 0 \quad x < 0 \quad \text{عندما تكون}$$

$$\frac{d^2\psi}{dx^2} - \frac{2m}{h^2} (V_0 - E) \psi = 0 \quad x > 0 \quad \text{وعندما تكون}$$

وعلى فرض ان $0 < E < V_0$ فان حلولها هي :

$$\psi = A \cos kx + B \sin kx \quad x < 0 \quad \text{عندما تكون}$$

$$\psi = C e^{-Kx} \quad x > 0 \quad \text{عندما تكون}$$

$$k^2 = \frac{2mE}{\hbar^2} \quad \text{حيث}$$

$$K^2 = \frac{2m}{\hbar^2} (V_0 - E)$$

وبالاستفادة من خاصية الاستمرارية للدالة ψ ومشتقتها الاولى عند $x = 0$ نجد ان :

$$A = C$$

$$, \quad kB = -KC$$

فاذا قيَّمت V_0 من ∞ تقرب K بالتالى من ∞ وعليه فان C يجب ان تقرب من الصفر لنضمن ان يكون الحل الخاص بالمنطقة $x < 0$ محدد ومعنى ذلك :

$$x \geq 0 \quad \text{عند}$$

$$\psi = C e^{-Kx} = 0$$

اي تتلاشى الدالة ψ في هذا المدى .

شال (٤ - ٥) :

اثبت ان الحليين العامين

$$u(x) = A \cos kx + B \sin kx \quad (a)$$

$$u(x) = C e^{-ikx} + D e^{-ikx} \quad (b)$$

لا يحققان شرط المعايير لدوال الحالة .

الحل :

نمعا لشرط المعايير فان :

$$\int_{-\infty}^{\infty} u^*(x) u(x) dx = 1$$

ولكن بالنسبة للحل (a) نجد ان :

$$\begin{aligned} & \int_{-\infty}^{\infty} (A \cos kx + B \sin kx)^2 dx \\ &= \int_{-\infty}^{\infty} (A^2 \cos^2 kx + B^2 \sin^2 kx + 2 AB \sin kx \cdot \cos kx) dx \\ &= A^2 \int_{-\infty}^{\infty} \frac{1}{2} (1 + \cos 2 kx) + B^2 \int_{-\infty}^{\infty} \frac{1}{2} (1 - \cos 2 kx) dx \\ & \quad + \frac{2 AB}{k} \int_{-\infty}^{\infty} \sin kx d(\sin kx) \\ &= A^2 \int_0^{\infty} (1 + \cos 2 kx) dx + B^2 \int_0^{\infty} (1 - \cos 2 kx) dx \\ & \quad + \frac{2 AB}{k} \int_{-\infty}^{\infty} \sin kx d(\sin kx) \end{aligned}$$

- ١٠٥ -

$$\begin{aligned}
 &= 2 A^2 \left[x + \frac{1}{2k} (\sin 2 kx) \right]_0^\infty \\
 &+ B^2 \left[x - \frac{1}{2k} (\sin 2 kx) \right]_0^\infty \\
 &+ \frac{2 AB}{k} \left[\frac{1}{2} \sin^2 kx \right]_{-\infty}^\infty = \infty
 \end{aligned}$$

$$\therefore \int_{-\infty}^{\infty} u^*(x) \cdot u(x) dx \neq 1$$

• أى أن هذا الحل لا يحقق شرط المعاييرة
وبالمثل بالنسبة للحل الآخر نجد أن :

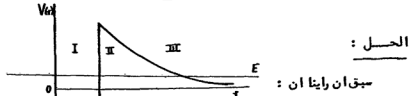
$$\begin{aligned}
 &\int_{-\infty}^{\infty} (C e^{+ikx} + D e^{-ikx}) (C e^{+ikx} + D e^{-ikx}) dx \\
 &= \int_{-\infty}^{\infty} (C^2 + D^2 + 2 CD) dx = \infty \neq 1
 \end{aligned}$$

• هذا الحل أيضا لا يحقق شرط المعاييرة

وهذا المثال يوضح لنا أن شرط المعاييرة للدالة الموجية مرتبط ارتباطا وثيقا
بالشروط الحدية الخاصة بالمجموعة الفيزيائية التي تمثلها تلك الدالة •

شال (٤ - ٦) :

استنتج التعبير الظاهر بمعامل النفاذية للهبضية الموضحة بالشكل ثم طبق النتيجة
التي تحصل عليها لشرح انطلاق جسيمات الفا من أنوية العناصر المشعة ثم احسب
كذلك (بالتقريب) متوسط العمر لعنصر مشع $^{216}_{82}\text{X}$ تبعت منه جسيمات الفا ذات
طاقة حرة تساوى ٨.٥ مليون إلكترون فولت لكل منها •



الحل :

سبق ان رأينا ان :

$$|T|^2 = \left(\frac{2kK}{k^2 + K} \right)^2 e^{-4Ka} = T \quad \text{معامل النفاذية}$$

$$\therefore T = 16 \cdot \frac{E}{V_0} \left(1 - \frac{E}{V_0} \right) e^{-2 \frac{a}{h} \sqrt{2m(V_0 - E)}}$$

وبما ان معدل التآكل الاشعاعى كل ثانية يتناسب مع عدد الانوية الشعة الموجودة تبعاً للقانون :

$$\frac{dN}{dt} = - \lambda N$$

فان ثابت التآكل λ يمثل احتمال اى من الانوية الموجودة للتآكل خلال وحدة الزمن . وهذا بالتالى معناه ان يفرض ان جميع الفا قبل انطلاقه من النواة الام كان موجودا طوال الوقت داخلها وتحركا داخل حيزها بسرعة v فانه يصطدم بجدارها الداخلى عددا من المرات كل ثانية مساويا $(v/2R)$ حيث $2R$ قطر النواة . وحيث ان فى كل مرة هناك احتمال لنفاذه مساويا T اذا احتمال انطلاق الجسم الفا فى الثانية الواحدة (اى احتمال اى من الانوية الموجودة للتآكل λ) هو :

$$\lambda = \frac{v}{2R} T$$

اذا متوسط عمر النظير الشع لجسيمات الفا هو :

$$\bar{t} = \frac{1}{\lambda} = \frac{2R}{v} \cdot \frac{1}{T}$$

وفى هذه المسألة لدينا :

$$- 1.7 -$$

$$2 R = 2 (r_0 A^{1/3}) = 2 (1.25 \times 10^{-15} \text{ m}) (216)^{1/3}$$

$$= 1.5 \times 10^{-14} \text{ m}$$

$$, v = \sqrt{\frac{2 \times 5.8 \times 1.6 \times 10^{-13}}{6.58 \times 10^{-27}}} = 1.67 \times 10^7 \text{ m.s}^{-1}$$

$$, \tau = 16 \cdot \frac{E}{V_0} \cdot \left(1 - \frac{E}{V_0}\right) e^{-2 \frac{a}{\hbar}} \sqrt{2m(V_0 - E)}$$

حيث

$$E = 5.8 \text{ Mev} = 5.8 \times 10^6 \times 1.6 \times 10^{-19} \text{ J}$$

$$V_0 = \frac{1}{4 \pi \epsilon_0} \cdot \frac{(2e)(Ze)}{R}$$

$$= 9 \times 10^9 \frac{(2 \times 1.6 \times 10^{-19}) \cdot (82 \times 1.6 \times 10^{-19})}{0.75 \times 10^{-14}}$$

$$= 5.038 \times 10^{-12} \text{ J} = 31.5 \text{ Mev}$$

$$\therefore \bar{t} = 10^{-19} \text{ sec}$$

مثال (٤ - ٧) :

وضع انه في اى مسألة في ميكانيكا الكم تتصف بحركة جسيم في بعد واحد فبان طيف مستويات الطاقة للحالات الكمية المرتبطة (الغير حرة) يتميز بعدم الانتظام .

الحل :

لتفرض ان العكس هو الواقع الحقيقي فمعنى ذلك انه اذا كانت $\psi_1(x)$ ،
 $\psi_2(x)$ دالتين موجبتين مستقلتين استقلالاً خطياً وتنتهيان لنفس مستوى الطاقة
 ذى القيمة الذاتية E . ومعنى ذلك :

$$\frac{d^2\psi_1}{dt^2} + \frac{2m}{h^2} (E - V) \psi_1 = 0$$

$$\frac{d^2\psi_2}{dt^2} + \frac{2m}{h^2} (E - V) \psi_2 = 0$$

تؤديان الى :

$$\frac{\psi_1''}{\psi_1} = \frac{\psi_2''}{\psi_2} = \frac{2m}{h^2} (V - E)$$

أى ان :

$$\psi_1'' \psi_2 - \psi_2'' \psi_1 = (\psi_1' \psi_2)' - (\psi_2' \psi_1)' = 0$$

وباجراء التكامل :

$$\psi_1' \psi_2 - \psi_2' \psi_1 = a \text{ constant}$$

وحيث انه عند $x \rightarrow \infty$ تتلاشى كل من ψ_1 ، ψ_2 (حالات مرتبطة)
 فهذا معناها أن الثابت في المعادلة الاخيرة يجب ان يساويه بالصفر

$$\therefore \frac{\psi_1'}{\psi_1} = \frac{\psi_2'}{\psi_2}$$

وبإجراء التكامل مرة أخرى

$$\therefore \psi_1 = C \cdot \psi_2$$

وهذا يتعارض مع الفرض الذي بدأنا به وهو عدم اعتماد ψ_1 ، ψ_2 على بعضهما
اعتمادا خطيا . وعلى ذلك فإن ψ_1 ، ψ_2 يجب ان تتميز بعدم الارتباط .

مثال (٤ - ٨) :

عُيِّن مستويات الطاقة الذاتية وكذلك الدوال الاربينية القابلة لجسيم يتحرك
داخل مكعب طول ضلعه L يتصف بجهد مميز بالشروط الحدية التالية :

$$V(x,y,z) = 0 \quad , \quad 0 < x < L ; \quad 0 < y < L ; \quad 0 < z < L ,$$

$= \infty$ خارج الصندوق

الحل :

معادلة شرودنجر داخل المكعب حيث الجهد V يساوى صفرا هي :

$$\frac{\partial^2 \psi}{\partial x^2} + \frac{\partial^2 \psi}{\partial y^2} + \frac{\partial^2 \psi}{\partial z^2} + \frac{2mE}{\hbar^2} \psi(x,y,z) = 0$$

وباستخدام طريقة فصل المتغيرات مع وضع الدالة ψ في الصورة :

$$\psi(x,y,z) = X(x) Y(y) Z(z)$$

نحصل على المعادلة :

$$\left[\frac{1}{X(x)} \frac{d^2 X}{dx^2} \right] + \left[\frac{1}{Y(y)} \frac{d^2 Y}{dy^2} \right] + \left[\frac{1}{Z(z)} \frac{d^2 Z}{dz^2} \right] = - \frac{2mE}{\hbar^2}$$

ونلاحظ في الطرف الايمن منها ان الحد الاول هو دالة للمتغير x فقط ، الثاني دالة للمتغير y فقط والثالث دالة للمتغير z فقط بينما الطرف الايمن منها مستقل عن المتغيرات الثلاث z, y, x . وعلى ذلك فان كل حد داخل قوسين مربعين يجب ان يساوى ثابت على حدة ولكن كما يلى :

$$\frac{1}{x} \frac{d^2 x}{dx^2} = -k_x^2 \quad , \quad \therefore X(x) = \sqrt{\frac{2}{L}} \sin \frac{n_x \pi}{L} x$$

$$\frac{1}{y} \frac{d^2 y}{dy^2} = -k_y^2 \quad , \quad \therefore Y(y) = \sqrt{\frac{2}{L}} \sin \frac{n_y \pi}{L} y$$

$$\frac{1}{z} \frac{d^2 z}{dz^2} = -k_z^2 \quad , \quad \therefore Z(z) = \sqrt{\frac{2}{L}} \sin \frac{n_z \pi}{L} z$$

$$\begin{aligned} \frac{2}{\hbar^2} E &= k_x^2 + k_y^2 + k_z^2 && \text{ كما أتى :} \\ &= \left(\frac{n_x \pi}{L} \right)^2 + \left(\frac{n_y \pi}{L} \right)^2 + \left(\frac{n_z \pi}{L} \right)^2 \end{aligned}$$

$$\therefore E = \frac{\hbar^2 \pi^2}{2 m L^2} \left[n_x^2 + n_y^2 + n_z^2 \right]$$

$$= X(x) Y(y) Z(z)$$

$$= \sqrt{\frac{8}{L^3}} \sin \frac{n_x \pi}{L} \sin \frac{n_y \pi}{L} \sin \frac{n_z \pi}{L}$$

مثال (١-١) :

جسيم يتحرك داخل صندوق طول ضلعه L ويمثل بدالة موجية :

$$\psi = \frac{1}{\sqrt{L^3}} e^{ik \cdot r}$$

بشروط حدية :

$$\psi(x=0, y, z) = \psi(x=L, y, z)$$

$$\psi(x, y=0, z) = \psi(x, y=L, z)$$

$$\psi(x, y, z=0) = \psi(x, y, z=L)$$

استنتج علاقة تسمى عدد الحالات البرجية للجسيم في وحدة الحجم داخل هذا الصندوق *

الحل :

$$\psi = \psi(x, y, z) \quad \text{حيث ان :}$$

إذا بتابع أسلوب فصل المتغيرات لحل معادلة شرودنجر :

$$\nabla^2 \psi(x, y, z) + \frac{2mE}{\hbar^2} \psi(x, y, z) = 0$$

نستخرج ان :

$$\psi = \frac{1}{L^3} \sin \frac{2\pi n_x}{L} x \sin \frac{2\pi n_y}{L} y \sin \frac{2\pi n_z}{L} z$$

$$= \frac{1}{L^3} \sin k_x x \sin k_y y \sin k_z z$$

حيث تأخذ الأعداد n قيما صحيحة موجبة أو سالبة .
 وحيث أن عدد الحالات الموجية التي تقع المركبة العنينة للعدد الموجى k بـ (k_x) ، $(k_x + dk_x)$ يكون مساويا للأعداد n_x التي تقع بـ $(\frac{L}{2\pi} k_x)$ ، $(\frac{L}{2\pi} (k_x + dk_x))$ أى مساويا تقريبا للعدد $\frac{L}{2\pi} dk_x$.
 إذاً عدد الحالات الموجية التي تقع فى المدى $dk_x dk_y dk_z$ للعدد الموجى k هو

$$(\frac{L}{2\pi})^3 dk_x dk_y dk_z$$

وإذا رمزنا بالرمز $g(k, \Omega) dk d\Omega$ لعدد الحالات التي يقع العدد الموجى k بين k و $k + dk$ خلال الزاوية المجسمة $d\Omega$ فإن:

$$g(k, \Omega) dk d\Omega = (\frac{L}{2\pi})^3 k^2 dk d\Omega$$

$$= \frac{V}{8\pi^3} k^2 dk \sin \theta d\theta d\phi$$

$$E = \frac{\hbar^2 k^2}{2m} ; dE = \frac{\hbar^2 k}{m} dk \quad \text{وبما أن :}$$

$$\therefore g(E, \Omega) dE d\Omega = \frac{V}{16\pi^3 \hbar^3} (2m)^{3/2} E^{1/2} dE d\Omega$$

$$\rho(E) = g(E, \Omega) d\Omega \quad \text{وإذا فرضنا}$$

$$\therefore \rho(E) = \frac{V}{16\pi^3 \hbar^3} (2m)^{3/2} E^{1/2} d\Omega$$

$$= \frac{m V}{8\pi^3 \hbar^2} k d\Omega$$

بينما العدد الكلي للحالات بين الطاقة E و الطاقة $E + dE$ يمكننا الحصول عليه بإجراء التكامل على الزاوية الموجهة :

$$g(E) dE = \frac{V}{16 \pi^3 h^3} (2m)^{3/2} E^{1/2} dE \cdot 4\pi$$

$$\therefore g(E) dE = \frac{V}{4 \pi^2 h^3} (2m)^{3/2} E^{1/2} dE$$

ملحوظة : نفس هذه النتيجة نحصل عليها عند حساب كثافة عدد حالات الكم $g(E) dE$ لجسيم يتحرك داخل صندوق يتميز بأن الجهد عند جدرانته يقرب من صفر لانتهاء بمعنى ان دالة الحالة تختفي عند الجدران مع ملاحظة ان القيم k_x و k_y و k_z المسموح بها في هذه الحالة هي :

$$k_x = \frac{\pi n_x}{L}, \quad k_y = \frac{\pi n_y}{L}, \quad k_z = \frac{\pi n_z}{L}$$

حيث الاعداد n_x و n_y و n_z تأخذ فقط قيماً صحيحة موجبة .

مثال (٤ - ١٠) :

من المثال السابق وعلى اختيار ان الالكترونات في المعادن تتحرك بحرية فسي ثلاث ابعاد داخل صندوق وعلى فرض ان احتمال ايجاد الكترون بطاقة E يعطى بالعلاقة :

$$F(E) = \frac{1}{1 + e^{(E-E_F)/kT}}$$

استنتج علاقة لحساب E_F عندما تكون قيمة E_F اكبر بكثير من kT

الحل :

من المثال السابق وجدنا ان :

$$g(E) = \frac{2 \cdot mV}{\pi^2 \hbar^3} (\frac{1}{2} mE)^{1/2}$$

وعليه فان عدد الالكترونات n في وحدة الحجم من المعدن هي :

$$\begin{aligned} n &= \frac{1}{V} \int_0^{\infty} g(E) \cdot F(E) \cdot dE \\ &= \frac{(2 \cdot m)^{3/2}}{2 \pi^2 \hbar^3} \int_0^{\infty} E^{1/2} \frac{1}{1 + e^{(E - E_F)/kT}} dE \end{aligned}$$

وعند $0 = T$ فان توزيع فيرمي $F(E)$ يكون عبارة عن توزيع درجي ويؤدي الى :

$$n = \frac{(2 \cdot m)^{3/2}}{2 \pi^2 \hbar^3} \int_0^{E_{F0}} E^{1/2} dE = \frac{(2 \cdot m)^{3/2}}{2 \pi^2 \hbar^3} (\frac{2}{3} E_{F0}^{3/2})$$

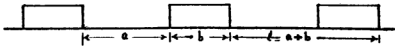
$$\therefore E_{F0} = \frac{\hbar^2}{2 \cdot m} (3 \pi^2 n)^{2/3} \quad (\sim 5 \text{ eV for Cu and Ag})$$

مثال (٤ - ١١) :

band theory of metal للواد الصلبة

في نظرية الشريطي

يقابل الفرد كثيرا جهد دورى يتميز بالشروط الحدية التالية :



$$V(x) = 0 \quad \text{عند} \quad (n-1)l + \frac{b}{2} < x < nl - \frac{b}{2}$$

$$V(x) = V_0 \quad \text{عند} \quad nl - \frac{b}{2} < x < nl + \frac{b}{2}$$

حيث $n = 0, \pm 1, \pm 2, \dots$ هو امتداد الحواجز الجهدية a ، امتداد الفاصل بينها b ، $l = a + b$

ويمكن وضع حل معادلة شرودنجر باعتبار الفاصل n كما يلي :

$$\psi(x) = A_n e^{ik(x-nl)} + B_n e^{-ik(x-nl)}$$

$$k^2 = \frac{2mE}{\hbar^2} \quad \text{حيث}$$

$$\begin{pmatrix} A_{n+1} \\ B_{n+1} \end{pmatrix} = \begin{pmatrix} Q_{11} & Q_{12} \\ Q_{21} & Q_{22} \end{pmatrix} \begin{pmatrix} A_n \\ B_n \end{pmatrix}$$

احسب عناصر المصفوفة الموضحة ووضح انها لا تعتمد على العدد n ثم وضح ان الحلول المقبولة يمكن الحصول عليها فقط عندما يكون

$$|\text{trace } Q| \leq 2$$

ثم استخدم هذه النتيجة لايجاد علاقة يمكن منها الحصول على مدى قيم الطاقة المسموح بها والغير مسموح بها .

الحل :

باستخدام شروط الاستمرارية لدوال الحالة نحصل على :

$$\begin{pmatrix} A_{n+1} \\ B_{n+1} \end{pmatrix} = \begin{pmatrix} Q_{11} & Q_{12} \\ Q_{21} & Q_{22} \end{pmatrix} \begin{pmatrix} A_n \\ B_n \end{pmatrix}$$

حيث

$$Q_{11} = Q_{22}^* = e^{ik(l-b)} \left[\cosh Kb - \frac{i\epsilon}{2} \sinh Kb \right]$$

$$Q_{12} = Q_{21}^* = -\frac{i\epsilon}{2} (\sinh Kb) e^{ikl}$$

$$k^2 = \frac{2mE}{\hbar^2} ; \quad K^2 = \frac{2m(V_0 - E)}{\hbar^2} \quad \text{وكما رأينا قبلًا :}$$

$$\epsilon = \frac{K}{k} - \frac{k}{K} \quad ; \quad \eta = \frac{K}{k} + \frac{k}{K} \quad \text{بينما}$$

وبما أن عناصر المصفوفة Q الموضحة لا تعتمد على العدد n إذا يمكننا وضع :

$$\begin{pmatrix} A_n \\ B_n \end{pmatrix} = \begin{pmatrix} Q_{11} & Q_{12} \\ Q_{21} & Q_{22} \end{pmatrix}^n \begin{pmatrix} A_0 \\ B_0 \end{pmatrix}$$

والقيم الايجينية للمصفوفة هي جذور المعادلة المميزة :

$$q^2 - q \operatorname{trace} Q + \det Q = 0$$

وبما أن $\det Q = 1$ فإن الجذور تعطى كما يلي :

$$q \pm = \frac{1}{2} \left[\operatorname{trace} Q \pm \sqrt{(\operatorname{trace} Q)^2 - 4} \right]$$

وإذا كانت الجذور مختلفة فإن زوج الاتجاهات الايجينية يكونان مستقلين خطياً ويمكن

وضع

$$\begin{pmatrix} A_0 \\ B_0 \end{pmatrix} = \begin{pmatrix} A_0^+ \\ B_0^+ \end{pmatrix} + \begin{pmatrix} A_0^- \\ B_0^- \end{pmatrix}$$

حيث (A_0^-) ، (A_0^+) هما الموجات الايجينية العاكسة للقيم الايجينية q_+ ، q_- على التوالي . وعلى ذلك :

$$\begin{pmatrix} A_n \\ B_n \end{pmatrix} = q_+^n \begin{pmatrix} A_0^+ \\ B_0^+ \end{pmatrix} + q_-^n \begin{pmatrix} A_0^- \\ B_0^- \end{pmatrix}$$

فإذا كان $|\text{trace } Q| > 2$ فإن q_+ ، q_- تكونان حقيقتان
وأيًا من $\lim_{n \rightarrow \infty} |q_+^n| \rightarrow \infty$ أو نهاية $|q_-^n| \leftarrow \infty$ ومثل هذه

الطول تتعارض مع شرط حسن سلوك دالة الطاقة . ولا يمكن $n \rightarrow \infty$ تحقيق
ذلك إلا إذا كان : $|\text{trace } Q| \leq 2$

وحيث ان $\text{trace } Q$ كمية حقيقية فيمكننا تعريف معامل Q بحيث

$$\cos \theta = \frac{1}{2} \text{trace } Q$$

$$(q_- = e^{-i\theta} , q_+ = e^{+i\theta} \text{ وكذلك})$$

$$\cos \theta = \cosh Kb \cos ka + \frac{\epsilon}{2} \sinh Kb \sin ka$$

ومن هذه المعادلة يمكننا الحصول على التركيب الشريطي للتركيب البللوري في بعض
واحد مثلاً : في حالة $E > V_0$ يلاحظ ان جميع قيم الطاقة التي تتقبل
 $ka = n\pi$ (حيث n عدد صحيح) غير ممكن بها فيزيائياً او عند حوافات
الترابط المسم بها . ومن خاصية استمرارية دوال الطاقة نستخلص اذا وجود مدى
طاقات ذات قيم غير ممكن بها بجانب القيم المحددة المسم بها تبعاً للمعادلة
اعلاه .

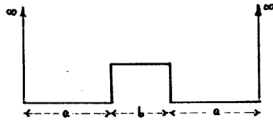
أما في حالة $E > V_0$ فإن شرط القيمة الايجينية يصبح :

$$\cos \theta = \cos k_1 b \cos ka - \frac{k_1^2 + k^2}{2 k k_1} \sin k_2 b \sin ka$$

$$k_1^2 = \frac{2m}{\hbar^2} (E - V_0) \quad \text{حيث}$$

• ونفس الأسلوب يمكننا تحديد مناطق الطاقة المسموح بها والغير مسموح بها .

شمال (٤-١٢) :



للجهد الموضح بالرسم الذي يتميز بالاتي :

$$V(x) = V_0 \quad \text{اذا كانت} \quad 0 < x < a+b$$

$$V(x) = 0 \quad \text{اذا كانت} \quad a+b < x < (2a+b) \quad 0 < x < a$$

$$V(x) = \infty \quad \text{اذا كانت} \quad a = x = (2a+b)$$

اوجد مستويات الطاقة لجسيم يتحرك داخل هذا الجهد بحيث ان طاقته E

• اقل من V_0

الحل :

حل معادلة شرودنجر الذي يحقق الشروط الحدية بخصوص اختلاف الدالة

خدا $x = 0$ * $x = (2a+b)$ عبارة عن :

$$\psi(x) = \begin{cases} A \sin kx, & 0 < x < a \text{ إذا كانت} \\ B \exp(Kx) + C \exp(-Kx), & a < x < (a+b) \text{ إذا كانت} \\ D \sin k(2a+b-x), & a+b < x < 2a+b \text{ إذا كانت} \end{cases}$$

حيث

$$k = \sqrt{\frac{2mE}{\hbar^2}}, \quad K = \sqrt{\frac{2m(V_0 - E)}{\hbar^2}}$$

وخاصية الاستمرارية لكل من ψ وشتقاقها الأولى عند الحدود $x = a$ و $x = a+b$ تعطينا الأربع معادلات التالية بعد التخلص من C و B :

$$\left(\frac{K}{k} \tan ka + 1\right) e^{Kb} \cdot A = \left(\frac{K}{k} \tan ka - 1\right) D$$

$$\left(\frac{K}{k} \tan ka - 1\right) e^{-Kb} \cdot A = \left(\frac{K}{k} \tan ka + 1\right) D$$

وللحصول على حلول ذات أهمية يجب أن يكون لدينا العلاقة التالية :

$$\left(\frac{K}{k} \tan ka + 1\right) e^{Kb} = \pm \left(\frac{K}{k} \tan ka - 1\right)$$

وهذه المعادلة تعطي مستويات الطاقة الخاصة بالمسألة . فإذا وضعنا $Kb \gg 1$ نجد أن :

$$\tan ka \approx -\frac{k}{K} \mp 2\frac{k}{K} e^{-Kb}$$

وحيث أن الطرف الأيمن لهذه المعادلة عبارة عن كمية صغيرة لأن $K \gg k$ نحصل على التقريب ذي المرتبة الصغرى :

$$\tan k_0 a = 0$$

$$k_0 a = n \pi$$

أو

$$\therefore E_n^{(0)} = \frac{\pi^2 \hbar^2 n^2}{2 m a^2}$$

علاقة على ذلك

$$k \approx \frac{n\pi}{a} - \frac{n\pi/a}{K_0 a} + \frac{n\pi/a}{K_0 a} e^{-k_0 b}$$

$$E_n \approx E_n^{(0)} - \frac{2 E_n^{(0)}}{K_0 a} + 4 \frac{E_n^{(0)}}{a K_0} e^{-k_0 b}$$

أو

$$K_0 = \sqrt{\frac{2 m (V_0 - E_n^{(0)})}{\hbar^2}}$$

حيث

ومنى ذلك ان مستويات الطاقة يحدث لها انقلاق .

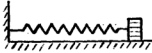
الباب الخامس

المعالجة الكمية للمتذبذب التوافقي البسيط

**QUANTUM MECHANICAL TRATMENT OF THE SIMPLE
HARMONIC OSCILLATOR**

الباب الخامس

المعالجة الكمية للمتذبذب التوافقي البسيط QUANTUM MECHANICAL TRATMENT OF THE SIMPLE HARMONIC OSCILLATOR



من المعلوم ان اى حركة توافقية بسيطة تتميز بمعجلة \ddot{x} تتناسب طرديا مع الازاحة x عن مركز الاتزان وتكون دائما بخجهة ناحية هذا المركز . اى انها عكس اتجاه الازاحة . وعلى ذلك فان القوة F المؤثرة على مثل هذا الجسم الذى يتحرك حركة توافقية بسيطة تعطى بالمعادلة التالية :

$$F = -kx \quad (5.1)$$

اى ان

$$m\ddot{x} = -kx$$

$$\ddot{x} = -\frac{k}{m}x = -\omega^2 x = -\frac{4\pi^2}{T^2} \cdot x \quad (5.2)$$

حيث كما نعلم من الميكانيكا الكلاسيكية :

- m هى كتلة الجسم اى كتلة المتذبذب التوافقي البسيط .
- k ثابت القوة
- ω السعة الزاوية للمتذبذب التوافقي .
- T الزمن الدورى له .

وبمثل هذه الحركة تتألفنا كثيرا في مجالات متعددة مثل :

- ١ - حركة الذرات والجزيئات داخل بلورة الحالة الجامدة .
- ٢ - حركة الذرات داخل الجزيئات المركبة في الموائع .
- ٣ - حركة الالكترونات في الذرات .
- ٤ - حركة البروتونات والنيوترونات داخل الانوية الذرية .
- ٥ - حركة الفوتونات في المجال الاشعاعي .

والان لو تذكرنا ان طاقة الوضع V مرتبطة بالقوة V بالعلاقة :

$$F = -\text{grad } V$$

اذن للتذبذب التوافقي البسيط :

$$F = -\frac{dV}{dx} = -kx \quad (5.3)$$

$$\therefore V(x) = \frac{1}{2} kx^2 = \frac{1}{2} m\omega^2 x^2$$

وعلى ذلك فان المعادلة الهاميلتونية لمثل هذا التذبذب التوافقي البسيط تأخذ الصورة التالية :

$$H = -\frac{\hbar^2}{2m} \frac{d^2}{dx^2} + \frac{1}{2} m \omega^2 x^2 \quad (5.4)$$

اذنا معادلة شرودنجر تصبح في الصورة المبسطة التالية :

$$-\frac{\hbar^2}{2m} \frac{d^2}{dx^2} \psi(x) + \frac{1}{2} m \omega^2 x^2 \psi(x) = E \psi(x)$$

$$\therefore \frac{d^2 \psi(x)}{dx^2} + \frac{2mE}{\hbar^2} \psi(x) - \frac{m^2 \omega^2}{\hbar^2} x^2 \psi(x) = 0 \quad (5.5)$$

ولكن وحدة الكمية $\frac{m^2 \omega^2}{\hbar^2}$ هي متر^{-١} . اي ان وحدة الكمية $\sqrt{\frac{m\omega}{\hbar}}$ هي $\frac{1}{\text{متر}}$ (اي ان ابعادها $\frac{1}{\text{الطول}}$).

وعلى ذلك فان لحصل الضرب $\frac{m\omega}{\hbar} \cdot x$ يمثل كمية متغيرة ليس لها ابعاد . ولتبريز لها بالرمز ξ اي ان :

$$\xi = \sqrt{\frac{m w}{\hbar}} \cdot x \quad (5.6)$$

والتعبير عن معادلة شرودنجر بدلالة هذا المتغير الجديد ξ الذى ليس له ابعاد • ومع ملاحظة ان :

$$\frac{d\psi(x)}{dx} = \frac{d\psi(\xi)}{d\xi} \frac{d\xi}{dx} = \sqrt{\frac{m w}{\hbar}} \cdot \frac{d\psi(\xi)}{d\xi} \quad (5.7)$$

$$\frac{d^2\psi(x)}{dx^2} = \frac{m w}{\hbar} \frac{d^2\psi(\xi)}{d\xi^2} \quad (5.8)$$

فاننا نحصل على :

$$\frac{m w}{\hbar} \frac{d^2\psi(\xi)}{d\xi^2} + \frac{2 m E}{\hbar^2} \psi(\xi) - \frac{m w}{\hbar} \xi^2 \psi(\xi) = 0$$

$$\therefore \frac{d^2\psi(\xi)}{d\xi^2} + \frac{2 E}{\hbar w} \psi(\xi) - \xi^2 \psi(\xi) = 0$$

$$\therefore \frac{d^2\psi(\xi)}{d\xi^2} + (\lambda - \xi^2) \psi(\xi) = 0 \quad (5.9)$$

$$\lambda = \frac{2 E}{\hbar w} \quad (5.10) \quad \text{حيث}$$

والقيم الذاتية اذاً للطاقة مرتبطة بالقيم الذاتية للمعامل λ • وحيث ان ($E \geq 0$) اذا ($\lambda \geq 0$)

ولكى يسهل علينا الحصول على حل المعادلة (5.9) علينا ان نختبر الدالة $\psi(\xi)$ عندما تقترب قيمة المتغير المستقل ξ الى ما لا نهاية وفي هذه فان قيمة $(\lambda - \xi^2)$ توكل الى $(-\xi^2)$ اى ان معادلة شرودنجر للدالة $\psi(\xi)$ تختزل الى الصورة التالية :

$$\frac{d^2\psi_{\infty}}{d\xi^2} - \xi^2 \psi_{\infty} = 0 \quad (5.11)$$

واللحصول على الحل الخطري بها نعتبر بالتغير η عن ξ^2 أي أن :

$$\eta = \xi^2 \quad (5.12)$$

$$\therefore \frac{d^2 \psi}{d \xi^2} = 2 \frac{d \psi}{d \eta} + 4 \xi^2 \frac{d^2 \psi}{d \eta^2} \quad (5.13)$$

وعلى ذلك تصبح (5.11) عندما تقرب ξ من $\pm \infty$:

$$\frac{d^2 \psi_{\infty}}{d \eta^2} - \eta \psi_{\infty} = 0$$

ومن خیرتنا فی الباب الرابع (راجع معادلة 4.10) ينتج لنا أن :

$$\psi_{\infty} = A e^{\mp \frac{1}{2} \eta} = A e^{\mp \frac{1}{2} \xi^2}$$

وحيث أن ψ_{∞} حصة السلوك علينا وضع الحل في الصورة التالية فقط :

$$\psi_{\infty} = A e^{-\frac{1}{2} \xi^2} \quad (5.15)$$

وبذلك نتوقع أن يكون الحل الدقيق لمعادلة (5.9) على الصورة التالية :

$$\psi(\xi) = A e^{-\frac{1}{2} \xi^2} h_n(\xi) \quad (5.16)$$

حيث الدالة $h_n(\xi)$ يمكن التعبير عنها كدالة متعددة الحدود بدلالة المتغير ξ مرتبها إلى رتبة محددة .

معنى ذلك إذا هو :

$$\frac{d \psi(\xi)}{d \xi} = \left[-A \xi e^{-\frac{1}{2} \xi^2} h_n + A e^{-\frac{1}{2} \xi^2} h'_n(\xi) \right] \quad (5.17)$$

$$\begin{aligned}
 \therefore \frac{d^2 \psi(\xi)}{d\xi^2} &= \left[A \xi^2 e^{-\frac{1}{2}\xi^2} H_n - A \xi e^{-\frac{1}{2}\xi^2} H_n'(\xi) - A e^{-\frac{1}{2}\xi^2} H_n''(\xi) \right. \\
 &\quad \left. + \left[A e^{-\frac{1}{2}\xi^2} H_n''(\xi) - A \xi e^{-\frac{1}{2}\xi^2} H_n'(\xi) \right] \right] \\
 &= A e^{-\frac{1}{2}\xi^2} H_n''(\xi) - 2 A \xi e^{-\frac{1}{2}\xi^2} H_n'(\xi) + A \xi^2 e^{-\frac{1}{2}\xi^2} H_n(\xi) \\
 &\quad - A e^{-\frac{1}{2}\xi^2} H_n(\xi) \quad (5.18)
 \end{aligned}$$

وعلى ذلك يكون ناتج التوضيح في معادلة (5.9) هو :

$$\begin{aligned}
 A e^{-\frac{1}{2}\xi^2} \left[\left\{ H_n''(\xi) - 2 \xi H_n'(\xi) + (\xi^2 - 1) H_n(\xi) \right\} + (\lambda - \xi^2) H_n(\xi) \right] \\
 \therefore H_n''(\xi) - 2 \xi H_n'(\xi) + (\lambda - 1) H_n(\xi) = 0 \quad (5.19)
 \end{aligned}$$

ولحل هذه المعادلة نفترض ان الدالة $H_n(\xi)$ هي على صورة متسلسلة قوى على الشكل التالي :

$$H_n(\xi) = \sum_{n=0}^{\infty} a_n \cdot \xi^n \quad (5.20)$$

$$\therefore H_n'(\xi) = \sum_{n=0}^{\infty} n \cdot a_n \cdot \xi^{n-1} \quad (5.21)$$

$$\therefore H_n''(\xi) = \sum_{n=0}^{\infty} n \cdot (n-1) \cdot a_n \cdot \xi^{n-2} \quad (5.22)$$

إذا بالتعويض من (5.20) ، (5.21) ، (5.22) في (5.19) نحصل

$$\begin{aligned}
 \sum_{n=2}^{\infty} n(n-1) a_n \xi^{n-2} - 2 \sum_{n=0}^{\infty} n a_n \xi^{n-1} + (\lambda - 1) \sum_{n=0}^{\infty} a_n \xi^n = 0 \\
 (5.23)
 \end{aligned}$$

مع ملاحظة ان التسلسلة الاولى فى تلك المعادلة يتلاقى فيها الحدين الاولين
 $n=0$ ، $n=1$ لذلك نبدأ من $n=2$. وعلى ذلك يمكننا اعادة كتابة
 (5.23) مع استبدال n فى التسلسلة الاولى بالقيمة $(n+2)$ وعلى ذلك :

$$\sum_{n=0}^{\infty} \left\{ (n+2)(n+1) a_{n+2} - 2n a_n + (\lambda - 1) a_n \right\} x^n = 0 \quad (5.24)$$

والمفروض ان هذه المعادلة صحيحة لجميع قيم x وهذا لا يتحقق الا اذا كان
 كل من المعاملات على حدة للمتغير x مرتفعاً لى رتبة n يساوى صفراً . وهذا
 يعنى ان :

$$\left[(n+2)(n+1) a_{n+2} - (2n+1) - \lambda \right] a_n = 0 \quad (5.25)$$

$$\therefore a_{n+2} = \frac{(2n+1) - \lambda}{(n+2)(n+1)} a_n \quad (5.26)$$

وهذه العلاقة تستطيع بواسطتها حساب اى من المعاملات a_n فى المعادلة (5.20)
 بدلالة المعامل الذى يسبقه a_{n-2} .

وحيث ان دالة الموجه حسنة السلوك لذلك يجب ان تنتهى تلك التسلسلة
 (5.20) عند رتبة معينة وليكن الجد المقابل هو المحتوى على a_n وهذا يعنى
 وضع المعامل a_{n+2} مساوياً للصفر عليه فانه بالتعويض بذلك فى المعادلة (5.26)
 نحصل على :

$$(2n+1) - \lambda = 0 \quad (5.27)$$

حيث ان a_n لا تساوى صفراً .

$$\therefore \lambda = 2n+1 \quad (5.28)$$

وعلى ذلك فالمعادلة (5.19) بعد التعويض فيها عن λ من المعادلة
 (5.28) تأخذ الصورة التالية :

$$H_n''(\xi) - 2\xi H_n'(\xi) + 2n H_n(\xi) = 0 \quad (5.29)$$

وتسمى معادلة هيرميت التفاضلية .

وحيث ان λ مرتبط بالطاقة E للتذبذب التوافقي تبعا للعلاقة

$$\lambda = \frac{2E}{\hbar \omega} \quad (5.10)$$

$$\therefore \frac{2E}{\hbar \omega} = (2n + 1)$$

$$\therefore E_n = (n + \frac{1}{2}) \hbar \omega \quad (5.30)$$

وهذه المعادلة تعطي القيم الايجينية لطاقة التذبذب التوافقي

• Energy Eigenvalues of the Harmonic Oscillator

ولقد رمزنا المستويات الطاقة المختلفة للتذبذب التوافقي بالرمز E_n تمهيدا

عن انها تعتمد اساسا على عدد الكم n . ونلاحظ ان تلك المستويات تنفصل عن

بعضها بقيم ثابتة هي $\hbar \omega$. ونلاحظ ان اقل مستوى طاقة لا يساوى صفرا كما هو

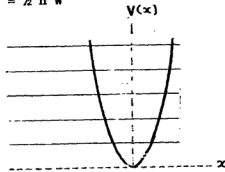
الحال في الميكانيكا الكلاسيكية ولكنه يساوى :

$$E_0 = \frac{1}{2} \hbar \omega \quad (5.31)$$

$$E_2 = \frac{5}{2} \hbar \omega$$

$$E_1 = \frac{3}{2} \hbar \omega$$

$$E_0 = \frac{1}{2} \hbar \omega$$



شكل (٥-١) رسم يوضح دالة الجهد للتذبذب التوافقي حسب ثلاث مستويات

الاولى للطاقة .

وهي في الحقيقة مرتبطة اولازمة من لوازم مبدأ الاتحاديد • وقد ادت الى شرح العديد من الظواهر الفيزيائية الخاصة بالحالة الصلبة للمادة وسلوك الغازات المائلة عند درجات الحرارة المنخفضة جدا •

اما بالنسبة لدالة الحالة $\psi(x)$:

$$\psi(x) = A H_n \left(\sqrt{\frac{m\omega}{\hbar}} \cdot x \right) e^{-\frac{m\omega}{2\hbar} x^2}$$

فان كثير الحدود $H_n \left(\sqrt{\frac{m\omega}{\hbar}} \cdot x \right)$ الذي يحقق المعادلة (5.30) يسمى كثير الحدود لهيرميت (Hermite Polynomial) وُعرف على الصورة التالية (للمسألة يعبر عنه بدلالة المتغير المستقل ξ) :

$$H_n(\xi) = (-1)^n e^{\xi^2} \frac{\partial^n}{\partial \xi^n} e^{-\xi^2} \quad (5.33)$$

كما انه يحقق العلاقات الرياضية التالية :

$$i) H_{n+1}(\xi) = 2\xi H_n(\xi) - 2n H_{n-1}(\xi) \quad (5.34)$$

$$ii) H'_n(\xi) = 2n H_{n-1}(\xi) \quad (5.35)$$

$$iii) \int_{-\infty}^{\infty} (e^{-\frac{1}{2}\xi^2})^2 H_n^*(\xi) H_n(\xi) d\xi = 2^n n! \sqrt{\pi} \delta_{nn} \quad (5.36)$$

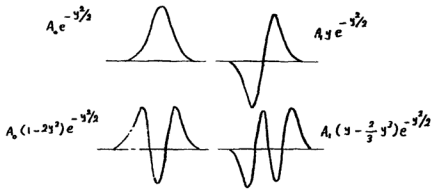
وهذه العلاقة الاخير يمكن كتابتها بدلالة المتغير المستقل x على الصورة التالية :

$$\int_{-\infty}^{\infty} e^{-\frac{m\omega}{\hbar} x^2} H_n^*(x) H_n(x) dx = \frac{2^n n! \sqrt{\pi}}{\frac{m\omega}{\hbar}} \delta_{nn} \quad (5.37)$$

وفيما يلي بعض قيم $H_n(\xi)$:

$$\begin{aligned}
 H_0 &= 1 \\
 H_1 &= 2 \xi \\
 H_2 &= 4 \xi^2 - 1 \\
 H_3 &= 8 \xi^3 - 12 \xi \\
 H_4 &= 16 \xi^4 - 48 \xi^2 + 12 \\
 H_5 &= 32 \xi^5 - 160 \xi^3 + 120 \xi
 \end{aligned}
 \quad \left. \vphantom{\begin{aligned} H_0 \\ H_1 \\ H_2 \\ H_3 \\ H_4 \\ H_5 \end{aligned}} \right\} (5.38)$$

يوضح شكل (٢-٥) المستويات الثلاث الاولى للطاقة بينما شكل (٣-٥) يوضح الدوال الاربعة الدوال الذاتية الاولى للمذبذب التوافقي بسيط ، يلاحظ مايلي من هذين الشكلين



شكل (٣-٥) رسم يوضح الدوال الاربع الدوال الذاتية للتذبذب التوافقي البسيط .

١ - كما امرنا من قبل فان الخدوطة الافقية التى تمثل مستويات الطاقة متساوية التباعد بينها وبين بعضها لان كل مستويين متتاليين يغطيهما المقدار $\hbar \omega$.

٢ - ان النقطتين المثلثتين لتأتى القطع الكافى * المثل للطاقة الوضع $\psi_0(x)$ مع الخط الاقى الذى تتبعه الدالة الذاتية $v = \frac{1}{2} m \omega^2 x^2$ (هذا الخط يمثل مستوى الطاقة E_0) هما $x = \pm x_0$ ونحصل عليها من الشرط $E_0 = \frac{1}{2} \hbar \omega = \frac{1}{2} m \omega^2 x_0^2$ وعند هاتى طاقة الحركة تساوى صفرا .

٣ - تتبادل الدوال الذاتية ما بين كونها متماثلة (Symmetric) او غير متماثلة (Antisymmetric) .

٤ - بالنسبة للدالة الذاتية ψ_0 نلاحظ ان لها قيمة محددة خارج المدى $(-x_0 < x < x_0)$ حيث الطاقة الكلية تكون اصغر من طاقة الوضع v اى ان طاقة الحركة تكون سالبة . وهذا معنى احتمال محدد لتواجد الجسيم فى المنطقة التى فيها تكون طاقة حركته سالبة . وهذا السلوك شائع فى ميكانيكا الكم .

والان بالاستفادة من خاصية المعايير لدالة الحالة $\psi(x)$:

$$\int_{-\infty}^{+\infty} \psi_m^*(x) \psi_n(x) dx = \delta_{mn}$$

$$\therefore \int_{-\infty}^{+\infty} \left[A H_m \left(\sqrt{\frac{m\omega}{\hbar}} x \right) e^{-\frac{m\omega}{2\hbar} x^2} \right]^* \left[A H_n \left(\sqrt{\frac{m\omega}{\hbar}} x \right) e^{-\frac{m\omega}{2\hbar} x^2} \right] dx$$

$$\begin{aligned}
 &= A_n^2 \int_{-\infty}^{\infty} e^{-\frac{m\omega}{\hbar} x^2} H_m \left(\sqrt{\frac{m\omega}{\hbar}} x \right) H_n \left(\sqrt{\frac{m\omega}{\hbar}} x \right) dx \\
 &= A_n^2 \frac{\pi^{\frac{1}{2}} 2^n n!}{\sqrt{\frac{m\omega}{\hbar}}} = 1 \\
 \therefore A_n &= \sqrt{\frac{\left(\frac{m\omega}{\hbar}\right)^{\frac{1}{2}}}{\frac{1}{2} 2^n n!}} \quad (5.39)
 \end{aligned}$$

مثال (٥-١) :

وضح انه بالنسبة للمذبذب التوافقي البسيط في الحالة الادنى الارضية له
 فان احتمال تواجد الجسم المذبذب خارج الحدود الكلاسيكية هي تقريبا ٠,١٦

الحل :

نعلم ان الحالة الارضية للمذبذب التوافقي البسيط يتميز بطاقة مقدارها

$$E = \frac{1}{2} \hbar \omega$$

ونتيجة للفيزياء الكلاسيكية فان الطاقة الكلية E للمذبذب الذي يتحرك

بسعة ذبذبة a هي :

$$E = \frac{1}{2} m \omega^2 a^2$$

اذ السعة a التي تتأبل طاقة E هي :

$$a = \sqrt{\frac{\hbar}{m\omega}}$$

يسا ان المتغير $\xi = \sqrt{\frac{mV}{\hbar}} x$ • اذا عندما تكون $x = \pm a$ فان ξ تأخذ القيم ± 1 كما رأينا قبلا •

• الاحتمالية ان يكون الجسم المتذبذب خارج نطاق $\xi = \pm 1$ هي :

$$W = \frac{\int_{-\infty}^{\infty} e^{-\xi^2} d\xi}{\int_{-\infty}^{\infty} e^{-\xi^2} d\xi} = 0.16$$

مثال (٢ - ٥) :

اذا كانت طاقة الوضع لمتذبذب توافق في ثلاث ابعاد عبارة عن

$$V = \frac{1}{2} m (\omega_1^2 x^2 + \omega_2^2 y^2 + \omega_3^2 z^2)$$

عين مستويات الطاقة والدوال الموجية المعاييرة المتابلة لها •

الحل :

يمكننا جعل نظرية المتذبذب التوافقي البسيط (ذي البعد الواحد) بحيث

تشمل حالة التذبذب في ثلاث ابعاد وذلك باليد • بمعادلة شرودنجر بالصورة التالية :

$$-\frac{\hbar^2}{2m} \nabla^2 \psi(x, y, z) + \left[\frac{1}{2} m (\omega_1^2 x^2 + \omega_2^2 y^2 + \omega_3^2 z^2) \right] \psi = E$$

وحلها بطريقة فصل المتغيرات على اساس ان الدالة ψ يفترض انها بالصورة التالية :

$$\psi(x, y, z) = X(x) Y(y) Z(z)$$

وبالتعويض عنها في معادلة شرودنجر نجد ان :

$$\begin{aligned} & \left[-\frac{\hbar^2}{2m} \frac{1}{X(x)} \frac{d^2 X}{dx^2} + \frac{1}{2} m \omega_1^2 x^2 \right] \\ & + \left[-\frac{\hbar^2}{2m} \frac{1}{Y(y)} \frac{d^2 Y}{dy^2} + \frac{1}{2} m \omega_2^2 y^2 \right] \\ & + \left[-\frac{\hbar^2}{2m} \frac{1}{Z(z)} \frac{d^2 Z}{dz^2} + \frac{1}{2} m \omega_3^2 z^2 \right] = E \end{aligned}$$

وعليه فان :

$$-\frac{\hbar^2}{2m} \frac{1}{X(x)} \frac{d^2 X}{dx^2} + \frac{1}{2} m \omega_1^2 x^2 = E_1 \quad (1)$$

$$-\frac{\hbar^2}{2m} \frac{1}{Y(y)} \frac{d^2 Y}{dy^2} + \frac{1}{2} m \omega_2^2 y^2 = E_2 \quad (2)$$

$$-\frac{\hbar^2}{2m} \frac{1}{Z(z)} \frac{d^2 Z}{dz^2} + \frac{1}{2} m \omega_3^2 z^2 = E_3 \quad (3)$$

$$E_1 + E_2 + E_3 = E \quad \text{حيث}$$

وكل من معادلات (1) و (2) و (3) لها الا معادلة متذبذب
توافقى بسيط وقد رأينا ان دواله الموجية المعيارية هي :

$$\psi_n(r) = N_n e^{-\frac{\alpha^2 r^2}{2}} H_n(\alpha r)$$

$$K_n = \sqrt{\frac{\alpha}{\sqrt{\pi} 2^n n!}}, \quad \xi = \alpha r = \sqrt{\frac{m\omega}{\hbar}} r$$

بناءً عليه الحلول المحددة التي يمكن الوصول اليها هي المعادلة لكل من :

$$E_1 = (n_1 + \frac{1}{2}) \hbar \omega_1 \quad ; \quad n_1 = 0, 1, 2, \dots$$

$$E_2 = (n_2 + \frac{1}{2}) \hbar \omega_2 \quad ; \quad n_2 = 0, 1, 2, \dots$$

$$E_3 = (n_3 + \frac{1}{2}) \hbar \omega_3 \quad ; \quad n_3 = 0, 1, 2, \dots$$

$$\therefore E = (n_1 + \frac{1}{2}) \hbar \omega_1 + (n_2 + \frac{1}{2}) \hbar \omega_2 + (n_3 + \frac{1}{2}) \hbar \omega_3$$

والدوال المعيارية القابلة هي :

$$\psi_{n_1, n_2, n_3} = \left[\frac{1}{2^n n_1! n_2! n_3! \pi^{3/2}} \right]^{\frac{1}{2}} H_{n_1}(\xi) H_{n_2}(\eta) H_{n_3}(\zeta) e^{-\frac{\rho^2}{2}}$$

حيث

$$n = n_1 + n_2 + n_3$$

$$\xi = \sqrt{\frac{m\omega_1}{\hbar}} x \quad ; \quad \eta = \sqrt{\frac{m\omega_2}{\hbar}} y \quad ; \quad \zeta = \sqrt{\frac{m\omega_3}{\hbar}} z$$

$$\rho^2 = \xi^2 + \eta^2 + \zeta^2$$

وفي الحالة الخاصة التي يتميز فيها التذبذب بالتوافق بالتجانس فإن
وعلى هذا فإن القيم الايجينية تكون :

$$E_{n_1 n_2 n_3} = (n + \frac{3}{2}) \hbar \omega$$

$$n = n_1 + n_2 + n_3 \quad \text{حيث}$$

ويمكننا حساب درجة الانحلال degree of degeneracy لأي مستوى طاقة

عدد أنكم له n بملاحظة انه اذا كان n_1 هي الاخرى معلومة فان العدديين
 n_3 و n_2 تأخذ القيم :

$$(0, n-n_1); (1, n-n_1-1); (2, n-n_1-2); \dots, (n-n_1, 0)$$

- ١٣٥ -

وعلى ذلك يكون هناك عدد من الحالات يساوى $(n - n_1 + 1)$ ولكن n_1 يمكن أيضا ان تأخذ أى قيمة بين $(0, n)$ وعليه فان درجة الانحلال تكون :

$$(n+1) + n + (n-1) + (n-2) \dots + 1 = \frac{(n+1)(n+2)}{2}$$

—————→

الباب السادس

المعالجة الكمية لجسيم يتحرك فى مجال قوة مركزية
(مجموعات شبيهة ذرة الايدروجين)

Quantum Mechanical Treatment of the Motion of a Particle
in a Central-Force Field
(Hydrogen-Atom-Like Systems)

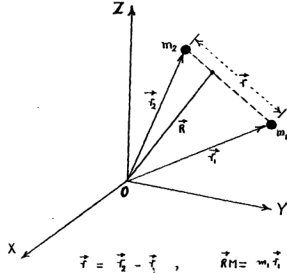
الباب السادس

المعالجة الكمية لجسيم يتحرك فى مجال قوة مركزية (مجموعات شبيهة ذرة الايدروجين) Quantum Mechanical Treatment of the Motion of a Particle in a Central-Force Field (Hydrogen-Atom-Like Systems)

نود فى هذا الباب معالجة حركة جسيم يتحرك تحت تأثير قوة جذب مركزية
مثل القوة الكولومية التى بين شحنة الالكترون $(-e)$ وشحنة نواة ذرته الام $(+Ze)$
حيث كالمعتاد Z هو العدد الذرى للنواة. هذه المركزية تقابل طاقة
جهد مركبة ولتكن $V(r)$ حيث

$$V(r) = -\frac{1}{4\pi\epsilon_0} \cdot \frac{Ze \cdot e}{r} \quad (6.1)$$

ويتضح من ذلك ان $V(r)$ تعتمد فقط على البعد النقطى بين الجسيمين وهذا



شكل (٦-١) رسم يوضح اختزال حركتى الجسيمين m_1 و m_2 الى حركة جسيم مفرد كتلته u
باعتباره بانها طاقة جهد مركبة. كما ان الهاميلتونية لهذه المجموعة تأخذ
الدرجة التالية :

$$H = \frac{p_1^2}{2m_1} + \frac{p_2^2}{2m_2} + V(r) \quad (6.2)$$

حيث يمثل الحد الأول طاقة الحركة لأحد الجسيمين وليكن الإلكترون مثلاً •
 ويمثل الحد الثانى طاقة الحركة للجسيم الآخر وليكن البروتون • $V(r)$
 تمثل طاقة الجهد الكولومبى بين شحنتيهما • ونلاحظ ان البعد بين الجسيمين r
 عبارة عن :

$$r = \sqrt{(x_1 - x_2)^2 + (y_1 - y_2)^2 + (z_1 - z_2)^2} \quad (6.3)$$

وعلى ذلك تكون العاملة الهاميلتونية لتلك المجموعة الفيزيائية هى :

$$\hat{H} = -\frac{\hbar^2}{2m_1} \nabla_1^2 - \frac{\hbar^2}{2m_2} \nabla_2^2 - \frac{Ze^2}{4\pi\epsilon_0 r} \quad (6.4)$$

وتكون معادلة شرودنجر لهذه المجموعة كما يلى :

$$\left[-\frac{\hbar^2}{2m_1} \nabla_1^2 - \frac{\hbar^2}{2m_2} \nabla_2^2 - \frac{Ze^2}{4\pi\epsilon_0 r} \right] \psi(r_1, r_2) = E_{\text{total}} \psi(r_1, r_2) \quad (6.5)$$

وحيث ان هذه المعادلة تعتمد على ست متغيرات ومن الصعب معالجتها
 لذا تُحوّل هذه المعادلة الى معادلتين احدهما تمثل حركة جسيم واحد مكافئ • هو
 مركز الكتلة (Centre of mass) للمجموعة والاخرى تمثل الحركة النسبية بين
 الجسيمين • ويتم ذلك باختيار احد اثنين هما \vec{R} • \vec{r} حيث \vec{R} هو احد اثنى
 مركز الكتلة ويعرف على النحو التالى :

$$\vec{R} (m_1 + m_2) = \vec{R} m = m_1 \vec{r}_1 + m_2 \vec{r}_2$$

$$X_m = m_1 x_1 + m_2 x_2 \quad (6.6)$$

$$Y_m = m_1 y_1 + m_2 y_2$$

$$Z_m = m_1 z_1 + m_2 z_2$$

بينما x سبق تعريف بالمعادلة (6.2) •

وتحويل المعادلة (6.5) بدلالة تلك الاحداثيات نحصل على :

$$\left[-\frac{\hbar^2}{2M} \left(\frac{\partial^2}{\partial x^2} + \frac{\partial^2}{\partial y^2} + \frac{\partial^2}{\partial z^2} \right) - \frac{\hbar^2}{2\mu} \left(\frac{\partial^2}{\partial x^2} + \frac{\partial^2}{\partial y^2} + \frac{\partial^2}{\partial z^2} \right) + V(x) \right] \Psi(r, R) = E_{\text{total}} \Psi(r, R)$$

$$= E_{\text{total}} (\Omega(R) \cdot U(x)) \quad (6.7)$$

حيث μ هي الكتلة المختزلة (reduced mass) وتعرف كالمعاد كإيلي :

$$\mu = \left[\frac{1}{m_1} + \frac{1}{m_2} \right]^{-1} = \frac{m_1 m_2}{m_1 + m_2} \quad (6.8)$$

بينما الطاقة الكلية E_{total} هي في هذه الحالة مجموع الطاقة الكلية لمركز الكتلة والطاقة الكلية المرتبطة بالحركة النسبية E أي ان :

$$E_{\text{total}} = E_c + E \quad (6.9)$$

وتتأهق طريقة فصل المتغيرات كما سبق ان درسنا (انظر صفحة VI) نحصل على المعادلتين التاليتين :

$$-\frac{\hbar^2}{2M} \left(\frac{\partial^2}{\partial x^2} + \frac{\partial^2}{\partial y^2} + \frac{\partial^2}{\partial z^2} \right) \Omega(R) = E_c \Omega(R) \quad (6.10)$$

$$-\frac{\hbar^2}{2} \left(\frac{\partial^2}{\partial x^2} + \frac{\partial^2}{\partial y^2} + \frac{\partial^2}{\partial z^2} \right) U(x) - \frac{Ze^2}{4\pi\epsilon_0 r} U(x) = E_{\text{rel}}(x) \quad (6.11)$$

واضح ان المعادلة (6.10) تمثل موجه مستوية صاحبة لحركة جسيم حركته M ولذلك يبقى لدينا التركيز على المعادلة (6.11) للحركة النسبية والتي تمثل حركة جسيم كتلته μ في مجال يتميز بطاقة جهد $V(r)$ ولينا اذا امتتناج مستويات الطاقة E المرتبطة بتلك الحركة النسبية :

بما ان هذه الحركة التى تمثلها المعادلة (6.11) هى حركة تحت تأثير قوة مركزية وفيها طاقة الجهد $V(r)$ هى دالة فقط للتغير r فانه من المناسب التعبير عن عامله اللابلاسيان فيها بدلالة المتغيرات (r, θ, ϕ) من الاحداثيات الكرية، والتى يمكننا بعد ذلك فصلها عن بعضها لان $V(r)$ تتميز بتماثل كوسى وذلك باتباع طريقة فصل المتغيرات السابق لنا دراستها . ان :

$$\left\{ \frac{1}{r^2} \frac{\partial}{\partial r} \left(r^2 \frac{\partial}{\partial r} \right) + \frac{1}{r^2 \sin \theta} \left(\sin \theta \frac{\partial}{\partial \theta} \right) + \frac{1}{r^2 \sin^2 \theta} \frac{\partial^2}{\partial \phi^2} \right\} U(r, \theta, \phi) - \frac{2m}{\hbar^2} \left[E + \frac{Ze^2}{4\pi\epsilon_0 r} \right] U(r, \theta, \phi) \quad (6.12)$$

وكما اشرنا من قبل بما ان طاقة الجهد $-\frac{Ze^2}{4\pi\epsilon_0 r}$ تتميز بتماثل كوى لذا يمكننا فصل المتغيرات (r, θ, ϕ) فى معادلة (6.12) كما يلى :

نضع الدالة $U(r, \theta, \phi)$ على الصورة التالية :

$$U(r, \theta, \phi) = R(r) \cdot Y(\theta, \phi) \quad (6.13)$$

$$\therefore Y(\theta, \phi) \frac{\partial^2 R(r)}{\partial r^2} + \frac{R(r)}{\sin \theta} \frac{\partial}{\partial \theta} \left(\sin \theta \frac{\partial}{\partial \theta} \right) Y(\theta, \phi)$$

$$+ R(r) \frac{1}{\sin^2 \theta} \frac{\partial^2}{\partial \phi^2} Y(\theta, \phi)$$

$$+ \frac{2m}{\hbar^2} r^2 \left[E + \frac{Ze^2}{4\pi\epsilon_0 r} \right] R(r) Y(\theta, \phi) = 0 \quad (6.14)$$

وبنسبة هذه المعادلة على :

$$U(r, \theta, \phi) = R(r) Y(\theta, \phi)$$

نحصل على

$$\begin{aligned} \frac{1}{R(r)} \frac{\partial}{\partial r} (r^2 \frac{\partial}{\partial r}) R(r) + \frac{2\mu r^2}{\hbar^2} \left[E + \frac{Ze^2}{4\pi\epsilon_0 r} \right] = \\ = - \frac{1}{\sin \theta Y(\theta, \phi)} \frac{\partial}{\partial \theta} (\sin \theta \frac{\partial}{\partial \theta}) Y(\theta, \phi) \\ - \frac{1}{Y(\theta, \phi) \sin^2 \theta} \frac{\partial^2}{\partial \phi^2} Y(\theta, \phi) \end{aligned} \quad (6.15)$$

وفيها نلاحظ ان الطرف الايمن دالة في المتغيرين θ, ϕ بينما الطرف الايسر دالة فقط للمتغير r وعلى ذلك فانها لا تتحقق لجميع قيم المتغيرات r, θ, ϕ الا اذا كان كل طرف منها على حدة يساوى ثابتا مشتركا لا يعتمد على اى من تلك المتغيرات . ولنرمز له بالرمز λ

$$\begin{aligned} \therefore \frac{1}{R(r)} \frac{\partial}{\partial r} (r^2 \frac{\partial}{\partial r}) R(r) + \frac{2\mu r^2}{\hbar^2} \left[E + \frac{Ze^2}{4\pi\epsilon_0 r} \right] = \\ = - \frac{1}{\sin \theta Y(\theta, \phi)} \frac{\partial}{\partial \theta} (\sin \theta \frac{\partial}{\partial \theta}) Y(\theta, \phi) \end{aligned} \quad (6.16)$$

$$- \frac{1}{Y(\theta, \phi) \sin^2 \theta} \frac{\partial^2}{\partial \phi^2} Y(\theta, \phi) = \quad (6.17)$$

ومرة اخرى بالتعبير عن الدالة $Y(\theta, \phi)$ على انها حاصل ضرب دالتين اخريتين $\Phi(\phi)$ ، $\Theta(\theta)$ اى ان :

$$Y(\theta, \phi) = \Phi(\phi) \cdot \Theta(\theta) \quad (6.18)$$

يُحصل على المعادلة :

$$\begin{aligned} \frac{\sin \theta}{\Phi(\theta)} \frac{\partial}{\partial \theta} \left(\sin \theta \frac{\partial}{\partial \theta} \Phi(\theta) \right) + \lambda \cdot \sin \theta \\ = - \frac{1}{\Phi(\theta)} \frac{\partial^2}{\partial \theta^2} \Phi(\theta) \end{aligned} \quad (6.19)$$

حيث الطرف الايمن فيها دالة فقط للتغير θ بينما الطرف الايسر دالة فقط للتغير θ وعلى هذا نكل منهما يساوى ثابتا مشتركا آخر وليكن β فنحصل على :

$$- \frac{1}{\Phi(\theta)} \frac{d^2}{d\theta^2} \Phi(\theta) = \beta \quad (6.20)$$

$$\frac{\sin \theta}{\Phi(\theta)} \frac{\partial}{\partial \theta} \left(\sin \theta \frac{\partial}{\partial \theta} \Phi(\theta) \right) + \lambda \sin^2 \theta = \beta \quad (6.21)$$

ونلاحظ ان المعادلة (6-20) باعادة ترتيبها كما يلي :

$$\frac{d^2 \Phi(\theta)}{d\theta^2} + \beta \Phi(\theta) = 0$$

يتضح ان الحل العام لها هو

$$\begin{aligned} \Phi(\theta) &= c e^{+i\sqrt{\beta} \theta} \\ &= c e^{+im\theta} \end{aligned} \quad (6.22)$$

حيث

$$m = \sqrt{\beta} \quad (6.23)$$

وحيث ان الدالة $\Phi(\theta)$ يجب ان تكون وحيدة القيمة • كما ان من خصائصها
ان تعيد قيمتها عندما تزداد الزاوية θ بمقدار 2π بمعنى ان :

$$\Phi(\theta) = \Phi(\theta + 2\pi) \quad (6.24)$$

فان ذلك معناه

$$C e^{im\theta} = C e^{im(\theta+2\pi)} = C e^{im\theta} \cdot e^{im(2\pi)}$$

$$\therefore 1 = e^{im(2\pi)} = \cos m(2\pi) + i \sin m(2\pi)$$

$$\therefore 1 = \cos m(2\pi) \quad (6.25)$$

$$\therefore m = 0, \pm 1, \pm 2, \pm 3, \dots \quad (6.26)$$

$$\therefore \Phi(\theta) = C e^{\pm im\theta} \quad (6.27)$$

وقد سبق ان درسنا مثال $(\psi_{\theta})_{m=0}$ ان المعادلة التي تقابل المركبة L_z كتجسسه
كمية الحركة الدورانية L عبارة عن :

$$\hat{L}_z = i \hbar \frac{\partial}{\partial \theta} \quad (6.28)$$

فاذا افترضنا بتلك المعادلة على الدالة (6.27) نحصل على :

$$\hat{L}_z \Phi(\theta) = i \hbar \frac{\partial}{\partial \theta} (C e^{\pm im\theta})$$

$$\therefore \hat{L}_z \Phi(\theta) = \pm \hbar m \Phi \quad (6.29)$$

هذه المعادلة الايجينية توضح ان الدالة Φ هي دالة خاصة للمعاملة \hat{L}_z تقابل
القيم الذاتية $\pm \hbar m$ ويسمى الرقم m بعدد الكم المغناطيسى للحركة الدائرية
Orbital Magnetic Quantum Number الذى يتميز بانه مساو لاعداد صحيحه

نقطة كما هو موضح في معادلة (6.26) • بسبب هذه التسمية أنه شوهد بالتجربة انفعال مستويات الطاقة المرتبطة بحركة الإلكترونات الدائرية في ذراتها عندما تكون تلك الذرات تحت تأثير مجال مغناطيسي خارجي واصطلح على أن يكون اتجاهه موازاً للحدث z •

وهنا يبقى إيجاد قيمة الثابت C في المعادلة (6.27) ويتم ذلك باستخدام خاصية المعايير للدالة Φ كما يلي :

$$\therefore \int_0^{2\pi} \Phi^* \Phi d\theta = 1$$

$$\therefore \int_0^{2\pi} \left[C e^{-im\theta} \right]^* \left[C e^{-im\theta} \right] d\theta = 1$$

$$\therefore |C|^2 \cdot 2\pi = 1$$

$$\therefore C = \pm \frac{1}{\sqrt{2\pi}}$$

$$\therefore \Phi(\theta) = \pm \frac{1}{\sqrt{2\pi}} e^{\pm im\theta} \quad (6.30)$$

والآن باستخدام النتيجة (6.23) يمكن كتابة المعادلة (6.21) على النحو التالي :

$$\frac{\sin \theta}{\theta} \frac{\partial}{\partial \theta} \left(\sin \theta \frac{\partial}{\partial \theta} \right) \Theta(\theta) + \lambda \sin^2 \theta = \beta = m^2 \quad (6.31)$$

بإعادة ترتيب تلك المعادلة نحصل على :

$$\frac{1}{\sin \theta} \frac{\partial}{\partial \theta} \left(\sin \theta \frac{\partial}{\partial \theta} \right) \Theta(\theta) + \left[\lambda - \frac{m^2}{\sin^2 \theta} \right] \Theta(\theta) = 0 \quad (6.32)$$

ويمكن تبسيط هذه المعادلة بوضع $\cos \theta = \mu$

وبمعنى آخر يكون لدينا دالة جديدة P للمتغير μ بحيث :

$$P(\mu) = \Theta(\theta) \quad (6.33)$$

وفي نفس الوقت

$$\sin \theta = \sqrt{1 - \mu^2} \quad (6.34)$$

كما ان :

$$\frac{d\mu}{d\theta} = - \sqrt{1 - \mu^2} \quad (6.35)$$

$$\cdot \quad \frac{d}{d\theta} = \frac{d}{d\mu} \frac{d\mu}{d\theta} = - \sqrt{1 - \mu^2} \frac{d}{d\mu} \quad (6.36)$$

وعلى ذلك تختزل معادلة (6.32) للصورة التالية :

$$\frac{d}{d\mu} \left[(1 - \mu^2) \frac{d}{d\mu} \right] P(\mu) + \left[\lambda - \frac{\mu^2}{1 - \mu^2} \right] P(\mu) = 0$$

أى ان :

$$(1 - \mu^2) \frac{d^2}{d\mu^2} P(\mu) - 2\mu \frac{d}{d\mu} P(\mu) + \left[\lambda - \frac{\mu^2}{1 - \mu^2} \right] P(\mu) = 0 \quad (6.37)$$

مع ملاحظة ان قيمة المتغير المستقل μ تتغير بين القيمتين $+1$ ، -1 .
ونريد الآن ايجاد حلول لهذه المعادلة (6.37) بشرط ان تكون وحيدة القيمة ،
ومتصلة ، وذات قيم محددة مع امكانية معايرتها .
وباتباع الطرق القياسية الرياضية فان ذلك يتم بالتعبير عن الدالة $P(\mu)$ على صورة متحللة قوى مع مراعاة ان لها
نقطتين شاذتين (مفردتين) Two Singular Points عند $\mu_0 = \pm 1$.

وبادخال المتغير المستقل ϵ بدلا من المتغير μ على الصورة :

$$\epsilon = (1 - \mu^2) \quad (6.38)$$

فان النقط المفردة $\mu_0 = \pm 1$ تتأبل $\epsilon_0 = 0$ وعلى ذلك فان متسلسلة القوى الخاصة بالدالة $P(\mu)$:

$$P(\mu) = \left| (\mu - \mu_0) \right| \sum_{n=0}^{\infty} a_n (\mu - \mu_0)^n \quad (6.39)$$

يمكن استبدالها بمتسلسلة قوى بدلالة المتغير ϵ على الصورة التالية :

$$P(\epsilon) = (\epsilon - \epsilon_0)^r \sum_{n=0}^{\infty} a_n (\epsilon - \epsilon_0)^n \quad (6.40)$$

وحيث ان $\epsilon_0 = 0$ فان الحل يكتب على الصورة الاتية :

$$P(\epsilon) = \epsilon^r \sum_{n=0}^{\infty} a_n \epsilon^n = \sum_{n=0}^{\infty} a_n \epsilon^{n+r} \quad (6.41)$$

وعلى ذلك :

$$\frac{dP}{d\epsilon} = \sum_{n=0}^{\infty} a_n (n+r) \epsilon^{n+r-1} \quad (6.42)$$

$$\frac{d^2P}{d\epsilon^2} = \sum_{n=0}^{\infty} a_n (n+r) (n+r-1) \epsilon^{n+r-2} \quad (6.43)$$

وحيث ان :

$$\frac{d}{d\mu} = \frac{d\epsilon}{d\mu} \frac{d}{d\epsilon} = -2\mu \frac{d}{d\epsilon} = \mp 2 \sqrt{1-\epsilon} \frac{d}{d\epsilon} \quad (6.44)$$

$$\epsilon \frac{d^2}{d\mu^2} = -2 \frac{d}{d\epsilon} + 4(1-\epsilon) \frac{d^2}{d\epsilon^2} \quad (6.45)$$

تصبح المعادلة (6.37) على الصورة التالية :

$$\epsilon \left[4 (1 - \epsilon) \frac{d^2}{d\epsilon^2} - 2 \frac{d}{d\epsilon} \right] P(\epsilon) - 2 (1 - \epsilon) (-2 - \epsilon \frac{d}{d\epsilon}) P(\epsilon) + \left[\lambda - \frac{m^2}{\epsilon} \right] P(\epsilon) = 0 \quad (6.46)$$

$$4 \epsilon (1 - \epsilon) \frac{d^2}{d\epsilon^2} P(\epsilon) - 2 \epsilon \frac{dP(\epsilon)}{d\epsilon} + 4 (1 - \epsilon) \frac{dP(\epsilon)}{d\epsilon} + \left[\lambda - \frac{m^2}{\epsilon} \right] P(\epsilon) = 0 \quad (6.47)$$

$$\therefore 4 \epsilon (1 - \epsilon) \frac{d^2}{d\epsilon^2} P(\epsilon) + \{4 - 6\epsilon\} \frac{dP(\epsilon)}{d\epsilon} + \left[\lambda - \frac{m^2}{\epsilon} \right] P(\epsilon) = 0 \quad (6.48)$$

وبالتعويض في (6.48) من (6.41) * (6.42) * (6.43) ونتجبت معادلات القوى المتساوية للمتغير ϵ نحصل على :

$$\sum_{n=0}^{\infty} \left\{ 4(n+r) (n+r-1) + 4(n+r) - m^2 \right\} a_n \epsilon^{n+r-1} + \sum_{n=0}^{\infty} \left\{ \lambda - 4(n+r) (n+r-1) - 6(n+r) \right\} a_n \epsilon^{n+r} = 0 \quad (6.49)$$

بساواة معامل المتغير : المقوم لاصغر قوة وهي $(r-1)$ بالمفر نحصل على :

$$\left\{ 4 r (r-1) + 4 r - m^2 \right\} a_0 = 0 \quad (6.50)$$

وحيث ان a_0 لاتساوى صفرا فان :

$$4 r (r-1) + 4 r - m^2 = 0$$

$$\therefore r = \frac{1}{2} |m| \quad (6.51)$$

بينما اذا اردنا مساواة معامل \in^{n+r} بالصفر فيجب اولا ان نمثّل في التسلسلة الاولى من المعادلة (4.49) كل n بالقيمة $(n+1)$ وعلى ذلك نحصل على :

$$\sum \left\{ 4 (n+1+r) (n+r) + 4 (n+1+r) - m^2 \right\} a_{n+1} \in^{n+r} \\ + \sum \left\{ \lambda - 4 (n+r) (n+r-1) - 6 (n+r) \right\} a_n \in^{n+r} = 0 \quad (6.52)$$

$$\therefore a_{n+1} = \frac{4 (n+r) (n+r-1) + 6(n+r) - \lambda}{4 (n+r+1) (n+r) + 4 (n+r+1) - m^2} \cdot a_n \quad (6.53)$$

وحيث ان الدالة $P(\epsilon)$ يجب ان تكون حصة السلوك وذات قيمة محدودة فمعنى ذلك ان التسلسلة يجب ان تنتهى عند حد معين وليكن الحد الذى فيه المعامل a_n ومعنى ذلك بالتالى ان المعامل a_{n+1} يجب ان يماوى صفر وهذا معناه :

$$4 (n+r) \left[(n+r) - 1 + 6 (n+r) \right] - \lambda = 0$$

$$\therefore \lambda = 4 (n+r)^2 + 2 (n+r)$$

$$= 2 (n+r) \left\{ 2 (n+r) + 1 \right\}$$

$$= (2n+2r) \left\{ (2n+2r) + 1 \right\}$$

$$= (n' + m) ((n' + m) + 1)$$

$$\therefore \lambda = \ell (\ell + 1)$$

حيث

$$\ell = n' + |m|$$

مع مراعاة ان

$$n' = 0, 2, 4, 6, \dots$$

بينما

$$|m| = 0, 1, 2, 3, \dots$$

أى ان

$$l = n' + m = 0, 1, 2, 3, 4, \dots$$

وحيث ان

$$|m| = l - n'$$

إذا أكبر قيمة $|m|$ هى التى تقابل n' تساوى صفراً أى ان أكبر قيمة m هى $\pm l$.

$$\therefore m = 0, \pm 1, \pm 2, \dots, \pm l \quad (6.54)$$

أى ان لعدد الكم المغناطيسى قيا عددها $(2l + 1)$ قيمة ممكنة وبالتحديد عن

فى المعادلة (6.41) نجد ان :

$$P(\epsilon) = (1 - \mu^2)^{\frac{1}{2}} |m| \sum a_n (1 - \mu^2)^n$$

$$= (1 - \mu^2)^{\frac{1}{2}} |m| B(\mu) \quad (6.55)$$

وعلى ذلك تصبح المعادلة (6.37) على الصورة الاتية :

$$(1 - \mu^2) \frac{d^2 B(\mu)}{d\mu^2} - 2(|m| + 1) \mu \frac{dB(\mu)}{d\mu}$$

$$+ l(l + 1) - |m|(|m| + 1) B(\mu) = 0 \quad (6.56)$$

وهذه هي معادلة ليجندر المرتبطة Legendre's Associated Equation
يتبعها للنظر القياسية لمعالجتها فإن حلول هذه المعادلة هي ما تسمى بدوال لجندر
المرتبطة Associated Legendre's Functions وتأخذ الصورة التالية :

$$P_l^{|m|}(\mu) = (1 - \mu^2)^{\frac{1}{2}|m|} \frac{d^{|m|}}{d\mu^{|m|}} P_l(\mu) \quad (6.57)$$

حيث $P_l(\mu)$ تنايل الحالة الخاصة التي فيها $m = 0$ وعندئذ تسمى هذه الدالة
 $P_l^0(\mu)$ بدالة لجندر العادية . وعلى ذلك فإن الدالة المشتركة للمتغيرين θ و ϕ
أى $Y(\theta, \phi)$ هي :

$$\begin{aligned} Y(\theta, \phi) &= Y_{lm}(\theta, \phi) = N_{lm} P_l^m(\cos \theta) \Phi_m(\phi) \\ &= N_{lm} P_l^m(\cos \theta) \cdot \frac{e^{im\phi}}{\sqrt{2\pi}} \end{aligned} \quad (6.58)$$

حيث N_{lm} هو ثابت المعايرة للدالة Normalization Factor ونحصل عليه
من شرط المعايرة وخاصية التعامدية :

$$\begin{aligned} &\int_0^{2\pi} \int_0^\pi Y_{l'm'}(\theta, \phi) Y_{lm}(\theta, \phi) \sin \theta d\theta d\phi \\ &= \int_0^{2\pi} \int_0^\pi Y_{l'm'}^*(\theta, \phi) Y_{lm}(\theta, \phi) \sin \theta d\theta d\phi \\ &= \delta_{ll'} \delta_{m'm} = 1 \quad \text{if } l = l', m = m' \\ &= 0 \quad \text{if } l \neq l' \text{ or } m \neq m' \end{aligned}$$

وإذا يؤدي إلى العلاقة التالية لهذا الثابت N_{lm}

$$N_{lm} = \frac{(2l+1)(l-|m|)!}{4\pi(l+|m|)!} \quad (6.59)$$

ويتبقى لدينا الآن معالجة معادلة شرودنجر الخاصة بالدالة النصف قطريية $R(r)$ للوصول الى الصورة النهائية للدالة الموجية $\psi(r, \theta, \phi)$ وهذا يتم على التحو التالي :

$$\frac{1}{r^2} \frac{d}{dr} \left(r^2 \frac{d}{dr} \right) R(r) + \left[\frac{2\mu E}{\hbar^2} + \frac{2\mu Ze^2}{4\pi\epsilon_0 r \hbar^2} - \frac{l(l+1)}{r^2} \right] R(r) = 0 \quad (6.60)$$

حيث عوضنا عن الثابت λ باستدار $l(l+1)$ وعن $V(r)$ بالمعيار $(-Ze^2/4\pi\epsilon_0 r)$

ومن المناسب تبسيط المعادلة (6.60) باستبدال الدالة $R(r)$ بدالة جديدة $u_l(r)$ العلاقة بينهما هي :

$$u_l(r) = r R(r) \quad (6.61)$$

فتصبح المعادلة (6.60) على الصورة التالية :

$$\frac{d^2 u_l}{dr^2} - \frac{l(l+1)}{r^2} u_l(r) + \frac{2\mu}{\hbar^2} \left(\frac{Ze^2}{4\pi\epsilon_0 r} + E \right) u_l(r) = 0 \quad (6.62)$$

مع مراعاة ان الدالة u_l تتصف بانها تعتمد على قيمة عدد الكم l كما انها تحقق كلا من شروط المعايير وشروط التلاشي عند $r=0$ ، $r=\infty$

ولتبسيط المعالجة الرياضية مرة اخرى نغير عن التعبير المتقل r بوحدات نصف قطر بورر r_B بحيث :

$$\frac{r}{r_B} = \rho \quad (6.63)$$

حيث

$$r_B = \frac{4\pi\epsilon_0 \hbar^2}{\mu Ze^2}$$

وبذلك نكون قد استبدلنا البعد r بمتغير ρ ليس له ابعاد * وبالمثل
 نستبدل الطاقة الكلية E بكمية ليس لها ابعاد وذلك بالتعبير عن E
 بدلالة ثابت ريدبرج ϵ_{Rd} حيث

$$\epsilon = \frac{E}{\epsilon_{Rd}} \quad (6.64)$$

$$\epsilon_{Rd} = \frac{4\pi Z^2 e^4}{h^2} \quad (6.65)$$

وعليه تصبح المعادلة (6.62) على الصورة الآتية :

$$\frac{d^2 u_l(\rho)}{d\rho^2} + \left[\frac{2Z}{\rho} - \frac{l(l+1)}{\rho^2} + \frac{\epsilon^2}{1} \right] u_l(\rho) = 0 \quad (6.65)$$

مع مراعاة ان الطاقة ϵ هي في الحقيقة كمية سالبة لأن الإلكترون في ذرة الهيدروجين
 وماشابهها يكون مجموعة مرتبطة (اي انه ليس حرا) ولذلك تكتب المعادلة الاخيرة
 (6.65) على الصورة التالية :

$$\frac{d^2 u_l(\rho)}{d\rho^2} + \left[\frac{2Z}{\rho} - \frac{l(l+1)}{\rho^2} - \epsilon \right] u_l(\rho) = 0 \quad (6.66)$$

وعند ما تقرب ρ من ما لا نهاية فان المعادلة (6.66) تختزل الى الصورة التالية :

$$\frac{d^2 u_l(\infty)}{d\rho^2} - \epsilon u_l(\infty) = 0 \quad (6.67)$$

فيكون الحل الاعمى هو Asymptotic Solution هو

$$u_l(\infty) = e^{-\sqrt{\epsilon}\rho} \quad (6.68)$$

حيث اخذنا في الاعتبار حسن سارنا للدالة u_l على هذا يكون الحل العام للدالة
 $u_l(\rho)$ هو

$$u_l(\rho) = u_l(\infty) \psi_l(\rho) = e^{-\sqrt{\epsilon} \cdot \rho} \psi_l(\rho) \quad (6.69)$$

وحيث ان المعادلة (6.66) تتصف بأن لها نقطة شاذة (متردة) عند $\rho_0 = 0$ لذا تتبع نفس الأسلوب المتبع في مثل هذه الحالة والذي أوضحناه عند إيجاد الحـل $\psi_l^m(0, \theta)$ وهذا معناه وضع الدالة $\psi_l(\rho)$ على الصورة التالية :

$$\psi_l(\rho) = \sum_k a_k (\rho - \rho_0)^{k+s} = \sum_k a_k \rho^{k+s} \quad (6.70)$$

$$\begin{aligned} \therefore \frac{du_l}{d\rho} &= e^{-\sqrt{\epsilon} \cdot \rho} \left(\sum_k a_k (k+s) \rho^{k+s-1} \right) \\ &\quad - \sqrt{\epsilon} \cdot e^{-\sqrt{\epsilon} \cdot \rho} \sum_k a_k \rho^{k+s} \end{aligned} \quad (6.71)$$

$$\begin{aligned} \therefore \frac{d^2 u_l}{d\rho^2} &= e^{-\sqrt{\epsilon} \cdot \rho} \left[\sum_k a_k (k+s)(k+s-1) \rho^{k+s-2} \right] \\ &\quad - \sqrt{\epsilon} e^{-\sqrt{\epsilon} \cdot \rho} \left[\sum_k a_k (k+s) \rho^{k+s-1} \right] \\ &\quad - \sqrt{\epsilon} e^{-\sqrt{\epsilon} \cdot \rho} \left[\sum_k a_k (k+s) \rho^{k+s-1} \right] \\ &\quad + \epsilon e^{-\sqrt{\epsilon} \cdot \rho} \left[\sum_k a_k \rho^{k+s} \right] \end{aligned} \quad (6.72)$$

$$\begin{aligned} \therefore e^{-\sqrt{\epsilon} \cdot \rho} &\left[\sum_k a_k (k+s)(k+s-1) \rho^{k+s-2} \right. \\ &\quad - 2\sqrt{\epsilon} \sum_k a_k (k+s) \rho^{k+s-1} \\ &\quad \left. + \epsilon \sum_k a_k \rho^{k+s} \right] \\ &+ \left[2 \sum_k a_k \rho^{k+s-1} - l(l+1) \sum_k a_k \rho^{k+s-2} \right. \\ &\quad \left. - \epsilon \sum_k a_k \rho^{k+s} \right] e^{-\sqrt{\epsilon} \cdot \rho} = 0 \end{aligned} \quad (6.73)$$

$$\begin{aligned} \therefore & \left[\sum_k a_k (k+s)(k+s-1) \rho^{k+s-2} - 2\sqrt{\epsilon} \sum_k (k+s) \rho^{k+s-1} \right] \\ & + \left[2 \sum_k a_k \rho^{k+s-1} - \ell(\ell+1) \sum_k a_k \rho^{k+s-2} \right] = 0 \end{aligned} \quad (6.74)$$

وبسأواة معامل أقل قوة (s-2) للمتغير ρ بالصفر نحصل على :

$$s(s-1) - \ell(\ell+1) = 0$$

$$\therefore s = -\ell \quad (6.75)$$

$$s = \ell + 1 \quad (6.76)$$

ولكن الحل $s = -\ell$ لا يحقق الشرط الحدى عند نقطة الاصل ($\rho = 0$) لذا يجب علينا استبعاداه ويتبقى الحل المقابل $s = \ell + 1$ وبالتحديد عن $s = \ell + 1$ في المعادلة (6.74) مع استبدال القيمة k بالقيمة $k+1$ في المتكاملة الاولى فقط للحصول على معامل $\rho^{k+\ell}$ نجد ان :

$$\begin{aligned} & \sum_k a_{k+1} (k+\ell+2)(k+\ell+1) \rho^{k+\ell} - \ell(\ell+1) a_{k+1} \rho^{k+\ell} \\ & - 2\sqrt{\epsilon} \sum_k a_k (k+\ell+1) \rho^{k+\ell} + 2 \sum_k a_k \rho^{k+\ell} = 0 \end{aligned} \quad (6.77)$$

$$\begin{aligned} & \sum_k \left[\{ (k+\ell+2)(k+\ell+1) - \ell(\ell+1) \} a_{k+1} \right. \\ & \left. - 2 \{ \sqrt{\epsilon} (k+\ell+1) \} a_k \right] \rho^{k+\ell} = 0 \end{aligned} \quad (6.78)$$

هذه المعادلة صحيحة لجميع قيم ρ وهذا معناه ان معامل ρ مرفوعة لأى قوة $k+\ell$ يجب ان يكون مساويا للصفر على هذا نحصل على معادلة ربط المتماثلات الاتية :

$$a_{k+1} = \frac{2(\sqrt{\epsilon}(k+l+1) - Z)}{(k+l+2)(k+l+1) - l(l+1)} a_k \quad (6.79)$$

وبما ان التسلسلة يجب ان تكون ذات قيمة محدودة اى يجب ان تنتهى عند حد معين وليكن الحد رقم k هو آخر حد فيها لذلك فالمعامل a_{k+1} يجب ان يساوى صفرا وهذا معناه ان :

$$\sqrt{\epsilon}(k+l+1) = Z \quad (6.80)$$

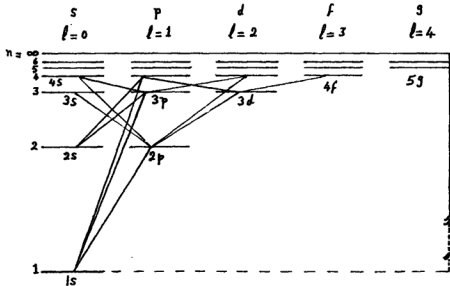
$$(k+l+1) = n \quad \text{وبوضع}$$

$$\therefore \sqrt{\epsilon} \cdot n = Z$$

$$\therefore \epsilon = \frac{Z^2}{n^2} \quad (6.81)$$

$$\therefore E = - \frac{e R_d Z^2}{n^2} \quad (6.82)$$

حيث $n = 1, 2, 3, \dots$ وهى نفس النتيجة التى حصل عليها العالم برهرفيل اكتشاف ميكانيكا الكم بحوالى احدى عشر عاما كما هو معلوم *



شكل (١-٦) توضيح توزيع مستويات الطاقة لذرات شبيهة الهيدروجين تبعاً للمعالجة شروط نجر * مع ملاحظة ان الانتقالات المسموح بها بين تلك المستويات تنصف بتغير فى قيمة عدد الكم l مساوياً للوحدة *

شال (١-٦) :

عين مستويات الطاقة والدوال الموجية المقابلة لجسيم يتحرك داخل بئر جهدي يتميز بتماثل كروي ونصف قطره a والصفات الحدية التالية :

في حالة r اصغر من a $V(r) = 0$ ($r < a$)
وفي حالة r اكبر من a $V(r) = \infty$ ($r > a$)

الحل :

في حالة متذبذب توافق متجانس في الابعاد الثلاثة فان طاقة الوضع تأخذ الصورة :

$$V = \frac{1}{2} m \omega^2 (x^2 + y^2 + z^2)$$

$$= \frac{1}{2} m \omega^2 r^2$$

وعلى ذلك فان الجهد يتميز بتماثل كروي وبالتالي فمن الممكن حل معادلة شرودنجر باستخدام الاحداثيات الكرية . حيث يكون الجزء الزاوي من الدالة الموجية هو الدالة التوافقية الكرية $Y_{lm}(\theta, \phi)$ ويمكن اذًا كتابة الدالة الموجية بالصورة :

$$\psi(r, \theta, \phi) = R(r) Y_{lm}(\theta, \phi)$$

حيث الجزء النصف قطري من الدالة الموجية $R(r)$ يحقق المعادلة :

$$\frac{d^2 R}{dr^2} + \frac{2}{r} \frac{dR}{dr} + \frac{2m}{\hbar^2} \left[E - \frac{\hbar^2}{2m} \frac{l(l+1)}{r^2} - \frac{m\omega^2 r^2}{2} \right] R(r) = 0$$

وبادخال متغير يتميز بأنه ليس له ابعاد :

$$\xi = \frac{m\omega}{\hbar} r^2$$

نحصل على :

$$\frac{d^2 R}{d\xi^2} + \frac{3}{2} \frac{dR}{d\xi} + \left[\frac{E}{2R\omega} - \frac{l(l+1)}{4\xi} - \frac{\xi}{4} \right] R(\xi) = 0$$

وعند $\xi \rightarrow \infty$ (ξ تقرب من ما لا نهاية) فان حل تلك المعادلة يصبح

$$R(\xi) \sim e^{\pm \frac{\xi}{2}}$$

وهذا يشير الى امكانية الوصول الى حل دقيق للمعادلة اعلاه على صورة :

$$R(\xi) = e^{-\frac{\xi}{2}} \cdot \sum_{r=0}^{\infty} a_r \xi^{r+s}$$

وبالتعويض في المعادلة التفاضلية التي نود حلها نحصل على :

$$s(s-1) + \frac{3}{2}s - \frac{l(l+1)}{4} = 0$$

وجذورها التمييزي الموجب هو :

$$s = \frac{1}{2}l$$

(ويعتمد الجذر التمييزي السالب حيث ذلك يؤدي الى جعل الدالة

تقرب من ∞ عند $r = 0$ وعلى ذلك فان باستطاعتنا فرض الحل بالصورة :

$$R(\xi) = e^{-\frac{\xi}{2}} \xi^{\frac{l}{2}} W(\xi)$$

حيث يحقق الجزء $W(\xi)$ العلاقة التالية :

$$\xi \frac{d^2 W}{d\xi^2} + [c - \xi] \frac{dW}{d\xi} - b W(\xi) = 0$$

وفيها $c = l + \frac{3}{2}$ ، $b = -\frac{E}{2R\omega} + \frac{l}{2} + \frac{3}{2}$ وهذه المعادلة

هي المعادلة الهندسية التي ينتهي اليها في التحليل الحالي وحلها الذي يسمي

بعدم التفرق عند $\xi = 0$:

$$W(\xi) = {}_1F_1(b, c, \xi)$$

$$= \left[1 + \frac{b}{c} \frac{\xi}{1!} + \frac{b(b+1)}{c(c+1)} \frac{\xi^2}{2!} + \frac{b}{c} \frac{(b+1)(b+2)}{(c+1)(c+2)} \frac{\xi^3}{3!} + \dots \right]$$

وإذا لم توضح نهاية لهذه المتسلسلة فإن الدالة P يحدث أن تتفرق مثل $\exp(\xi)$ عندما تقرب ξ من ∞ ، ومعنى هذا أن $R(\xi)$ هي بالتالي تتفرق مثل $\exp(\xi/2)$ وعلى ذلك يجب أن يوضع نهاية للمتسلسلة وهذا يعني أن :

$$b = 0, -1, -2$$

$$b_i = -\frac{E}{2\hbar\omega} + \frac{l}{2} + \frac{3}{2} = -p ; \quad \left[p = 0, 1, 2, \dots \right]$$

$$b_i = E = \hbar\omega \left[l + 2p + \frac{3}{2} \right]$$

ويتضح من هذه النتيجة أن التجاذب التوافقي الثلاث ابعاد يتميز بمجموعة لانائية من مستويات طاقة منفصلة بقيم متساوية عن بعضه .

وباستخدام الخصائص الأساسية للدوال الهندسية يمكن توضيح أن السدوال الأيجينية المعايير تعطى كما يلي :

$$\psi(r, \theta, \phi) = \sqrt{2} \left(\frac{m\omega}{\hbar} \right)^{\frac{l+3}{4}} \left[\frac{(l + \frac{3}{2})(l + \frac{5}{2}) \dots (l + p + \frac{1}{2})}{\Gamma(l + \frac{3}{2}) p!} \right]^{\frac{1}{2}}$$

$$\cdot \exp \left(-\frac{m\omega r^2}{2\hbar} \right) r^l {}_1F_1(-p, l + \frac{3}{2}, \frac{m\omega r^2}{\hbar}) Y_{lm}(\theta, \phi)$$

عندما تكون $p = 1, 2, 3$

بيننا :

$$\psi(r, \theta, \phi) = \left[\frac{2}{\Gamma(l + \frac{3}{2})} \right]^{\frac{1}{2}} \left(\frac{m\omega}{\hbar} \right)^{\frac{l+3}{4}} \exp \left(-\frac{m\omega r^2}{2\hbar} \right) r^l Y_{lm}(\theta, \phi)$$

عندما تكون $p = 0$

الباب السابع

المعالجة الرياضية التقريبية في ميكانيكا الكم
نظرية الاقلاق أو الاضطراب

MATHEMATICAL APPROXIMATION METHODS IN QUANTUM ME-
CHANICS
(PERTURBATION THEORY)

الباب السابع

المعالجة الرياضية التقريبية في ميكانيكا الكم
نظرية الاقلاق أو الاضطراب

MATHEMATICAL APROXIMATION METHODS IN QUANTUM MECHANICS
(PERTURBATION THEORY)

يقابلنا في ميكانيكا الكم عدد قليل للغاية من المسائل الفيزيائية التي يمكن معالجتها
معالجة رياضية دون أي تقريب بينما معظم المسائل الأخرى تكون أكثر تعقيدا لدرجة
أنه من المستحيل معالجتها دون تقريب ولذلك فانه من المعتاد أن تتم مثل هذه
المعالجات في اطار طرق تقريبية من أهمها ما يسمى بطرق الاقلاق .

ويُقصد بالاقلاق هو أن تتعرض المجموعة الفيزيائية لمؤثرات (عوامل الاقلاق) ينتج
عنها ان تتغير المستويات الذاتية الأصلية (مستويات ما قبل الاقلاق) Unperturbed
الى مستويات ذاتية أخرى تسمى مستويات ما بعد الاقلاق — Perturbed — وهذه
يقابلها ما يسمى بالدوال الذاتية الناتجة عن عملية الاقلاق (Perturbed
Eigenfunctions) . مثال ذلك :

- ١ — تعرض مجموعة ذرات لمادة ما لمجالات كهرومغناطيسية .
- ٢ — استطارة حزمة من الجسيمات الأولية تحت تأثير المجال النوى لانوية ذرات المادة
التي تخترقها تلك الجسيمات .
- ٣ — انبعاث اشعاعات العيزر والليزر تحت ظروف محددة .

وطريقة الاقلاق تعتمد اساسا على اعتبار ان المعاملة الهاميلتونية \hat{H} للمجموعة
الفيزيائية دعى تحت تأثير عامل الاقلاق (الاضطراب) مكونة من جزئين اولهما \hat{H}_0

يتأهل المعاملة الهاميلتونية للمجموعة الفيزيائية في حالة غياب عامل الاقلاق وتأتيها \hat{H}_0 ويتعرض فيه دائما أنه يمثل جزءا صغيرا بالنسبة للمعاملة \hat{H}_0 وفي ضوء ذلك يمكن كتابة معادلة شرودنجر للمجموعة الفيزيائية التي تعرضت للاقلاق على الصورة الآتية :

$$\hat{H} \psi_n = E_n \psi_n \quad (7.1)$$

مع مراعاة الشروط الحدية المعتادة . حيث :

$$\hat{H} = \hat{H}^{(0)} + \hat{H}^{(1)} \quad (7.2)$$

وفي المقابل :

$$\psi_n = \psi_n^{(0)} + \psi_n^{(1)} \quad (7.3)$$

حيث $\psi_n^{(0)}$ و $\psi_n^{(1)}$ معياريتين . مع ملاحظة ان :

$$E_n = E_n^{(0)} + E_n^{(1)} \quad (7.4)$$

وأن $E_n^{(1)}$ و $\psi_n^{(1)}$ التغيرات الاقلاقية في كل من E_n و ψ_n نتيجة تأثير $\hat{H}^{(1)}$.
علامة على ذلك بكتابة كل من مستويات الطاقة والدوال على الصورة ψ_n و E_n فان ذلك سببه انها تتأهل احداها الاخرى بمعنى أن $\psi_n^{(0)}$ هي الحالة التي تتأهل اليها ψ_n في حالة تلاشي طاقة الاقلاق تدريجيا .

وتتخذ الطريقة العامة للمعالجة التقريبية التي نحن بصدد هنا بأنه يعبر عن كل من الدوال ψ_n والمستويات E_n على صورة متسلسلة بدلالة قوى لمعامل الاقلاق λ وقيته اصغر من الواحد الصحيح ويصنف من المعاملة الآتية :

$$\hat{H}^{(1)} = \lambda \hat{H}^{(1)} + \lambda^2 \hat{H}^{(2)} + \lambda^3 \hat{H}^{(3)} + \dots \quad (7.5)$$

فأخذ المتسلسلة الخاصة بالدوال ψ_n و الخاصة بالمستويات E_n الصور التالية :

$$\psi_n = \psi_n^{(0)} + \lambda \psi_n^{(1)} + \lambda^2 \psi_n^{(2)} + \dots \quad (7.6)$$

$$E_n = E_n^{(0)} + \lambda E_n^{(1)} + \lambda^2 E_n^{(2)} + \dots \quad (7.7)$$

وحيث ان المعامل الاختياري λ المتغير فيه ان قيمته صغيرة لدرجة اعتبار $\lambda \hat{H}^{(1)}$ صغيرة جداً بالنسبة للمعامل \hat{H}_0 فانه يكفى في معادلة (7.5) بالحد الاول فقط اى نضع :

$$\hat{H} = \hat{H}^{(0)} + \lambda \hat{H}^{(1)} \quad (7.8)$$

وعلى ذلك فانه بالتعويض من المعادلات (7.8) ، (7.6) ، (7.7) فى المعادلة (7.1) :

$$\begin{aligned} & (\hat{H}^{(0)} + \lambda \hat{H}^{(1)}) (\psi_n^{(0)} + \lambda \psi_n^{(1)} + \lambda^2 \psi_n^{(2)} + \dots) \\ &= (E_n^{(0)} + \lambda E_n^{(1)} + \lambda^2 E_n^{(2)} + \dots) (\psi_n^{(0)} + \lambda \psi_n^{(1)} + \lambda^2 \psi_n^{(2)} + \dots) \end{aligned} \quad (7.9)$$

$$\begin{aligned} \therefore \hat{H}^{(0)} \psi_n^{(0)} + \lambda \hat{H}^{(0)} \psi_n^{(1)} + \lambda^2 \hat{H}^{(0)} \psi_n^{(2)} + \dots \\ + \lambda \hat{H}^{(1)} \psi_n^{(0)} + \lambda^2 \hat{H}^{(1)} \psi_n^{(1)} + \lambda^3 \hat{H}^{(1)} \psi_n^{(2)} + \dots \\ - E_n^{(0)} \psi_n^{(0)} - \lambda E_n^{(0)} \psi_n^{(1)} - \lambda^2 E_n^{(0)} \psi_n^{(2)} - \dots \\ - \lambda E_n^{(1)} \psi_n^{(0)} - \lambda^2 E_n^{(1)} \psi_n^{(1)} - \lambda^3 E_n^{(1)} \psi_n^{(2)} - \dots \\ - \lambda^2 E_n^{(2)} \psi_n^{(0)} - \lambda^3 E_n^{(2)} \psi_n^{(1)} - \dots \end{aligned}$$

$$= 0 \quad (7.10)$$

ولكى تكون هذه المعادلة صحيحة يجب ان يساوى كل من معاملات القوى المختلفة للمعامل λ كل على حدة القدار صفر . أى ان :

$$\hat{H}(0)\psi_n(0) - E_n(0)\psi_n(0) = 0 \quad (7.11)$$

$$\hat{H}(0)\psi_n(1) + \hat{H}(1)\psi_n(0) - E_n(0)\psi_n(1) - E_n(1)\psi_n(0) = 0 \quad (7.12)$$

$$\begin{aligned} &\hat{H}(0)\psi_n(2) + \hat{H}(1)\psi_n(1) - E_n(0)\psi_n(2) - E_n(1)\psi_n(1) \\ &\quad - E_n(2)\psi_n(0) = 0 \quad (7.13) \\ &\dots\dots\dots \text{الخ} \end{aligned}$$

ونلاحظ ان المعادلة الاولى تتعلق بالمجموعة التيزائية قبل ان تتعرض لمعامل الاقلاق وهى محققة تلقائيا .

أما المعادلة الثانية (7.12) فان حلها يؤدي الى تعيين قيمة $E_n(1)$ وهو يمثل التصحيح ذى الرتبة الاولى (First-order correction) الذى يجب ان يضاف الى القيمة $E_n(0)$ الخاصة بطاقة المجموعة التيزائية قبل الاقلاق .

وبالمثل فان المعادلة الثالثة (7.13) يؤدي حلها الى تعيين $E_n(2)$ وهو ما يسمى بالتصحيح ذى الرتبة الثانية (Second-order correction) وهكذا .

تعيين التصحيح ذى الرتبة الاولى في اطار نظرية الاقلاق التى لا تعتمد على الزمن :

أولاً :

لايجاد $E_n(1)$ نبدأ بالمعادلة (7.12) على الصورة الاتية :

$$(\hat{H}(0) - E_n(0))\psi_n(1) = (E_n(1) - \hat{H}(1))\psi_n(0) \quad (7.14)$$

لحل المعادلة (7.14) نعبر عن الدالة $\psi_n^{(1)}$ على صورة متسلسلة كما يلي :

$$\psi_n^{(1)} = \sum_m a_m^{(1)} \psi_m^{(0)} \quad (7.15)$$

حيث $a_m^{(1)}$ هي معاملات غير معلومة ويتمين علينا تعيينها والدليل العكسي يعبر عن معالجتنا للجسيم الفيزيائية في اطار نظرية الاقلاق ذات الرتبة الاولى .

وبالتعويض من المعادلة (7.15) في المعادلة (7.14) نحصل على :

$$(\hat{H}^{(0)} - E_n^{(0)}) \sum_m a_m^{(1)} \psi_m^{(0)} = (E_n^{(1)} - \hat{H}^{(1)}) \psi_n^{(0)} \quad (7.16)$$

$$\therefore \sum_m a_m^{(1)} (\hat{H}^{(0)} - E_n^{(0)}) \psi_m^{(0)} = (E_n^{(1)} - \hat{H}^{(1)}) \psi_n^{(0)} \quad (7.17)$$

$$\therefore \sum_m a_m^{(1)} (E_m^{(0)} - E_n^{(0)}) \psi_m^{(0)} = (E_n^{(1)} - \hat{H}^{(1)}) \psi_n^{(0)} \quad (7.18)$$

ونضرب المعادلة (7.18) من اليمين في الدالة $\psi_n^{(0)*}$ واجزا التكامل نحصل على :

$$\begin{aligned} & \sum_m a_m^{(1)} (E_m^{(0)} - E_n^{(0)}) \int \psi_n^{(0)*} \psi_m^{(0)} d\tau \\ &= E_n^{(1)} \int \psi_n^{(0)*} \psi_n^{(0)} d\tau - \int \psi_n^{(0)*} \hat{H}^{(1)} \psi_n^{(0)} d\tau \end{aligned} \quad (7.19)$$

وحيث ان التكامل في الطرف الايسر من المعادلة (7.19) يساوي صفرا لجميع قيم m

فيما عدا القيمة $m = n$ وفي هذه الحالة فان القوس $(E_m^{(0)} - E_n^{(0)})$

يتلاشى . وهذا معناه ان الطرف الايسر للمعادلة (7.19) يساوي صفرا

بينما في الطرف الايمن فان التكامل الاول يساوي واحد صحيح وعلى ذلك نحصل على :

$$\therefore 0 = E_n^{(1)} - \int \psi_n^{(0)*} H^{(1)} \psi_n^{(0)} d\tau$$

$$\therefore E_n^{(1)} = \int \psi_n^{(0)*} H^{(1)} \psi_n^{(0)} d\tau = H_{nn}^{(1)} \quad (7.20)$$

أى ان التصحيح الأول للطاقة عبارة عن القيمة المتوقعة للحد الأول من حدود الاقلاق
في المعادلة الهاميلتونية

والقدر $\hat{H}_{nn}^{(1)}$ يسمى بعنصر المصفوفة الخارجيا المعادلة الهاميلتونية
للاقلاق .

مثال (١ - ٢)

مبتدأ بالمعادلة (7.18) وهي :

$$\sum_m a_m^{(1)} (E_m^{(0)} - E_n^{(0)}) \psi_m^{(0)} = E_n^{(1)} \psi_n^{(0)} - \hat{H} \psi_n^{(0)}$$

. m استنتج علاقة عامة تعطي قيمة المعاملات $a_m^{(1)}$ لأي قيمة للدليل

الحل :

لنبدأ بضرب المعادلة المعطاة في الدالة $(\psi_j^{(0)})^*$ من جهة اليمين
ونجرب عملية التكامل كالمعتاد :

$$\begin{aligned} & \sum_m a_m^{(1)} (E_m^{(0)} - E_n^{(0)}) \int (\psi_j^{(0)})^* \psi_m^{(0)} d\tau \\ &= E_n^{(1)} \int (\psi_j^{(0)})^* \psi_n^{(0)} d\tau - \int (\psi_j^{(0)})^* \hat{H} \psi_n^{(0)} d\tau \\ \therefore \sum_m a_m^{(1)} (E_m^{(0)} - E_n^{(0)}) \delta_{jm} &= E_n^{(1)} \delta_{jn} - H'_{jn} \quad (1) \end{aligned}$$

عندما يكون $m = j$ ، $j \neq n$ فإن المعادلة (i) تأخذ الصورة التالية :

$$a_j^{(1)} (E_j^{(0)} - E_n^{(0)}) = - H_{jn}^{(1)} \quad (ii)$$

$$\therefore a_j^{(1)} = \frac{H_{jn}^{(1)}}{(E_n^{(0)} - E_j^{(0)})} \quad (iii)$$

الملاحظة (iii) تعطى جميع قيم المعاملات $a_j^{(1)}$ ما عدا المعامل $a_n^{(1)}$ أى المعامل الذى فيه $j = n$ وهذه الحالة الخاصة يمكننا حلها كما يلى :

نعلم أن الدالة ψ_n يجب أن تحقق شرط المعايرة ويمكن كتابته على الصورة التالية :

$$\int \psi_n^* \psi_n d\tau = \langle \psi_n, \psi_n \rangle = 1 \quad (iv)$$

وحيث أن الدالة ψ_n يمكن كتابتها على الصورة (راجع معادلة "7.15") :

$$\psi_n = \psi_n^{(0)} + \lambda \psi_n^{(1)} + \lambda^2 \psi_n^{(2)}$$

$$\psi_n^{(1)} = \sum_m a_m^{(1)} \psi_m^{(0)} \quad \text{بينما}$$

$$\therefore \psi_n = \psi_n^{(0)} + \lambda \left[a_n^{(1)} \psi_n^{(0)} + \sum_{(m \neq n)} \frac{H_{mn}^{(1)}}{E_n^{(0)} - E_m^{(0)}} \psi_m^{(0)} \right] \quad (v)$$

وبالتعويض من (v) فى (iv) نحصل على (مكتفين بالتقريب ذى الرتبة الأولى)

$$1 = \langle \psi^{(0)} + \lambda \psi_n^{(1)}, \psi_n^{(0)} + \lambda \psi_n^{(1)} \rangle$$

$$1 = \int \psi^{(0)*} \psi^{(0)} d\tau + \lambda \left[\int \psi_n^{(1)*} \psi_n^{(0)} d\tau + \int \psi_n^{(0)*} \psi_n^{(1)} d\tau \right] + 0$$

$$\therefore 1 = 1 + \lambda \left[\int (\psi_n^{(1)})^* \psi_n^{(0)} d\tau + \int (\psi_n^{(0)})^* \psi_n^{(1)} d\tau \right] = 0$$

$$\therefore \left[\int (\psi_n^{(1)})^* \psi_n^{(0)} d\tau + \int (\psi_n^{(0)})^* \psi_n^{(1)} d\tau \right] = 0$$

$$\therefore \sum_m a_n^{(1)*} \int \psi_m^{(0)*} \psi_n^{(0)} d\tau + \sum_m a_m^{(1)} \int \psi_n^{(0)*} \psi_m^{(0)} d\tau$$

$$\therefore (a_n^{(1)})^* + a_n^{(1)} = 0 \quad (vii)$$

$$a_n^{(1)} = A + iB$$

وبوضع المعامل

نجد ان المعادلة (vii) تؤدي الى أن :

$$(A - iB) + (A + iB) = 0$$

$$2A = 0$$

$$\therefore a_n^{(1)} = (iB) \quad \text{أي ان المعامل } a_n \text{ عبارة عن كمية تخيلية} :$$

وبوضع هذه النتيجة في معادلة رقم (7.5) نحصل على :

$$\psi_n = \psi_n^{(0)} + iB \lambda \psi_n^{(0)} + \lambda \sum_{m \neq n} \frac{H_{mn}^{(0)}}{E_n^{(0)} - E_m^{(0)}} \psi_m^{(0)}$$

$$\psi_n = (1 + iB \lambda) \psi_n^{(0)} + \lambda \sum_{m \neq n} \frac{H_{mn}^{(0)}}{E_n^{(0)} - E_m^{(0)}} \psi_m^{(0)}$$

$$\int \psi_n^* \psi_n d\tau = \int |(1 + iB \lambda)|^2 \psi_n^{(0)*} \psi_n^{(0)} d\tau + \dots$$

$$\therefore 1 = 1 + B^2 \lambda^2$$

$$\therefore B^2 \lambda^2 = 0$$

حيث أن λ^2 لا يتناوى صفراً

$$\therefore B = 0$$

$$\therefore a_n^{(1)} = 0$$

وهو المطلوب في المثال الحالي كطاقة خاصة عندما يكون $j = n$ في المعادلة (111) •

ثانياً : تعيين التصحيح ذي الرتبة الثانية في الطار نظرية الاقلاق التي لا تعتمد

على الزمن :

(Time Independent Second-Order Perturbation Correction)

في المعادلة (7.13) وهي :

$$\hat{H}^{(0)} \psi_n^{(2)} + \hat{H}^{(1)} \psi_n^{(1)} = E_n^{(0)} \psi_n^{(2)} + E_n^{(1)} \psi_n^{(1)} + E_n^{(2)} \psi_n^{(0)} \quad (7.13)$$

نقل الدوال $\psi_n^{(2)}$ بدلالة الدوال الذاتية للعائلة الهاميلتونية \hat{H}_0 على الصورة التي سبق استخدامها بالنسبة للدوال $\psi_n^{(1)}$ في المعادلة (7.15) أي أن :

$$\psi_n^{(2)} = \sum_m a_m^{(2)} \psi_m^{(0)} \quad (7.21)$$

والدليل الملقى (2) يحرر عن حقبة أننا نتابع الرتبة الثانية في الطار نظرية الاقلاق •

هاتمين في المعادلة (7.13) عن كل من $\psi_n^{(1)}$ و $\psi_n^{(2)}$ من المعادلتين (7.15) و (7.21) على التوالي نحصل على :

$$\begin{aligned} & \sum_m a_m^{(2)} \hat{H}^{(0)} \psi_m^{(0)} + \hat{H}^1 \sum_m a_m^{(1)} \psi_m^{(0)} \\ &= E_n^{(0)} \sum_m a_m^{(2)} \psi_m^{(0)} + E_n^{(1)} \sum_m a_m^{(1)} \psi_m^{(0)} + E_n^{(2)} \psi_n^{(0)} \dots \end{aligned}$$

ونضرب هذه المعادلة من جهة اليمين في $(\psi_k^{(0)})^*$ واجراء التكامل كالمعتاد
نحصل على :

$$\begin{aligned} & \sum_m a_m^{(2)} \int (\psi_k^{(0)})^* \hat{H}^0 \psi_m^{(0)} d\tau + \sum_m a_m^{(1)} \int (\psi_k^{(0)})^* \hat{H}^1 \psi_m^{(0)} d\tau \\ &= E_n^{(0)} \sum_m a_m^{(2)} \int (\psi_k^{(0)})^* \psi_m^{(0)} d\tau \\ &+ E_n^{(1)} \sum_m a_m^{(1)} \int (\psi_k^{(0)})^* \psi_m^{(0)} d\tau \\ &+ E_n^{(2)} \int (\psi_k^{(0)})^* \psi_n^{(0)} d\tau \end{aligned}$$

$$\begin{aligned} \therefore \sum_m a_m^{(2)} E_m^{(2)} \delta_{km} + \sum_m a_m^{(1)} \\ = E_n^{(0)} \sum_m a_m^{(2)} \delta_{km} + \hat{H}_{nn}^1 \sum_m a_m^{(1)} \delta_{km} + E_n^{(2)} \delta_{kn} \end{aligned}$$

$$\begin{aligned} \therefore a_k^{(2)} E_k^{(0)} + \sum_m a_m^{(1)} \hat{H}_{km}^1 \\ = E_n^{(0)} a_k^{(2)} + \hat{H}_{nn}^1 a_k^{(1)} + E_n^{(2)} \delta_{kn} \end{aligned}$$

$$\therefore a_k^{(2)} (E_k^{(0)} - E_n^{(0)}) + E_n^{(2)} \delta_{kn}$$

$$= \sum_m a_m^{(1)} \hat{H}_{km}^1 - a_k^{(1)} \hat{H}_{nn}^1 \quad (7.22)$$

وعندما تكون $n = k$ فإن :

$$\therefore 0 + E_n^{(2)} = \sum_m a_m^{(1)} H_{nm}^* - a_n^{(1)} H_{nn}^*$$

وحيث ان العامل $a_n^{(1)}$ يساوى صفرا (راجع صفحة ١١٧)

$$\therefore E_n^{(2)} = \sum_m a_m^{(1)} H_{nm}^* \quad (7.23)$$

حيث ان $a_n^{(1)}$ يساوى

$$\left[H_{nn}^* / (E_n^{(0)} - E_n^{(0)}) \right]$$

$$\therefore E_n^{(2)} = \sum_{(m \neq n)} \frac{H_{mn}^* H_{nm}^*}{E_n^{(0)} - E_m^{(0)}} \quad H_{nm}^* = (H_{mn}^*)^* \quad \text{حيث ان :}$$

$$\therefore E_n^{(2)} = \sum_{(m \neq n)} \frac{H_{mn}^*{}^2}{E_n^{(0)} - E_m^{(0)}} \quad (7.24)$$

وهذا يعطى التصحيح ذى الرتبة الثانية تبعاً لنظرية الاغلاق التى لا تعتمد على الزمان بالنسبة للقيم الذاتية للطاقة . وتود ان نشير هنا الى انه في حالة عدم تساوى $n = k$ أى ان $k \neq n$ فإن المعادلة (7.22) تتحول الى الصورة التالية :

$$a_k^{(2)} (E_n^{(0)} - E_k^{(0)}) = \sum_m a_m^{(1)} H_{km}^* - a_k^{(1)} H_{nn}^* \quad (7.25)$$

$$\therefore a_k^{(2)} = \sum_{(m \neq n)} \frac{H_{mn}^* H_{km}^*}{(E_n^{(0)} - E_m^{(0)})} - \frac{H_{kn}^* H_{nn}^*}{(E_n^{(0)} - E_k^{(0)})^2} \quad (7.26)$$

ندرية الاقلاق ذى الرتبة الاولى فى حالة وجود اضمحلال

degeneracy

(انتفاء متعدد) :

لتبسيط المسألة التى نحن بصدد حلها لنعتبر ان المجموعة الفيزيائية تتصف بحالة ميكانيكية كمية تناهية الانتفاء بمعنى ان هناك دالتين $\psi_1^{(0)}$ ، $\psi_2^{(0)}$ تنتميان لمستوى طاقة مشترك $E^{(0)}$.

أى ان :

$$H^{(0)} \psi_1^{(0)} = E^{(0)} \psi_1^{(0)} \quad (1)$$

$$H^{(0)} \psi_2^{(0)} = E^{(0)} \psi_2^{(0)}$$

وعليه فان الجمع الخطى لهاتين الدالتين $C_1 \psi_1^{(0)} + C_2 \psi_2^{(0)}$ يمثل ايضا حالة كمية تنتمى لنفس مستوى الطاقة المشترك $E^{(0)}$ أى ان :

$$\psi^{(0)} = C_1 \psi_1^{(0)} + C_2 \psi_2^{(0)} \quad (3)$$

$$H^{(0)} (C_1 \psi_1^{(0)} + C_2 \psi_2^{(0)}) = E^{(0)} (C_1 \psi_1^{(0)} + C_2 \psi_2^{(0)}) \quad (4)$$

ونفترض الان ان تلك المجموعة الفيزيائية تتعرض الى اقلاق صغير $H^{(1)}$ وعليه كما سبق تكون الحالة الهاميلتونية هى $(\hat{H}^{(0)} + \hat{H}^{(1)})$ وتكون الدالة الناتجة هى عبارة عن $\psi^{(1)} + \psi^{(0)}$ والتى يفترض فيها انها تختلف اختلافا بسيطا عن $\psi^{(0)}$ وعليه تأخذ معادلة شرودنجر الصورة التالية :

$$(\hat{H}^{(0)} + \hat{H}^{(1)}) (\psi^{(0)} + \psi^{(1)}) = (E^{(0)} + E^{(1)}) (\psi^{(0)} + \psi^{(1)}) \quad (5)$$

وبإهمال الكيتين الصغيرتين $\psi^{(1)}$ $\psi^{(1)}$ $\psi^{(1)}$ نجد ان :

$$(\hat{H}^{(0)} - E^{(0)}) \psi^{(1)} + (\hat{H}^{(1)} - E^{(1)}) \psi^{(0)} = 0$$

وبالتعويض عن $\psi^{(0)}$ من المعادلة الاولى نحصل على :

$$(H^{(0)} - E^{(0)}) \psi^{(1)} + (H^{(1)} - E^{(1)}) (C_1 \psi_1^{(0)} + C_2 \psi_2^{(0)}) = 0 \quad (6)$$

ويضرب هذه المعادلة في $\psi_1^{(0)*}$ من جهة اليسار ثم اجراء التكامل نحصل على :

$$\begin{aligned} & \int \psi_1^{(0)*} H^{(0)} \psi^{(1)} d\tau - \int \psi_1^{(0)*} E^{(0)} \psi^{(1)} d\tau \\ & + \int \psi_1^{(0)*} H^{(1)} C_1 \psi_1^{(0)} d\tau - \int \psi_1^{(0)*} E^{(1)} C_1 \psi_1^{(0)} d\tau \\ & + \int \psi_1^{(0)*} H^{(1)} C_2 \psi_2^{(0)} d\tau - \int \psi_1^{(0)*} E^{(1)} C_2 \psi_2^{(0)} d\tau = 0 \\ & \quad (7) \\ \therefore 0 - 0 + \int \psi_1^{(0)*} H^{(1)} C_1 \psi_1^{(0)} d\tau - \int \psi_1^{(0)*} E^{(1)} C_1 \psi_1^{(0)} d\tau \\ & + \int \psi_1^{(0)*} H^{(1)} C_2 \psi_2^{(0)} d\tau - 0 = 0 \end{aligned}$$

وباستخدام الاختصار التالي

$$\int \psi_1^{(0)*} H^{(1)} \psi_2^{(0)} d\tau = W_{12}$$

$$\therefore 0 + 0 + C_1 W_{11} - C_1 E^{(1)} + C_2 W_{12} - 0 = 0$$

$$\therefore (W_{11} - E^{(1)}) C_1 + W_{12} C_2 = 0 \quad (8)$$

وبالمثل بضمرب نفس المعادلة في $\psi_2^{(0)*}$ من اليسار ثم اجراء التكامل ايضا نحصل على :

$$\begin{aligned} & \int \psi_2^{(0)*} H^{(0)} \psi^{(1)} d\tau - \int \psi_2^{(0)*} E^{(0)} \psi^{(1)} d\tau \\ & + \int \psi_2^{(0)*} H^{(1)} C_1 \psi_1^{(0)} d\tau - \int \psi_2^{(0)*} E^{(1)} C_1 \psi_1^{(0)} d\tau \\ & + \int \psi_2^{(0)*} H^{(1)} C_2 \psi_2^{(0)} d\tau - \int \psi_2^{(0)*} E^{(1)} C_2 \psi_2^{(0)} d\tau = 0 \end{aligned}$$

(9)

$$\therefore W_{21} C_1 + W_{22} C_2 - E^{(1)} C_2 = 0$$

$$\therefore W_{21} C_1 + (W_{22} - E^{(1)}) C_2 = 0 \quad (10)$$

وهذان المعادلتان (8) و (10) تتحققان في نفس الوقت فقط اذا كانت المحددة الخاصة بمعاملات حدودهما تساوى صفراً أي ان :

$$\begin{vmatrix} W_{11} - E^{(1)} & W_{12} \\ W_{21} & W_{22} - E^{(1)} \end{vmatrix} = 0$$

أى ان :

$$(W_{11} - E^{(1)}) (W_{22} - E^{(1)}) - W_{12}W_{21} = 0$$

$$\therefore W_{11}W_{22} - E^{(1)} W_{11} - E^{(1)} W_{22} + [E^{(1)}]^2 - W_{12}W_{21} = 0$$

ومع ملاحظة ان

$$W_{12} = W_{21}^*$$

فإن

$$W_{12}W_{21} = |W_{12}|^2$$

$$\therefore [E^{(1)}]^2 - (W_{11} + W_{22}) E^{(1)} + (W_{11}W_{22} - |W_{12}|^2) = 0$$

$$\therefore E^{(1)} = \frac{(W_{11} + W_{22}) \pm \sqrt{(W_{11} + W_{22})^2 - 4 (W_{11}W_{22} - |W_{12}|^2)}}{2}$$

$$\therefore E^{(1)} = \frac{1}{2} \left\{ W_{11} + W_{22} \pm \left[(W_{11} - W_{22})^2 + 4 |W_{12}|^2 \right]^{\frac{1}{2}} \right\} \quad (11)$$

وحيث ان الظروف الفيزيائية في المعتاد لا تؤدي الى احتمال ان $W_{11} = W_{22}$ ونفى الوقت مساواة W_{12} بالصفر فهذا معناه ان حالة الكم للجوية الفيزيائية تحت تأثير عامل الاطلاق تفقد الصفة التي كانت عليها من ناحية الانتماء الى مستوى طاقة مشترك $E^{(0)}$ وتؤدي الى ظهور حالتين كميتين مختلفتين احدهما يتناسب

$$\left\{ \begin{array}{l} E^{(0)} + E^{(1)} \\ E^{(0)} - E^{(1)} \end{array} \right\} \quad \begin{array}{l} \text{الاشارة (+) اى تنتمى الى مستوى طاقة} \\ \text{والاخرى تقابل الاشارة (-) اى تنتمى الى مستوى طاقة} \end{array}$$

وتعتبر هذه النتيجة واحدة من اهم المظاهر المميزة لميكانيكا الكم عن الميكانيكا الكلاسيكية " النيوتونية " (هذه النتيجة مثلاً هى التى ادت الى فهم الكثير من الخصائص الكهربائية للمواد العازلة والموصله والشبه موصله وبالتالي ادت الى اكتشاف الترانزستور) *

شال (٧ - ٢) :

وضع انه في حالة كون القيمة المتوقعة للعلة $\hat{H}^{(1)}$ غير سالبة فان w_{12} يحقق النتيجة التالية :

$$|w_{12}|^2 \leq w_{11} w_{22}$$

الحل :

بما ان $E^{(1)}$ هي القيمة المتوقعة للعلة $\hat{H}^{(1)}$ في حالة كمية معينة فمعنى ذلك ان تلك القيمة يجب ان تكون موجبة . وأخذ القيمة الصغرى لها وهى :

$$E^{(1)} = \frac{1}{2} \left\{ w_{11} + w_{22} - \left[(w_{11} - w_{22})^2 + 4 |w_{12}|^2 \right]^{\frac{1}{2}} \right\}$$

$$\therefore w_{11} + w_{22} - \left[(w_{11} - w_{22})^2 + 4 |w_{12}|^2 \right]^{\frac{1}{2}} \geq 0$$

$$\therefore (w_{11} + w_{22})^2 \geq (w_{11} - w_{22})^2 + 4 |w_{12}|^2$$

$$\therefore w_{11}^2 + w_{22}^2 + 2 w_{11} w_{22} \geq w_{11}^2 + w_{22}^2 - 2 w_{11} w_{22} + 4 |w_{12}|^2$$

$$\therefore 4 |w_{11} w_{22}| \geq 4 |w_{12}|^2$$

$$\therefore |w_{12}|^2 \leq w_{11} w_{22}$$

ملحوظة (١) :

نتيجة مباشرة لهذه الحقيقة هو ان في هذه الحالة يكون :

$$0 \leq E^{(1)} \leq w_{11} + w_{22}$$

ملحوظة (٢) :

إذا كان \hat{T} عامل هيرميتية تتبادل مع $\hat{H}^{(1)}$ ، والدالتين $\psi_1(0)$ ، $\psi_2(0)$ هما دالتين ذاتيتين للعامل \hat{T} ، تتبيان لقيمتين ذاتيتين t_1 ، t_2 فان $W_{12} = 0$. والبرهان على ذلك يمكن تبينه كما يلي :

بما ان \hat{T} ، $\hat{H}^{(1)}$ تتبادلان إذا

$$[\hat{T}, \hat{H}^{(1)}] = 0$$

$$\therefore \hat{T}\hat{H}^{(1)} - \hat{H}^{(1)}\hat{T} = 0$$

$$\therefore \int \psi_1(0)^* (\hat{T}\hat{H}^{(1)} - \hat{H}^{(1)}\hat{T}) \psi_2(0) d\tau = 0$$

وبما ان \hat{T} هيرميتية ومراعاة أن :

$$\therefore \hat{T}^* \psi_1(0) = t_1 \psi_1(0)^* , \quad \hat{T} \psi_2(0) = t_2 \psi_2(0)^*$$

$$\therefore (t_1 - t_2) W_{12} = 0 \quad \therefore W_{12} = 0$$

لأن t_1 لا تساوي t_2

مثال (٢-٣) :

افرض متذبذب توافق بسيط كتلته m وظبطت القوة له k وان في الحالة الادي بطاقته

$$E_0(0) = \frac{1}{2} \hbar \omega_0 , \quad \omega_0 = \sqrt{\frac{k}{m}}$$

ولنفرض الآن ان حثذب ب توافق بسيط آخر أضعف بجوار الحذب ب التوافق البسيط
الاصلي المطلوب حساب قية الزيادة في طاقته للحالة الادنى من جراء ذلك .

الحل :

لحاولة حل هذه السألة بطريقة الاقلاق نستخدم معادلة :

$$E_n^{(1)} = \langle \hat{H}^{(1)} \rangle_n^{(0)}$$

مع ملاحظة ان $\hat{H}^{(1)}$ هنا تقابل طاقة الوضع للحذب ب التوافق البسيط الذي اضعف
أى ان : (مع فرض ان ثابت القوة له يماوى b) :

$$\hat{H}^{(1)} = \frac{1}{2} b x^2$$

وباستخدام دالة العوجة الخاصة بالحالة الارضية فان :

$$\begin{aligned} E^{(1)} &= \langle H^{(1)} \rangle_0^{(0)} \\ &= \frac{1}{2} \cdot \sqrt{\frac{m \omega_0}{\hbar}} \cdot b \cdot \int_{-\infty}^{\infty} x^2 e^{-\frac{m \omega_0 x^2}{\hbar}} dx \\ &= \frac{\hbar b}{4 m \omega_0} \end{aligned}$$

وعلى ذلك في حدود التقريب لى المرتبة الاولى يكون :

$$E_0 = E_0^{(0)} + E_0^{(1)}$$

$$\therefore E_0 = \frac{1}{2} \hbar \omega_0 + \frac{1}{4} \frac{\hbar b}{m \omega_0}$$

سؤال (٧ - ٤) :

ضع ان في مثال (٧ - ٣) يمكننا الوصول الى نفس النتيجة دون اللجوء الى
طريقة الاطلاق وذلك بإضافة الثابت b للمتذبذب الثاني الى ثابت التذبذب الاول k
اي بتغيير k الى $k + b$.

الحل :

حيث ان الثابت الجديد للتذبذب في هذه الحالة هو $k + b$ فان التردد

الزاوي له هو :

$$w = \sqrt{\frac{k+b}{m}}$$

وعلى فرض ان $|b|$ اقل من k

$$\therefore w = \left[\frac{k+b}{m} \right]^{\frac{1}{2}} = \sqrt{\frac{k}{m}} \cdot \left[1 + \frac{b}{k} \right]^{\frac{1}{2}} = \sqrt{\frac{k}{m}} \cdot \left[1 + \frac{b}{2k} - \frac{b^2}{8k^2} + \dots \right]$$

وحيث ان $w_0 = \sqrt{\frac{k}{m}}$ ، $k = m w_0^2$ اذا طالة الحالة الارضية
للمتذبذب تأخذ القيمة :

$$E_0 = \frac{1}{2} h w = \frac{1}{2} h w_0 \left[1 + \frac{b}{2 m w_0^2} - \frac{b^2}{8 m^2 w_0^4} + \dots \right]$$

ونلاحظ مباشرة ان الحدين الاولين هما في الحقيقة نفس النتيجة في الحل السابق اعلاه . ونود هنا ان نضيف مايلي :

ملحوظة (١) :

من الثالين السابقين يمكننا تبين ان الحدود المتتابة في نظرية الاطلاق نفس ميكانيكا الكم هي مفكوك التسلسلة الخاصة بالطاقة الفعلية بدلالة المعامل الصغير "b" مرفوعا لقوى متتابة .

ملحوظة (٢) :

اذا حدث ان كان b اكبر من k فان التسلسلة لا تنتهي (اي تتفرق) وذلك لأن |b| سالبة وان |b| اكبر من k فان طاقة الوضع تصبح سالبة وبالتالي فان القوة المحملة تكون قوة طرد وليست بقوة جذب وعليه لا يكون هناك حالة مترابطة على الإطلاق .

مثال (٧ - ٥) :

اذا كانت دالة الهاميلتونيان لتذبذب غير توافقي على الصورة الاتية :

$$\hat{H} = \frac{p^2}{2m} + \frac{1}{2} kx^2 + ax^4 \quad (1)$$

فأوجد مستوى الطاقة الأرض له باستخدام نظرية الاطلاق ذي الرتبة الاولى . علما بأن دالة الحالة للمستوى الأرضي للتذبذب التوافقي تكتب على الصورة

$$\psi_0(x) = \left(\frac{k}{\pi \hbar \omega}\right)^{1/4} \exp\left(-\frac{kx^2}{2\hbar \omega}\right)$$

الحل :

بمقارنة المعادلة (١) بمعادلة الهاملتونيات للتذبذب التوافقي التي تكب على

الصورة

$$H = \frac{p^2}{2m} + \frac{1}{2} kx^2 \quad (11)$$

يمكننا اختيار أن الحد (ax^4) يمثل الاقلاق H' وعليه فإن التصحيح للطاقة
ذى الرتبة الأولى تبعاً لنظرية الاقلاق هو

$$\begin{aligned} E_0' &= H'_{00} = (\psi_0, H' \psi_0) \\ &= \int_{-\infty}^{+\infty} \psi_0^* H' \psi_0 dx \\ &= \left(\frac{k}{\pi \hbar w}\right)^{1/2} \int_{-\infty}^{+\infty} ax^4 \exp\left(-\frac{kx^2}{\hbar w}\right) dx \\ &= \left(\frac{k}{\pi \hbar w}\right)^{1/2} \cdot \left(\frac{\pi \hbar w}{2k}\right) \cdot a \int_{-\infty}^{\infty} x^3 d\left[\exp\left(-\frac{kx^2}{\hbar w}\right)\right] \\ &= \left(\frac{k}{\pi \hbar w}\right)^{1/2} \cdot a \cdot \left(-\frac{\hbar w}{2k}\right) \left\{ \left[x^3 \cdot \exp\left(-\frac{kx^2}{\hbar w}\right) \right]_{-\infty}^{\infty} \right. \\ &\quad \left. - \int_{-\infty}^{\infty} 3x^2 \cdot \exp\left(-\frac{kx^2}{\hbar w}\right) dx \right\} \\ &= \frac{3}{2} \left(\frac{k}{\pi \hbar w}\right)^{1/2} \left(\frac{a \hbar w}{k}\right) \int_{-\infty}^{\infty} x \exp\left(-\frac{kx^2}{\hbar w}\right) x dx \end{aligned}$$

- 181 -

$$\begin{aligned}
 E'_0 &= \frac{3}{2} \left(\frac{k}{\pi \hbar \omega} \right)^{1/2} \left(\frac{a}{k} \right) \left(- \frac{\hbar \omega}{2k} \right) \int_{-\infty}^{\infty} x \, d \exp \left[\left(- \frac{kx^2}{\hbar \omega} \right) \right] \\
 &= 0 + \frac{3a}{4} \left(\frac{k}{\pi \hbar \omega} \right)^{1/2} \cdot \left(\frac{\hbar \omega}{k} \right) \int_{-\infty}^{\infty} \exp \left(- \frac{kx^2}{\hbar \omega} \right) dx \\
 &= \frac{3a}{4} \left(\frac{k}{\pi \hbar \omega} \right)^{1/2} \left(\frac{\hbar \omega}{k} \right)^2 \left(\frac{\hbar \omega}{k} \right)^{1/2} \left\{ \int_{-\infty}^{\infty} \exp \left(- \left(\sqrt{\frac{k}{\hbar \omega}} x \right) d \left(\sqrt{\frac{k}{\hbar \omega}} x \right) \right\} \\
 &= \frac{3a}{4} \left(\frac{k}{\pi \hbar \omega} \right)^{1/2} \left(\frac{\hbar \omega}{k} \right)^2 \left(\frac{\hbar \omega}{k} \right)^{1/2} \left\{ \sqrt{\pi} \right\}
 \end{aligned}$$

$$\therefore E'_0 = \frac{3a}{4} \left(\frac{\hbar \omega}{k} \right)^2$$

تذييل رقم (١)

قيم بعض الثوابت الفيزيائية :

1. سرعة الضوء $= c = 2.998 \times 10^8 \text{ m.s}^{-1}$
2. شحنة الإلكترون $= e = 1.602 \times 10^{-19} \text{ coulomb}$
3. ثابت بلانك $= h = 6.626 \times 10^{-34} \text{ J.s.}$
4. النسبة بين الشحنة للكتلة $= \frac{e}{m_e} = 1.759 \times 10^{11} \text{ coul./kg}$
للالكترون
5. الكتلة الساكنة للالكترون $= m_e = 9.109 \times 10^{-31} \text{ kg} = 0.511 \text{ Mev.}$
6. الطول الموجي الكوتزنى $= \frac{h}{m_e c} = 2.426 \times 10^{-12} \text{ m}$
للالكترون
7. الكتلة الساكنة للبروتون $= 1.673 \times 10^{-27} \text{ kg} = 938.3 \text{ Mev.}$
8. الطول الموجي الكوتزنى $= \frac{h}{m_p c} = 1.321 \times 10^{-15} \text{ m}$
للبروتون
9. الكتلة الساكنة للنيوترون $= m_n = 1.675 \times 10^{-27} \text{ kg} = 939.6 \text{ Mev.}$
10. ثابت بولتزمان $= k = 1.381 \times 10^{-23} \text{ J/}^\circ\text{K}$
11. ثابت ديراك $= \frac{h}{2m} = \hbar = 1.055 \times 10^{-34} \text{ J.s}$

12. عدد ابيجادور $= N_A = 6.023 \times 10^{23} \quad \text{mole}^{-1}$
13. الثابت الاول للاشعاع $= C_1 = 2 \pi h c^2 = 3.741 \times 10^{-16} \text{ W.m}^2$
14. الثابت الثاني للاشعاع $= C_2 = \frac{hc}{k} = 1.439 \times 10^{-2} \quad \text{m.}^\circ\text{K}$
15. ثابت ستيفان بولتزمان $= \sigma = 5.670 \times 10^{-8} \quad \text{W.m}^{-2}.^\circ\text{K}^{-4}$
16. ثابت ريذبيرج $= R_\infty = 1.097 \times 10^7 \quad \text{m}^{-1}$
17. ثابت التركيب الدقيق $= \alpha = \frac{1}{137}$
18. نصف قطر المدار الاول $= e_0 = 5.292 \times 10^{-11} \quad \text{m}$
في اطار نظرية بومر

تذييل رقم (٢)

لمحة عن بعض العلماء الذين شاركوا عن طريق جهودهم التي اتممت بالاسلوب العلمي الدقيق في صياغة علم ميكانيكا الكم ، وسوف نمرّد ذكر هؤلاء العلماء على التوالى تبعاً لترتيب الحرف الذى يبدأ به اسم كل عالم وليس تبعاً للتسلسل التاريخى كما هو موضح بالاياب الاول من الكتاب الحالى :

١ - ألبرت "اينشتين" (١٨٧٩ - ١٩٥٥) : Albert EINSTEIN

وُلد فى بلدة "ألم" بالمانيا ودرس فى معهد التكنولوجيا بزيوريخ بسويسرا وحصل على الدبلوم فى ١٩٠٠ وخلال الخمس سنوات التالية لذلك نشر ثلاث بحوث اساسية الاول منها تناول موضوع " الانبعاث الكهروضوئى " والثانى تناول موضوع " الحركة البراونية " اما الثالث فقد تناول موضوع جديد للغاية وهو " اساسيات النظرية النسبية الخاصة " والتي ارسى مفاهيم جديدة تماماً للفكر العلمى .

ثم عمل مديراً للمعهد الفيزيائى ببرلين .

وحصل على جائزة نوبل فى ١٩٢١ .

ثم هاجر فى ١٩٣٣ الى امريكا وعمل استاذاً للفيزياء بمعهد الدراسات المتقدمة

بجامعة برنستون .

ويعتبر اينشتين اعظم عالم فيزياء فى القرن الحالى وواحد من اكبر العلماء على

مر العصور .

٤ - لوي فيكتور " دي بروي " (١٨٩٢ - ١٩٧٦)

Louis Vector De BROGLIE

ولد ببلدة ديبينغرينسا وبدأ دراسته الجامعية باختيار علم التاريخ ثم فضل تكملة تلك الدراسة في مجال الفيزياء وحصل على درجة الدكتوراه من جامعة باريس في ١٩٢٤ ، حيث عين بعد ذلك استاذًا للفيزياء بجامعة باريس ومعهد السوربون .

وحصل على جائزة نوبل في ١٩٢٩ .

واهم اعماله خاصة بنظرية الموجات والتأثر بين الحركة الجسيمية المادية و!الحركة الموجية الصاحبة لكل مخلوق من المخلوقات . والمجرة فقط بقدرتنا على الكشف عن تلك الحركة الموجية .

٤ - بول موريس " ديراك " (١٩٠٢ - ١٩٨١) Paul Maurice DIRAC

ولد بيهيكتول بانجلترا وبدأ دراسته الجامعية بعلم الهندسة الكهربائية ثم اكمل تلك الدراسة في مجال الفيزياء النظرية ثم عين في ١٩٣٢ استاذًا للرياضيات بجامعة كامبردج بانجلترا (وهو نفس العام الذي تحقق فيه تجريبيًا ولأول مرة صحة النظرية النسبية للالكترون التي كان قد نشرها في ١٩٢٨) ، وبهذا فتح الباب امام المفهوم الشامل لمعنى الجسيمات الأولية المضادة بمعنى ان لكل جسيم هناك جسيم مضاد ، ان منذ اكتشاف الالكترون المضاد " البوزيترون " بواسطة العالم أندرسون باستخدام غرفة السطحة توالا اكتشافات الاخرى مثل الميزون ميون المضاد عكس ١٩٣٨ والبليون المضاد في ١٩٤٧ والبليون المتبادل المضاد في ١٩٥١ والبوتسون المضاد في ١٩٥٥ والنيترون المضاد في ١٩٦٣ وهكذا . ومعظم تلك الاكتشافات باستخدام الكاشفات البصرية مثل المستحلبات النووية وغرفة الفقاعة وغرفة الشرارة ولذلك لاتح مجال لاى شك في صحتها .

Enrico FERMI

٥ - اينريكو فيرمي " (١٩٠١ - ١٩٥٤)

ولد في روما بإيطاليا وحصل على الدكتوراه من جامعة بيزا في ١٩٢٦ وفي عام ١٩٣٠ عين استاذاً للفيزياء النظرية بجامعة روما . وقبل بداية الحرب العالمية الثانية هاجر الى امريكا ليشتغل وظيفة استاذ للفيزياء التجريبية بجامعة كولومبيا ثم جامعة شيكاغو .

وحصل على جائزة نوبل في ١٩٣٨ .

ويتميز فيرمي بأن أبحاثه اهتمت بالشمولية في علم الفيزياء مع العمق الفيزيائي في كل من مجال الفيزياء الاحصائية هناك الميكانيكا الاحصائية المعروفة باسمه (مشاركة مع ديراك الذي توصل اليها بمفرده كذلك) ، وفي مجال الفيزياء النووية قائد الفريق الأمريكي الذي نتج في تصنيع اول قنبلة ذرية ، وفي مجال فيزياء الجسيمات الاولوية كان اول من أجرى التجارب الخاصة بالتفاعلات النووية للميزونات البيونية واول من أشار الى وجود ما يسمى الانزيمات الأولية الرنينية .

٦ - فرنر كارل هايزنبرج " (١٩٠١ - ١٩٧٦)

Werner Karl HEISENBERG

ولد ببلدة فارنبرج بألمانيا وحصل على الدكتوراه من جامعة ميونيخ تحت اشراف العالم معروف ثم اشتغل مع العالم ماكس بورن ثم مع العالم بوهر بمعهد ، بكونينهاجن . وعين استاذاً للفيزياء بجامعة برلين ثم رئيساً لمعهد ماكس بلانك ببرلين وجوتنجن .

وحصل على جائزة نوبل في ١٩٣٢ .

واهم اعماله هو صياغة ميكانيكا الكم بطريقة المصفوفات وصياغة معادلة الحركة في ميكانيكا الكم التي تكافئ معادلة نيوتن في الميكانيكا الكلاسيكية وكذلك اكتشافه لمبدأ اللاتحديد واندى الى اكتشافات تجريبية عديدة من أهمها عدم امكانية تواجد

الالكترون داخل نواة الذرة كأحد المكونات الدائمة لها • الى ان تم بالفعل اكتشاف النيوترون وترسيخ المفهوم الصحيح للتركيب النووي في اطار قاعدة الحركة المغزلية النظرية والتي اوضحت الطريق الى اكتشاف العديد من الجسيمات الأولية والجسيمات الرزينة •

٧ - روبرت اندرو " ميلليكان " (١٨٦٨ - ١٩٥٣) :

Robert Andrew MILLIKAN

ولد بميريسون بولاية الينوى بامريكا واصبح استاذاً للفيزياء التجريبية بجامعة شيكاغو ، ولقد كان مثلاً في الصبر والاخلاص في اداء البحث العلمي ان كانت بعض التجارب تتطلب منه المكوث الى جهازه واستكمال القياسات التجريبية لمدة عشرين ساعة متواصلة حتى انتهت تلك المجهودات باكتشافه لشحنة الالكترون كوحدة للشحنات الكهربائية غير قابلة للتجزئ ولان اوضحت التجارب الخاصة بجسيمات الكوارك صحة هذا المفهوم •

وحصل على جائزة نوبل في ١٩٢٣ •

٨ - فولفجانج " باولسى " (١٩٠٠ - ١٩٥٨) :

Wolfgang PAULI

ولد في فيينا بالنمسا وحصل على الدكتوراه في ١٩٢١ ثم عمل بعض الوقت مع العالم بوهريكوتهنباخ ثم عين استاذاً للفيزياء النظرية بجامعة زيوريخ بسويسرا •

وحصل على جائزة نوبل في ١٩٤٥ •

ويُعد باولي من ابرز علماء الفيزياء النظرية في القرن العشرين فهو اول من استخدم جبر الصغوفات لشرح الحركة المغزلية للالكترون وبهذا توصل الى تفسير العديد من الظواهر الخاصة بالاطياف الذرية والنوية المرتبطة بالتفاعلات الكهرومغناطيسية •

كذلك فانه توصل الى اكتشاف مبدأ الاستبعاد المعروف باسمه والذي يُعتبر اساس
لتفهم العديد من الظواهر العزيمية بالتركيب الذري والتركيب النووي للمادة والسلوك
الاحصائي للجسيمات الأولية ، ومن أهمها الترتيب الدورى للعناصر تبعاً لاطصار
مندليف .

١ - ماكس كارل " بلانك " (١٨٥٨ - ١٩٤٧) Max Karl PLANCK

ولد ببلدة كيل بألمانيا ودرس في جامعتي ميونيخ وبرلين وحصل على الدكتوراه
في ١٨٧٩ وعين استاذاً للفيزياء النظرية بجامعة برلين في ١٨٩٩ وهو نفس العام
الذى وفق فيه لوضع التفسير الصحيح للطيف الاشعاعى الكمومى فتطابقى المنحوت من
الاجسام ثامة السواد والذي عجز العديد من العلماء البارزين (امثال جينز وراسل
وفين) من تسميه . وقد بنى هذا التفسير على اساس التقدم بفكرة الكم الاشعاعى
وهي الفكرة التى تعتبر اللبنة الاولى فى البناء التكاملى لميكانيكا الكم ويحتسب بلانك
استاذاً لجميع من تولوا صياغة هذه النظرية كما تعلمها الان مثل هايزنبرج وشرودنجر
وورن وغيرهم .

وحصل بلانك على جائزة نوبل في ١٩١٩ .

رواصل مشاركته فى التقدم العلمى لهذه النظرية .

١٠ - سيسيل فرانك " بساول " (١٩٠١ - ١٩٦٩) Cecil Frank POWELL

ولد ببريستول بإنجلترا حيث اكل دراسته لدرجة الدكتوراه في ١٩٢٧ ثم تدرج
فى وظائف الجامعة نفسها حتى اصبح استاذاً للفيزياء التجريبية في ١٩٤١ .

وحصل على جائزة نوبل في ١٩٥٠ .

ولقد وُفق بأول في تطوير وتجهيز ما يعرف بالمستحلب الفوتوغرافي النوى والذي اوضح بما لا يدع للشك العلاقة الصحيحة بين الميونات والبيونات وان الاخيرة هي كمات المجال النوى وبذلك تم تفسير القوى النووية على اساس صحيح بعد حوالي خمسة عشر عاما من التصارب بين التفكير النظري والملاحظة التجريبية ، كما وفق بأول فسي التعرف على توزيع العناصر المختلفة سواء الخفيفة منها والثقيلة في الاشعاعات الكونية الاولى ما اوضح الطريق لفهم العديد من ظواهر تلك الاشعاعات وخصوصا التفاعلات النووية والكهرومغناطيسية لها انما مرورها في الغلاف الجوى .

وجميع تلك المشاهدات عتق مفهوم الكم الاشعاعي والحركة الموجية للجسيمات الاولى .

١١- ارنست " رذرفورد " (١٨٧١ - ١٩٣٧) Ernest RUTHERFORD

ولد في بلدة نلسون بنيوزيلندا ودرس بها ثم رحل الى كندا حيث عمل استاذنا للفيزياء التجريبية بجامعة ماكجيل بمونتريال . ثم عين استاذنا بجامعة مانشستر بإنجلترا في ١٩٠٧ وبعد ذلك شغل نفس المنصب الذي كان يشغله العالم " طومسون " مكتشف الالكترون بجامعة كامبردج .

وحصل على جائزة نوبل في ١٩٠٨ " في علم الكيمياء " .

وتتميز ابحاث رذرفورد التجريبية في مجال الفيزياء النووية والكيمياء الاشعاعية بمهارة فريدة وقدرة فائقة على تحليل المشاهدات التجريبية التي يقابلها . وهو الذي اوضح الطريق وأرسى الاساس للتركيب الذري والنوى الذي طوره بوهر ونقية تلاميذ رذرفورد وجند الباحثين الذين اهتموا بتطوير مفهوم الكم الذي قدمه بدلت حتى أخذت نظرية الكم الاطار الشامل لها .

١٢- ارفين "شرودينجر" (١٨٨٧ - ١٩٦١) : Erwin Schrodinger

ولد بغيتا بالنمسا وحصل على الدكتوراه من جامعتها في ١٩١٠ ثم شغل وظيفة استاذ الفيزياء بجامعة زيوريخ بسويسرا وعمل خمس سنوات بعد ذلك بجامعة برلين قبل هجرته الى ايرلندا في ١٩٣٣ ليحل استاذاً في معهد البحوث المتقدمة بدبلن .
وحصل على جائزة نوبل في ١٩٣٣ .

وتعد بحوث شرودينجر الخاصة بالاداء الرياضي لنظرية ميكانيكا الكم هي المنهج الذي تبدأ عنه جميع الابحاث الخاصة بهذه النظرية للآن " وينتشر لشرودينجر على سر ! انه " نيوتن العصر الحديث " .

١٣- ارنولد سمرفلد " (١٨٦٨ - ١٩٥١) Arnold Sommerfeld

ولد بكوننجرج بالمانيا وشغل لعدة سنوات وظيفة استاذ للفيزياء بجامعة ميونخ .

ولقد شارك بابحاثه في تقدم اسم ميكانيكا الكم وخصوصا فيما يتعلق بالتركيب الذري للمادة وادخال تطبيقات النظرية النسبية الخاصة في هذا الشأن مما ادى الى الهدى في استخدام مفهوم ثابت التركيب الدقيق في الفيزياء والذي يظهر في جميع المعالجات الرياضية للتفاعلات الكهرومغناطيسية بين الجسيمات الأولية والمادة .

١٤- جوزيف جون "طومسون" (١٨٥٦ - ١٩٤٠) Joseph John Thomson

ولد في مانشستر بانجلترا ودرس بها ثم عين استاذاً للفيزياء التجريبية بجامعة كامبردج والمعهد الملكي بلندن . وهو اول من قام بتعيين النية بين الشحنة والكتلة الالكترون وتعرف على الالكترون كأحد الجسيمات الأولية الداخلة في بناء جميع

نظريات المواد المختلة • كما انه اكتشف نتائج المنصر " النيون " •

وحصل على جائزة نوبل في ١٩٠٦ •

Hideki YUKAWA

١٥- هيديكو يوكاوا (١٩٠٧ - ١٩٨٠)

ولد ببلدة كيوتو باليابان حيث حصل على الدكتوراه من جامعتها في ١٩٢٩ •

وحصل على جائزة نوبل في ١٩٤٩ •

وهو اول من فكر في تفسير التفاعلات بين الجسيمات النووية عن طريق تبادل جسيمات
الميزونات وذلك في ١٩٣٥ (ولكن لم تتفق نظريته مع المشاهدات التجريبية الا نسي
١٩٤٧ بعد اكتشاف الميزونات البيونية التي تتميز بتفاعلاتها القوية مع الجسيمات
النووية) وهذا التفكير هو امتداد لنمط التفاعلات الكهرومغناطيسية بين الجسيمات
ذات الشحنة الكهربائية عن طريق تبادل كم المجال الكهرومغناطيسي " الفوتون " •

تذييل رقم (٣)

قائمة بأسماء بعض الكتب المرتبطة بموضوع "ميكانيكا الكم" الجزء الأول

	Author	Title	Publisher	Year
1	Andrade, E.,	"An Approach to Modern Physics"	Doubleday	1957
2	Bates, D.,	"Quantum Theory I"	Academic Press	1961
3	Baym, G.,	"Lectures on Quantum Mechanics"	Benjamin	1969
4	Bellman, R.,	"Perturbation Techni- ques in Mathematics, Physics and Enginee- ring"	Dover	1966
5	Bethe, H., Salpeter, E.,	"Quantum Mechanics for one-and two-electron Atoms"	Academic Press	1957
6	Blass, G.,	"Theoretical Physics"	Appleton	1962
7	Bohm, D.,	"Quantum Mechanics"	Prentice-Hall	1951
8	Born, M.,	"Atomic Physics"	Blackie	1962
9	Courant, R., & Hilbert, D.,	"Methods of Mathema- tical Physics"	Interscience	1953

	Author	Title	Publisher	Year
10	de Broglie, L.	"The Revolution in Physics"	Noonday	1953
11	Dirac, P.,	"Quantum Mechanics"	Oxford	1958
12	Dwight, H.,	"Tables of Integrals and other Mathemati- cal Data"	Macmillan	1961
13	Edmonds, A.,	"Angular Momentum in Quantum Mechanics"	Princeton	1957
14	Feynman, R., Leighton, R., Sands, M.,	"The Feynmann Lectures on Physics" IV	McGraw-Hill	1965
15	Flügge, S., (ed.)	"Practical Quantum Mechanics" 1,2,	Springer-Verlag	1971
16	Fredrick, U.,	"Theory of Linear Operators in Hilbert Space"	McGraw-Hill	1961
17	French, A.,	"Principles of Modern Physics"	Wiley	1958
18	Friedman, B.,	"Principles and Techniques of Applied Mathematics"	Wiley	1956

	Author	Title	Publisher	Year
19	Goldman, I., Krivchenkov, V.,	"Problems in Quantum Mechanics".	Pergamon	1961
20	Goldstein, H.,	"Classical Mechanics"	Addison-Wesley	1956
21	Grechko et al.,	"Problems in Theore- tical Physics"	Mir	1977
22	Hamaka, H.,	"Advanced Quantum Chemistry"	Addison-Wesley	1965
23	Hartree, D.,	"The Calculation of Atomic Structure"	Wiley	1957
24	Hoffman, R.,	"The Strange Story of the Photon"	Dover	1959
25	Jammer, G.,	"The Conceptual Deve- lopment of Quantum Mechanics"	McGraw-Hill	1966
26	Kittel, C.,	"Introduction to Solid State Physics"	Wiley	1971
27	Kogan, V.,	"Problems in Quantum Mechanics"	Prentice-Hall	1963
28	Kraywicki, A.,	"Mathematics for Physicists"	Harper & Row	1967
29	Kuhn, H.	"Atomic Spectra"	Academic-Press	1969

	Author	Title	Publisher	Year
30	Loudon, R.,	"The Quantum Theory of Light"	Oxford	1973
31	Margenau, H. and Murphy, G.,	"Mathematics of Phys- ics and Chemistry"	Van Nostrand	1956
32	Menzel, D.,	"Mathematical Physics"	Dover	1961
33	Messiah, A.,	"Quantum Mechanics"	North-Holland	1970
34	Morse, P., and Feshbach, H.,	"Methods of Theoreti- cal Physics"	McGraw-Hill	1966
35	Mott, N., and Massey, H.,	"The theory of Atomic Collisions"	Oxford	1965
36	Mott, N., and Sneddon, I.,	"Wave Mechanics and its Applications"	Oxford	1948
37	Park, D.,	"Introduction to Quantum Mechanics"	McGraw-Hill	1974
38	Perkins, D.,	"High Energy Physics"	Addison-Wesley	1967
39	Ramsey, N.,	"Molecular Beams"	Oxford	1963
40	Richtmyer, F., Kennard, E., and Cooper, J.,	"Introduction to Modern Physics"	McGraw-Hill	1969
41	Rose, M.,	"Elementary Theory of Angular Momentum"	Wiley	1957

Author	Title	Publisher	Year
42 Rossi, B.,	"Optics"	Addison-Wesley	1957
43 Saxon, D.,	"Elementary Quantum Mechanics"	Holden Day	1964
44 Schiff, L.,	"Quantum Mechanics"	McGraw-Hill	1968
45 Slater, J.,	"Quantum Theory of Atomic Structure", 1, 2	McGraw-Hill	1960
46 Taylor, P.,	"A Quantum Approach to the Solid State"	Prentice-Hill	1970
47 Tomonaga, S.,	"Quantum Mechanics"	North-Holland	1962
48 Wichmann, E.,	"Quantum Physics" Vol. 5 Berkeley Physics.	McGraw-Hill	1967

دار الحكيم للطباعة
٤٦ شارع النصارى - مدينة المنزه
خلفه كوبرى عبود - شبرا الخياط

رقم الايداع بدار الكتب ٥٢٠٢ / ١٩٨٩



دكتور محمد عبد الهادي كامل العدوى

- * ولد بمدينة العياط بالجيزة فى عام ١٩٣٩
- * حصل على بكالوريوس علوم وتربية من كلية المعلمين بالقاهرة عام ١٩٦٠
- * حصل على دبلوم خاص فى التربية وعلم النفس من كلية التربية جامعة عين شمس بالقاهرة عام ١٩٦٤ .
- * حصل على بكالوريوس علوم الدرجة الخاصة فى الفيزياء من كلية العلوم جامعة القاهرة ١٩٦٨ بتقدير ممتاز مع مرتبة الشرف الأولى .
- * التحق بدراسات الماجستير بجامعة القاهرة ثم لم يلبث بعد عام أن أوقدته جامعة عين شمس إلى موسكو حيث حصل على درجة الكانديدايت بامتياز عام ١٩٧٣ من تلك الجامعة بروسيا .
- * تدرج فى السلك الجامعى بجامعة عين شمس الى الدرجة الحالية كأستاذ للفيزياء النظرية .
- * من أهم مؤلفاته كتاب «كوكب ١٩٦٤ وكتاب «الفيزياء الم
- آخرين عام ١٩٧٩ ، وكتاب
- النسبية الخاصة» عام ١٩٨٠
- الزميل الحالى .



دكتور عبد الرحمن فكرى

- * ولد بالأسرة فى عام ١٩٣٢ .
- * حصل على بكالوريوس علوم - الدرجة الخاصة فى الفيزياء - بتقدير ممتاز مع مرتبة الشرف الأولى عام ١٩٥٣ من كلية العلوم جامعة عين شمس .
- * ابتعث عام ١٩٥٦ الى جامعة بريستول «انجلترا» وحصل على الدكتوراه فى فيزياء الطاقة العالية عام ١٩٥٩ .
- * شغل وظيفة مدرس الفيزياء بكلية الهندسة جامعة عين شمس ١٩٥٩ ثم عين أستاذاً مساعداً فى نفس الكلية عام ١٩٦٦ ثم عين أستاذاً بنفس الكلية عام ١٩٧٦ .
- * أعير للعمل بكلية العلوم «جامعة الكويت» وكذلك إلى «جامعة أم القرى» بمكة المكرمة .
- * شارك فى أبحاث علمية مع جامعات لندن وبركلى والمركز الاوروبى للبحوث النووية .
- * له مؤلفات عدة فى فروع الفيزياء المختلفة أهمها كتب فى :
- فيزياء الموجات والذبذبات
- الفيزياء الذرية
- الفيزياء النووية
- الديناميكا الحرارية

